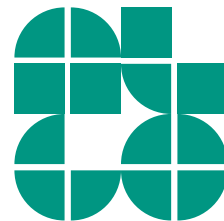


# Vorlesung Algorithmische Kartografie

## Flächenkartogramme

LEHRSTUHL FÜR ALGORITHMIK I · INSTITUT FÜR THEORETISCHE INFORMATIK · FAKULTÄT FÜR INFORMATIK

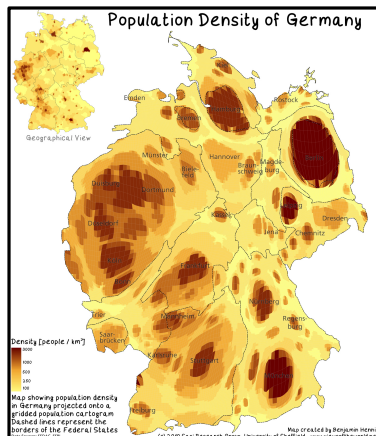
Martin Nöllenburg  
02.07.2013



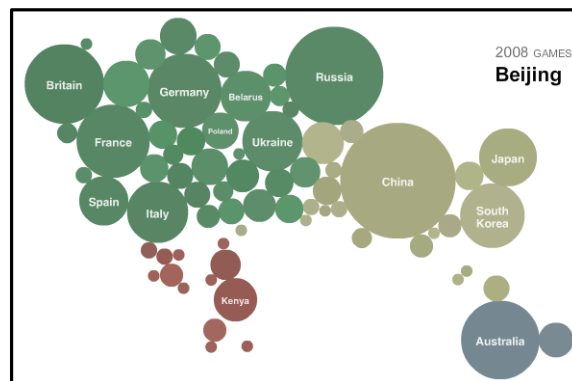
# Flächenkartogramme

**Def.:** Ein **Flächenkartogramm** (dt. *Kartenanamorphote*) ist eine Kartendarstellung, in der jede Flächeneinheit proportional zu einer externen Größe und nicht mehr zur tatsächlichen Fläche ist (z.B. Bevölkerungszahl).

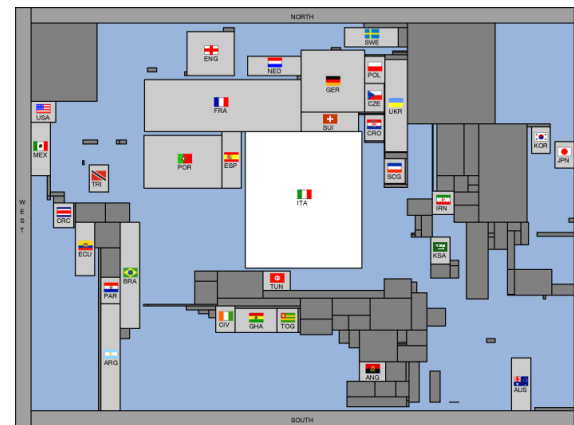
→ Form, Lage und Nachbarschaften der Regionen werden verzerrt



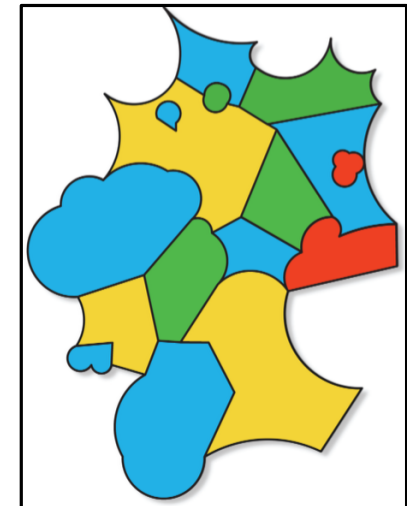
© Benjamin Hennig



© New York Times



© Bettina Speckmann












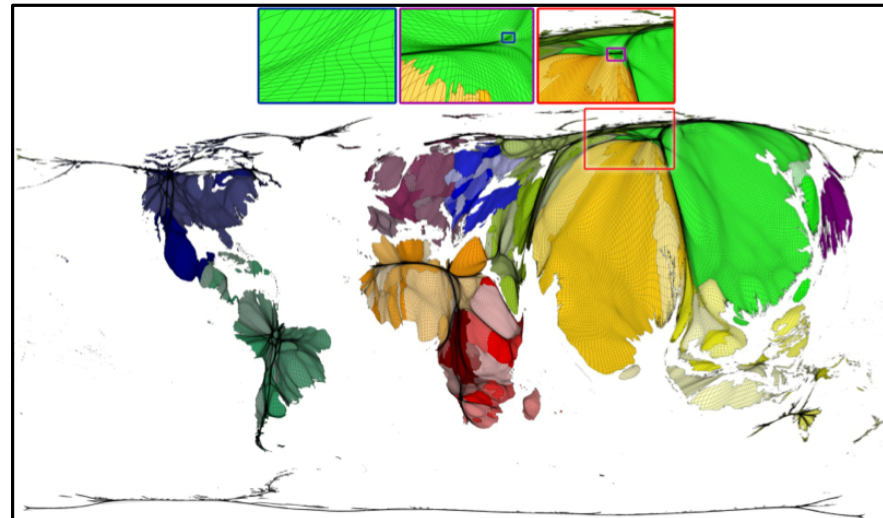
## Qualitätskriterien:

- Wiedererkennbarkeit der Form
- Flächenvergleichbarkeit
- Lage der Regionen










- korrekte Adjazenzen
- kleiner Flächenfehler
- geringe Komplexität
- Ablesen der Fläche

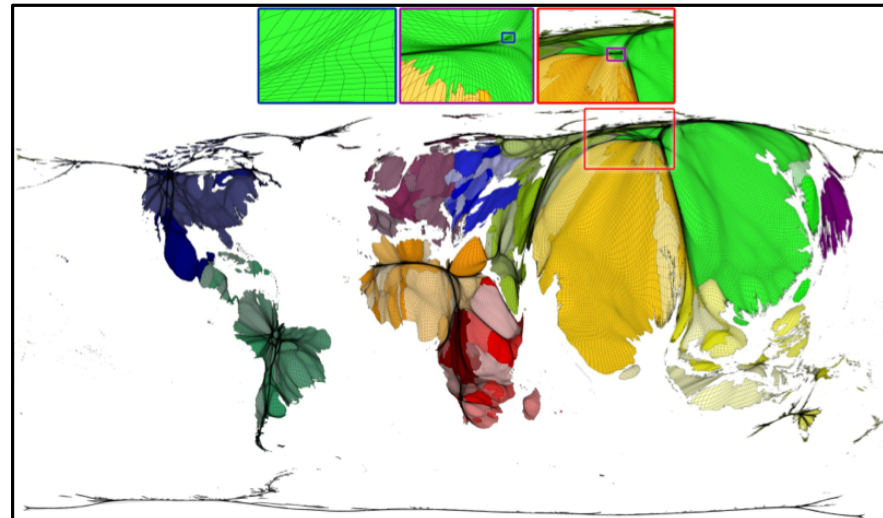
## Diskussion:

- Wiedererkennbarkeit der Form 
- Flächenvergleichbarkeit 
- Lage der Regionen  
- korrekte Adjazenzen 
- kleiner Flächenfehler  
- geringe Komplexität 
- Ablesen der Fläche 













## Diskussion:

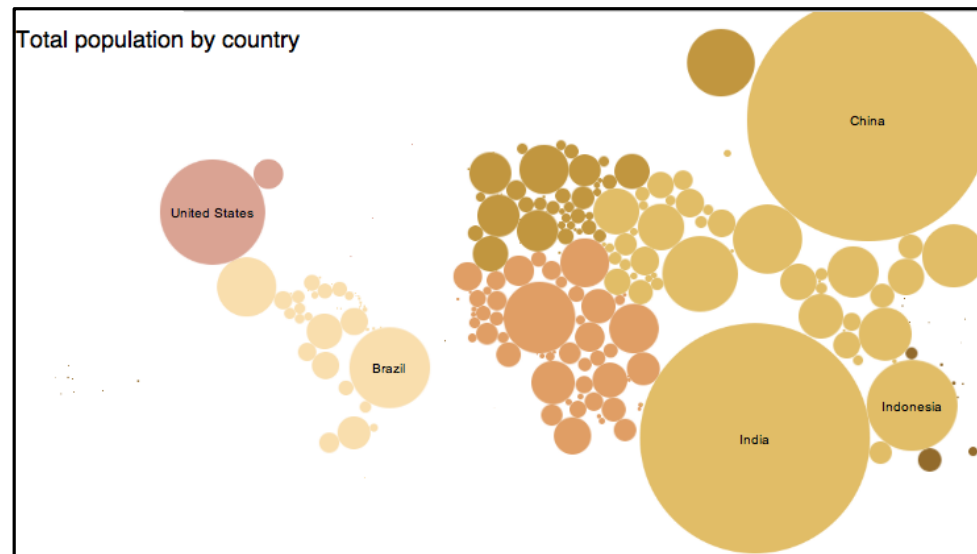
- Wiedererkennbarkeit der Form 
- Flächenvergleichbarkeit 
- Lage der Regionen  
- korrekte Adjazenzen 
- kleiner Flächenfehler  
- geringe Komplexität 
- Ablesen der Fläche 



Film!

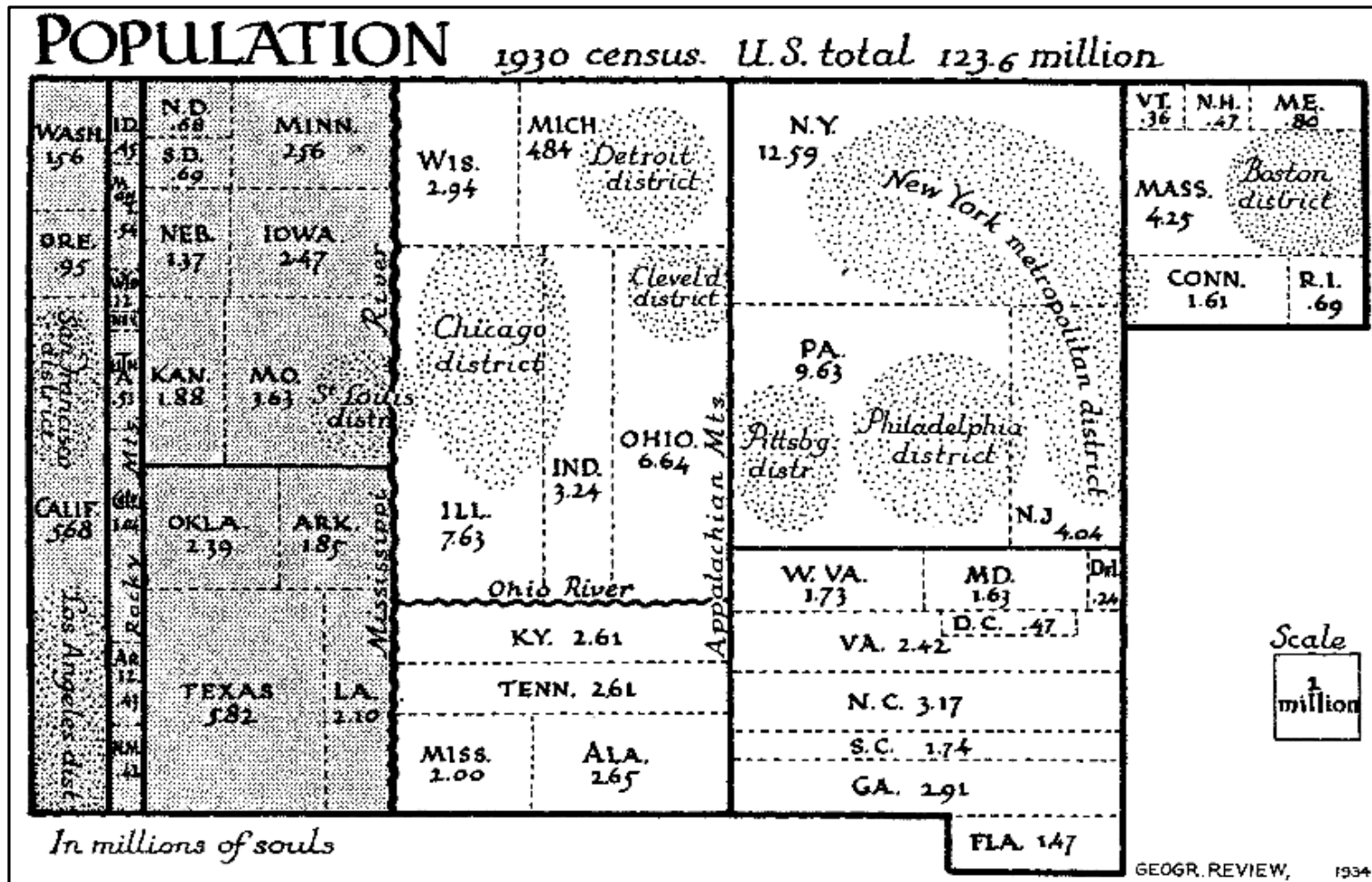
## Diskussion:

- Wiedererkennbarkeit der Form 
- Flächenvergleichbarkeit 
- Lage der Regionen  
- korrekte Adjazenzen  
- kleiner Flächenfehler 
- geringe Komplexität 
- Ablesen der Fläche  



# Rechteckskartogramme

- jede Region als Rechteck repräsentiert
- gegebene Zielflächen
- trade-off korrekte Flächen/korrekte Adjazenzen



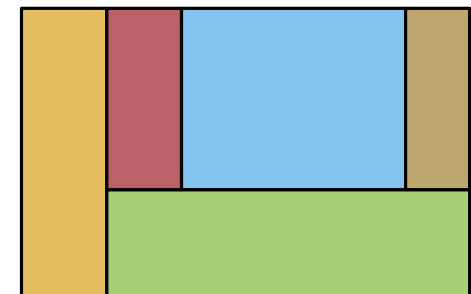
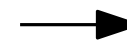
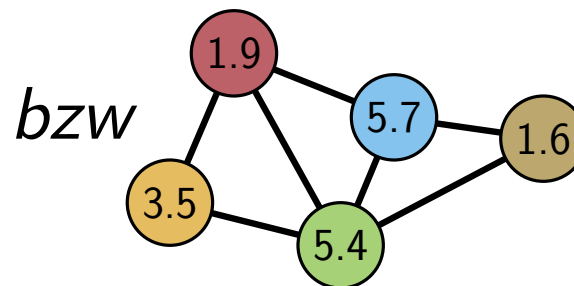
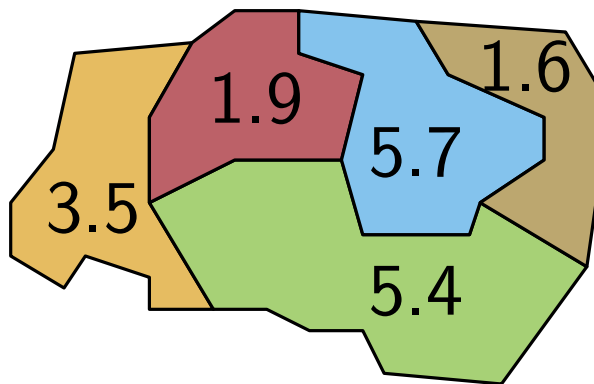
# Problemstellung

**Geg:** politische Karte  $M$  (Rechtecksunterteilung), positives Gewicht  $w_i$  für jede Region  $R_i$

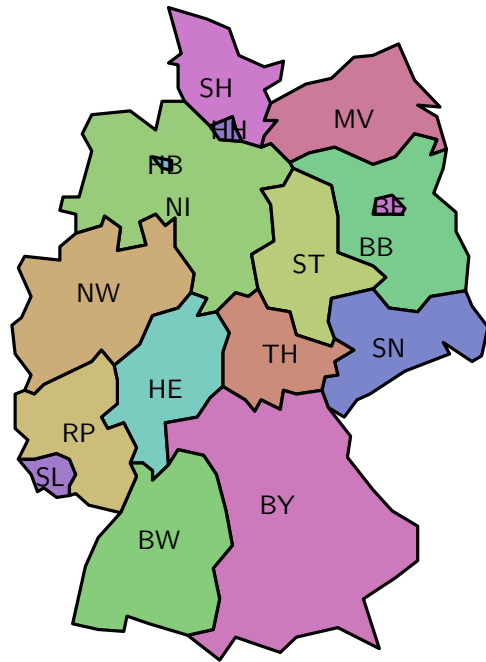
*bzw:* knotengewichteter intern triangulierter planar eingeb. Graph  $G$  dual zu  $M$ , Knoten  $v_i$  entspricht Region  $R_i$ , Kanten zw. adjazenten Regionen, Knotengewichte  $w_i$

**Ges:** verzerrte Karte  $M'$  äquivalent zu  $M$  mit  $|R_i| = w_i$

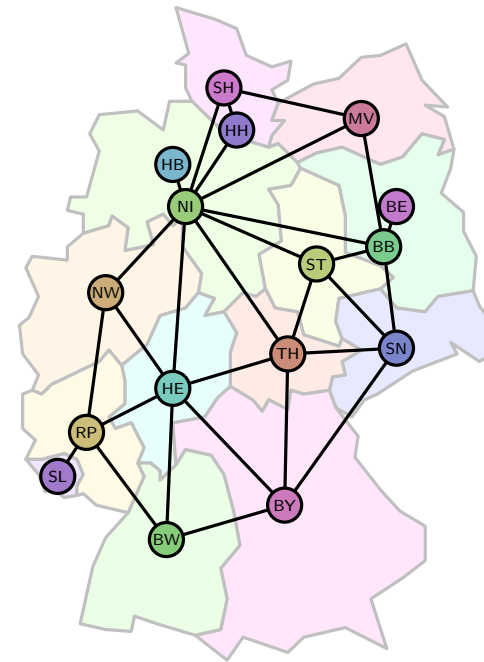
*bzw:* flächenproportionale Kontaktrepräsentation von  $G$ , jeder Knoten  $v_i$  als geometrisches Objekt  $s_i$  mit Fläche  $w_i$ , so dass  $s_i$  und  $s_j$  sich berühren gdw.  $v_i v_j \in E$



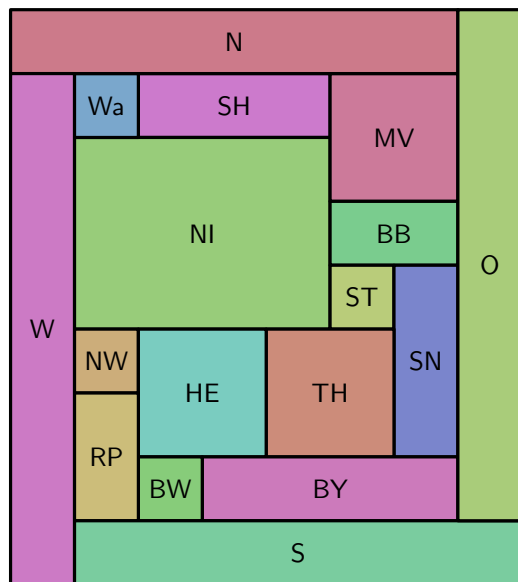
# Überblick des Verfahrens [van Kreveld, Speckmann '07]



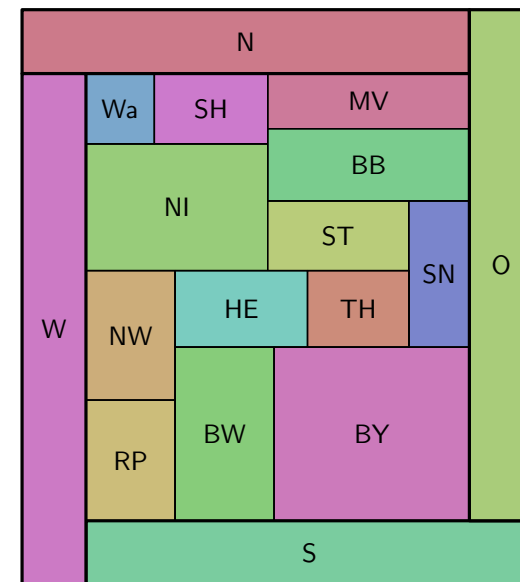
Eingabekarte



Dualgraph



Rechtecksdual

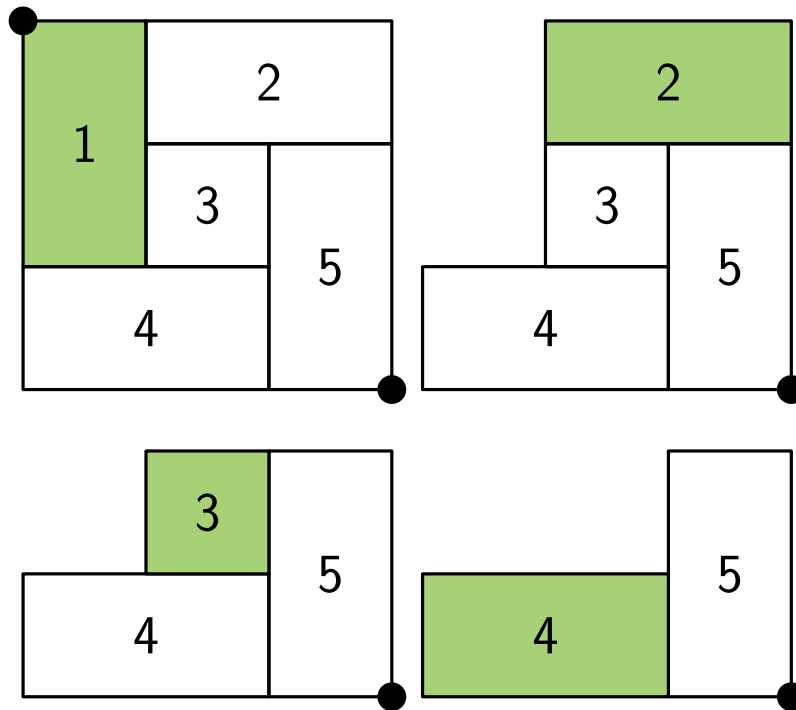


Kartogramm



# L-zerlegbare Layouts

Ein irreduzibles Rechtecklayout  $\mathcal{R}$  heißt **L-zerlegbar**, falls es eine Folge  $(R_1, R_2, \dots, R_n)$  der Rechtecke von  $\mathcal{R}$  gibt, so dass  $R_1$  und  $R_n$  in gegenüberliegenden Ecken von  $\mathcal{R}$  liegen und jedes Polygon  $\cup_{j=i}^n R_j$  L-förmig ist.



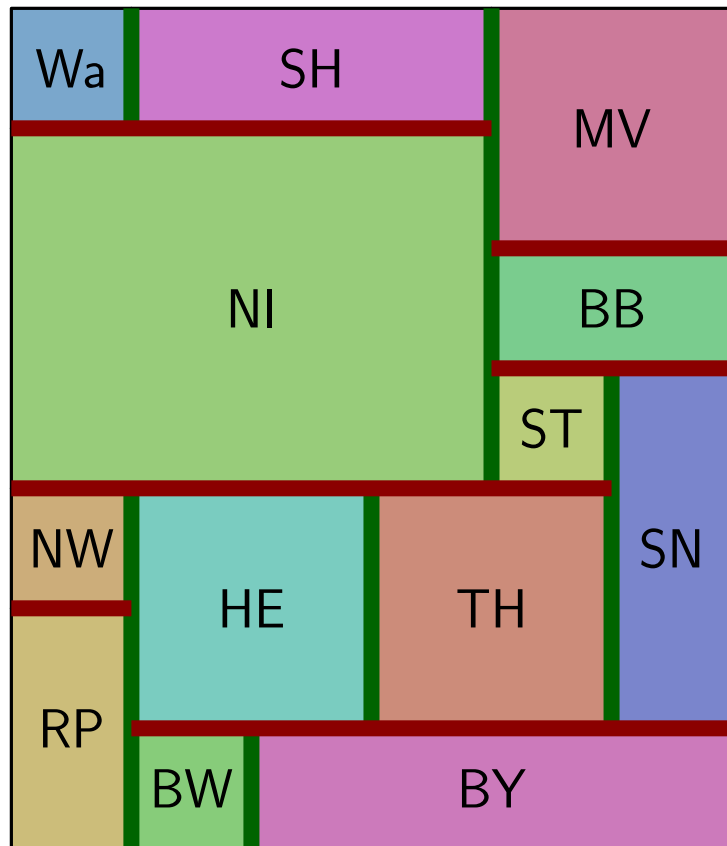
L-Zerlegungssequenz

## Satz:

Ein L-zerlegbares Layout hat entweder genau eine oder keine Lösung als Kartogramm ohne Flächenfehler und mit korrekten Adjazenzen.

# Heuristik für Rechteckskartogramme

Nicht jedes Rechtecksdual ist L-zerlegbar, nicht jede Flächenzuweisung für L-zerlegbare Layouts hat eine Lösung.



## SegmentMoving

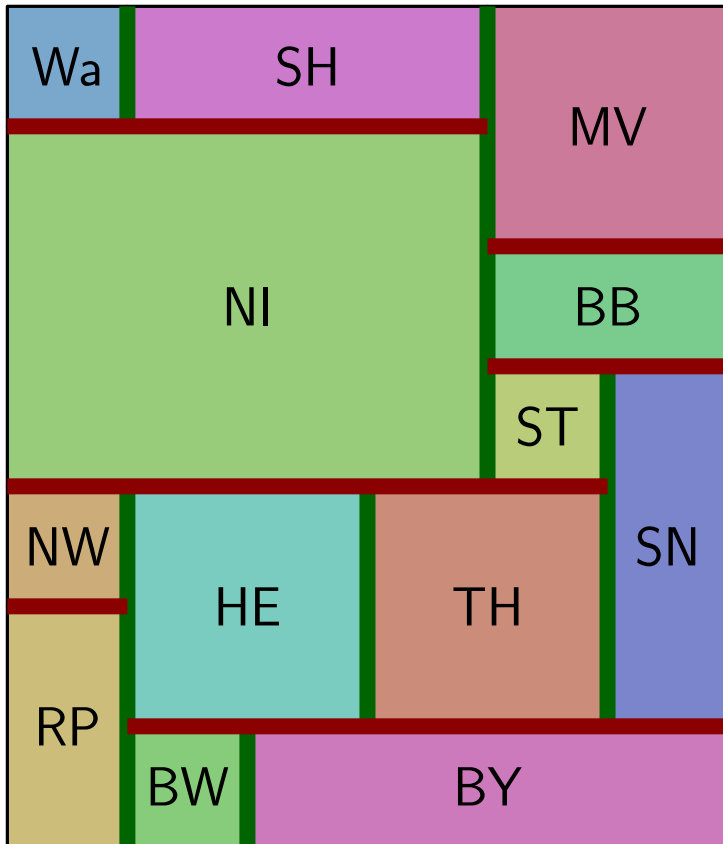
**while** lokale Verbesserung möglich **do**

$s \leftarrow$  bel. maximales Segment  
bewege  $s$  in bessere Richtung  
ggf. berücksichtige Adjazenzen  
ggf. berücksichtige aspect ratio

- liefert immer ein Layout
- findet lokale Optima
- Wasser benötigt keine Zielfläche
- keinerlei Garantie oder Konvergenz bewiesen

# Heuristik für Rechteckskartogramme

Nicht jedes Rechtecksdual ist L-zerlegbar, nicht jede Flächenzuweisung für L-zerlegbare Layouts hat eine Lösung.



Demo!

## SegmentMoving

**while** lokale Verbesserung möglich **do**

$s \leftarrow$  bel. maximales Segment  
bewege  $s$  in bessere Richtung  
ggf. berücksichtige Adjazenzen  
ggf. berücksichtige aspect ratio

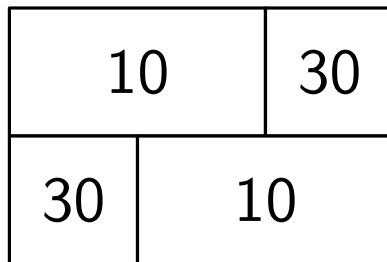
- liefert immer ein Layout
- findet lokale Optima
- Wasser benötigt keine Zielfläche
- keinerlei Garantie oder Konvergenz bewiesen

# Am Rande: Flächenuniverselle Layouts

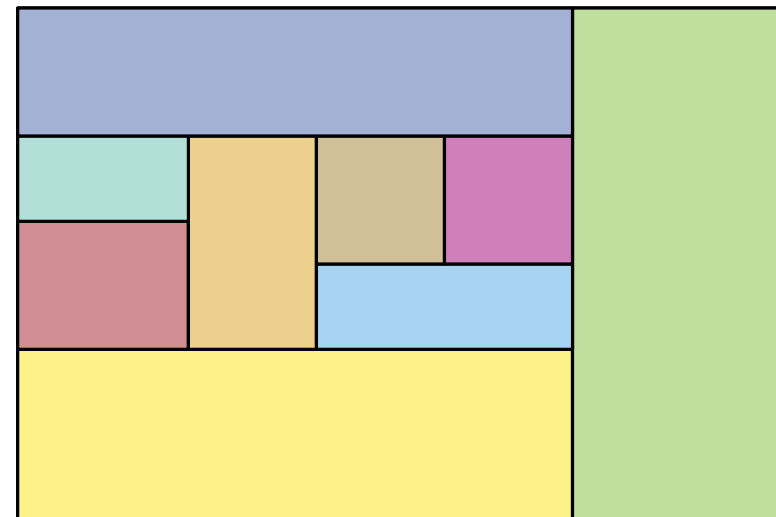
Einseitige Rechtecklayouts sind **flächenuniversell** (und umgekehrt), d.h. sie lassen sich für jede beliebige Flächenzuweisung realisieren.

[Eppstein et al. '12]

Ein Layout heißt **einseitig**, falls jedes maximale Segment auf einer Seite nur an ein einziges Rechteck angrenzt.



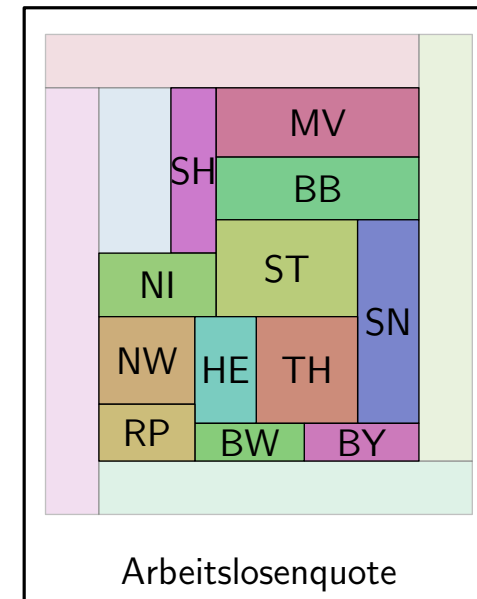
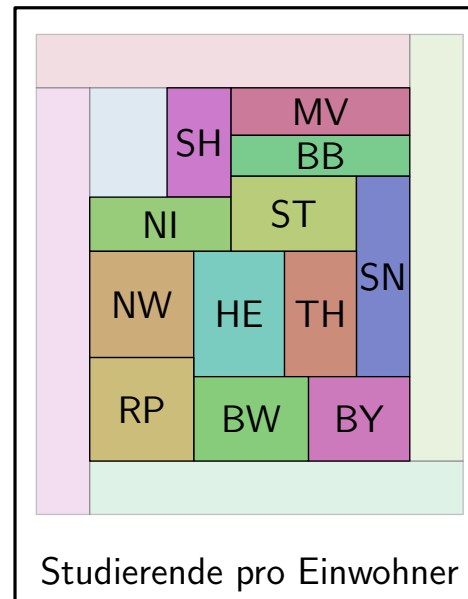
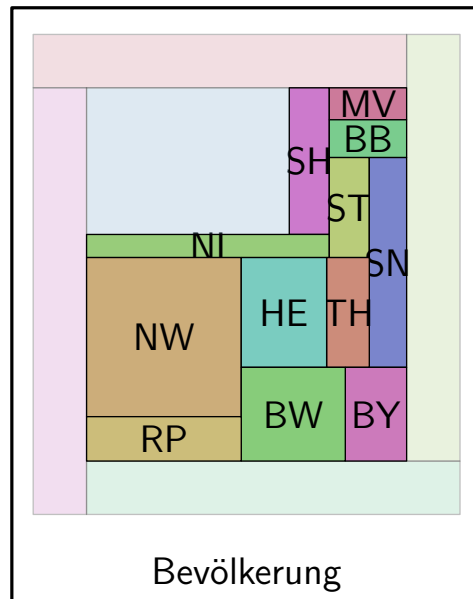
nicht einseitig













einseitig

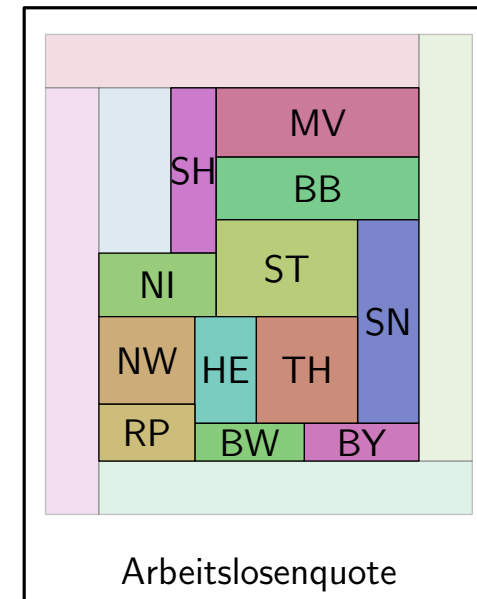
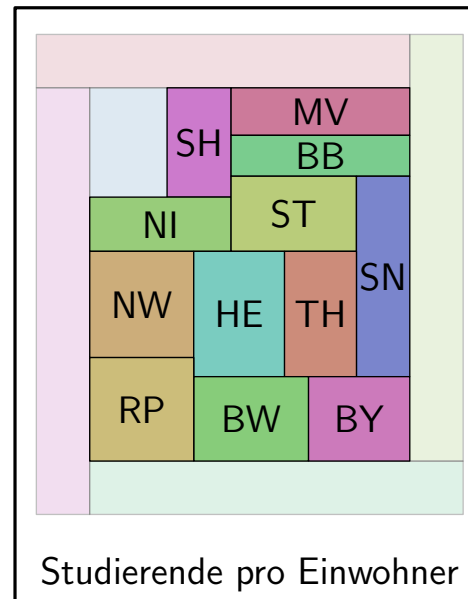
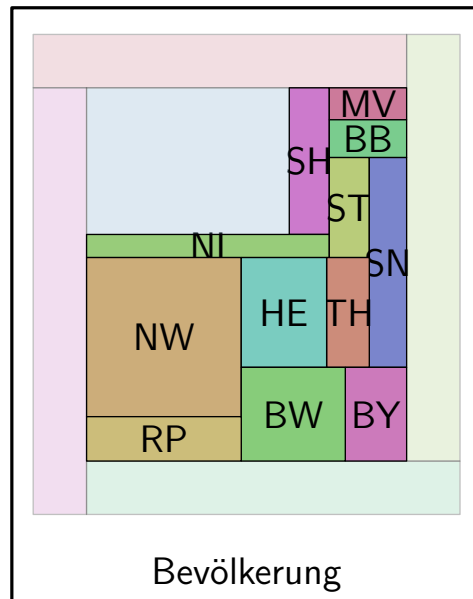
## Diskussion:

- Wiedererkennbarkeit der Form
- Flächenvergleichbarkeit
- Lage der Regionen
- korrekte Adjazenzen
- kleiner Flächenfehler
- geringe Komplexität
- Ablesen der Fläche



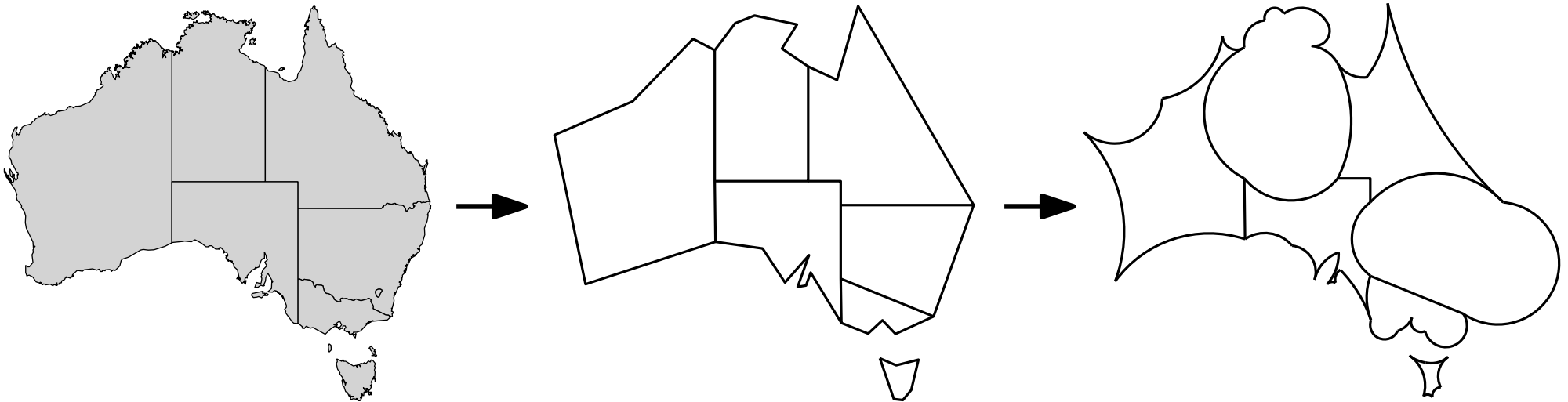
## Diskussion:

- Wiedererkennbarkeit der Form 
- Flächenvergleichbarkeit  
- Lage der Regionen 
- korrekte Adjazenzen  / 
- kleiner Flächenfehler  / 
- geringe Komplexität 
- Ablesen der Fläche 

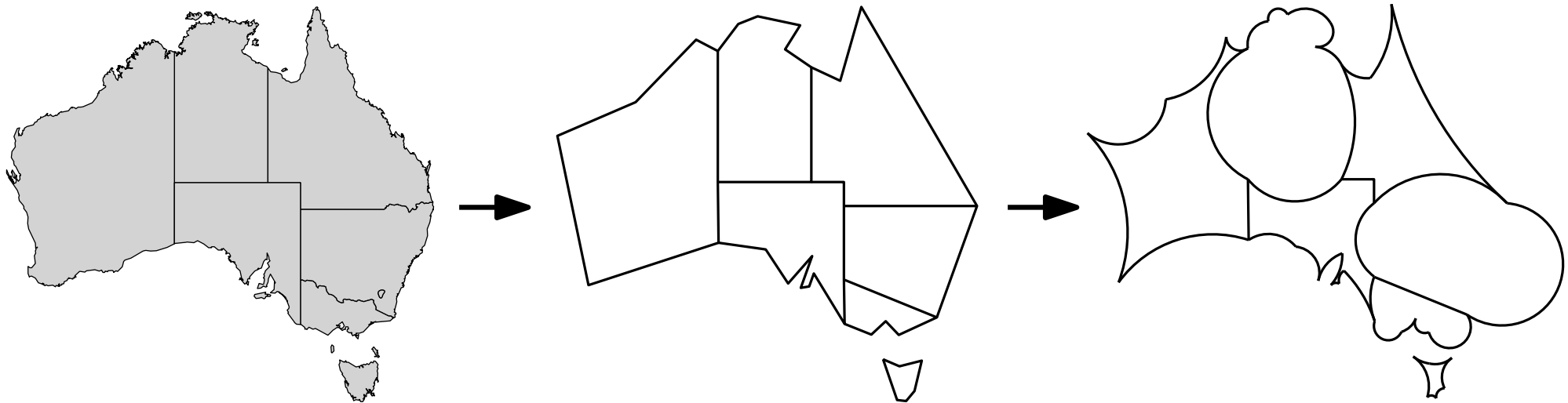


# Circular-Arc Cartograms [Kämper et al. '13]

- Idea:**
- take region boundaries of  $M$
  - simplify them
  - transform every polygon edge into a circular arc
  - adjust the arc radii to obtain target areas



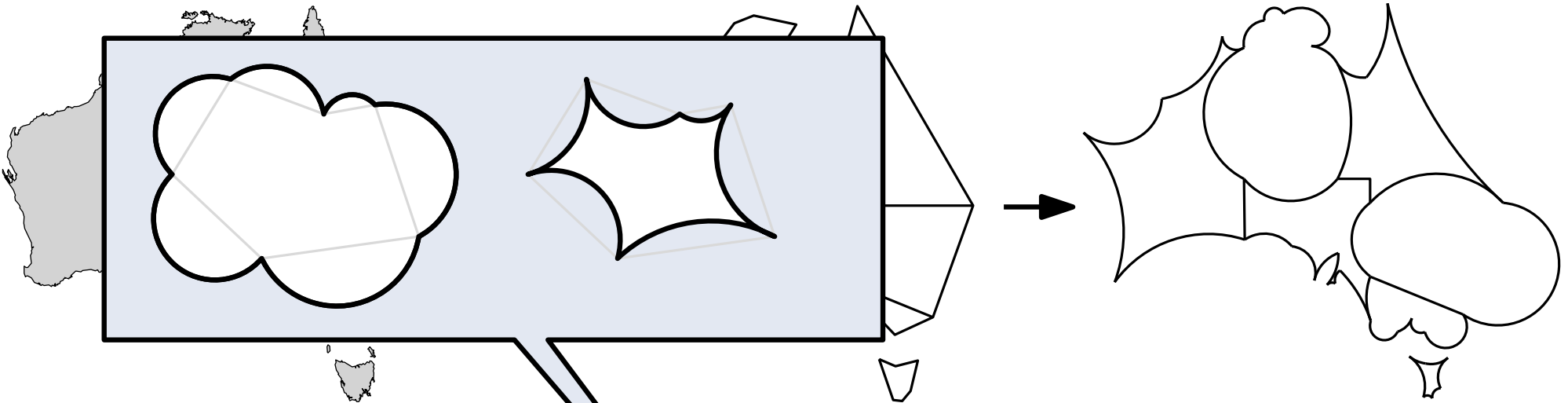
- Idea:**
- take region boundaries of  $M$
  - simplify them
  - transform every polygon edge into a circular arc
  - adjust the arc radii to obtain target areas



- Properties:**
- vertices keep positions  $\rightarrow$  no displacement
  - correct adjacencies
  - similar shapes for moderate area changes
  - intuitive cloud and snowflake look
  - the more simplified the more area potential

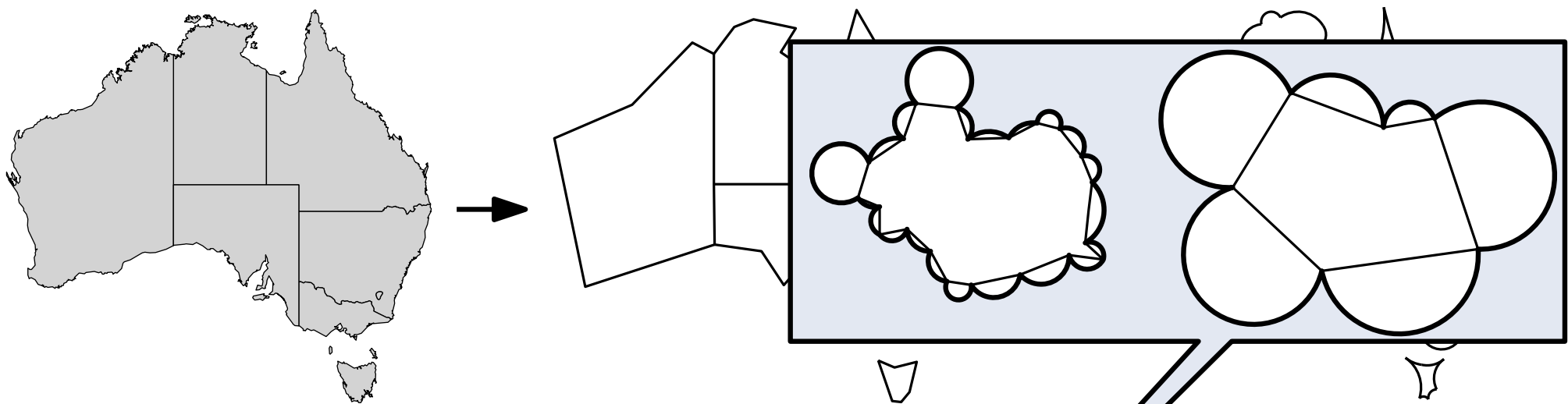


- Idea:**
- take region boundaries of  $M$
  - simplify them
  - transform every polygon edge into a circular arc
  - adjust the arc radii to obtain target areas



- Properties:**
- vertices keep positions  $\rightarrow$  no displacement
  - correct adjacencies
  - similar shapes for moderate area changes
  - intuitive cloud and snowflake look
  - the more simplified the more area potential

- Idea:**
- take region boundaries of  $M$
  - simplify them
  - transform every polygon edge into a circular arc
  - adjust the arc radii to obtain target areas



- Properties:**
- vertices keep positions  $\rightarrow$  no displacement
  - correct adjacencies
  - similar shapes for moderate area changes
  - intuitive cloud and snowflake look
  - the more simplified the more area potential

# An Algorithmic Problem

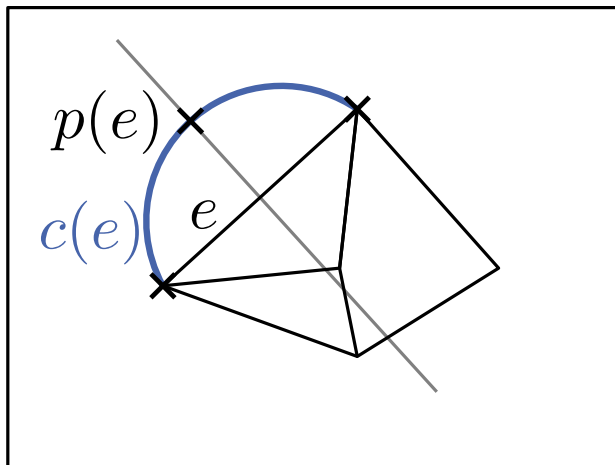
## **Problem:** CIRCULAR-ARC CARTOGRAM (CAC)

**in:** (simplified) polygonal subdivision of a rectangle with faces

$f_1, \dots, f_n$  of areas  $a_1, \dots, a_n$  and target areas  $t_1, \dots, t_n$

**out:** a point  $p(e)$  on the bisector of each polygon edge  $e$  s.t.

- $e$  is replaced by the unique circular arc  $c(e)$  through its endpoints and  $p(e) \rightarrow$  modified faces  $f'_1, \dots, f'_n$



# An Algorithmic Problem

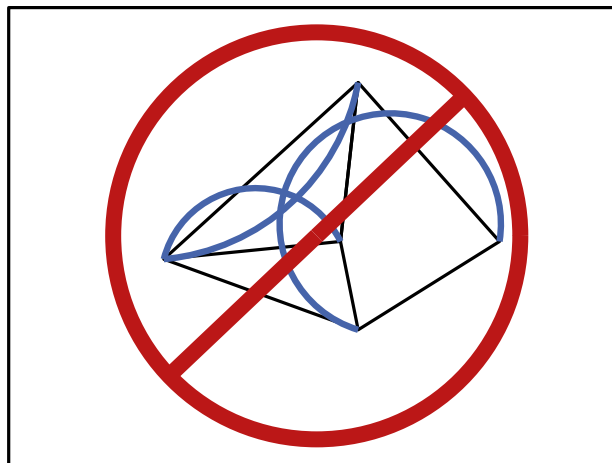
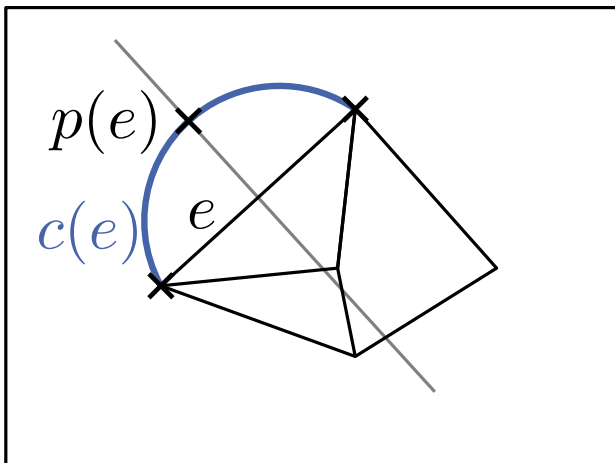
## **Problem:** CIRCULAR-ARC CARTOGRAM (CAC)

**in:** (simplified) polygonal subdivision of a rectangle with faces

$f_1, \dots, f_n$  of areas  $a_1, \dots, a_n$  and target areas  $t_1, \dots, t_n$

**out:** a point  $p(e)$  on the bisector of each polygon edge  $e$  s.t.

- $e$  is replaced by the unique circular arc  $c(e)$  through its endpoints and  $p(e) \rightarrow$  modified faces  $f'_1, \dots, f'_n$
- no two arcs  $c(e), c(e')$  cross



# An Algorithmic Problem

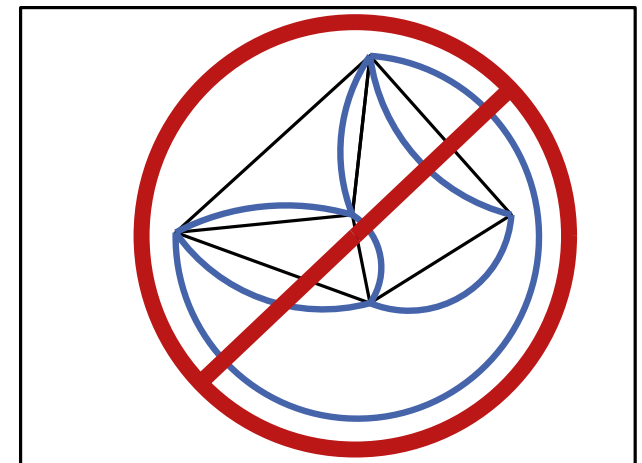
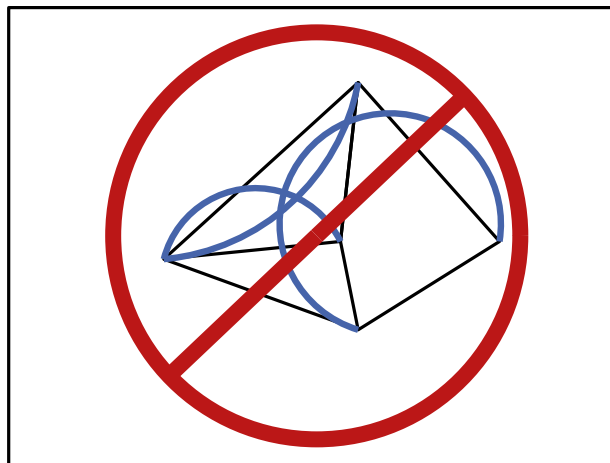
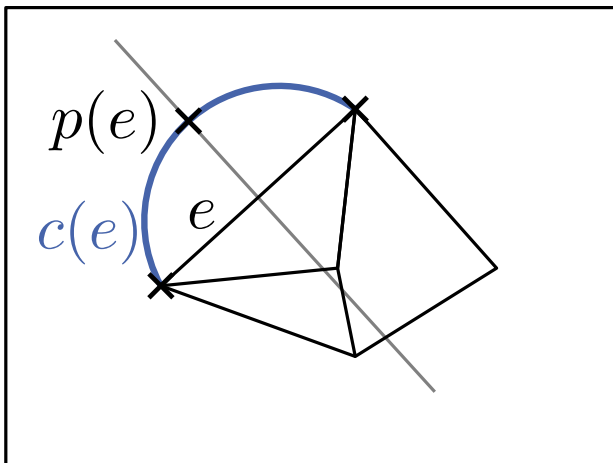
## **Problem:** CIRCULAR-ARC CARTOGRAM (CAC)

**in:** (simplified) polygonal subdivision of a rectangle with faces

$f_1, \dots, f_n$  of areas  $a_1, \dots, a_n$  and target areas  $t_1, \dots, t_n$

**out:** a point  $p(e)$  on the bisector of each polygon edge  $e$  s.t.

- $e$  is replaced by the unique circular arc  $c(e)$  through its endpoints and  $p(e) \rightarrow$  modified faces  $f'_1, \dots, f'_n$
- no two arcs  $c(e), c(e')$  cross
- the topology of the subdivision is preserved



# An Algorithmic Problem

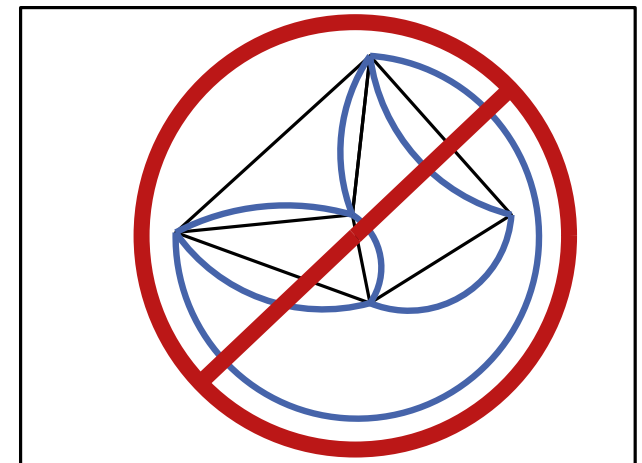
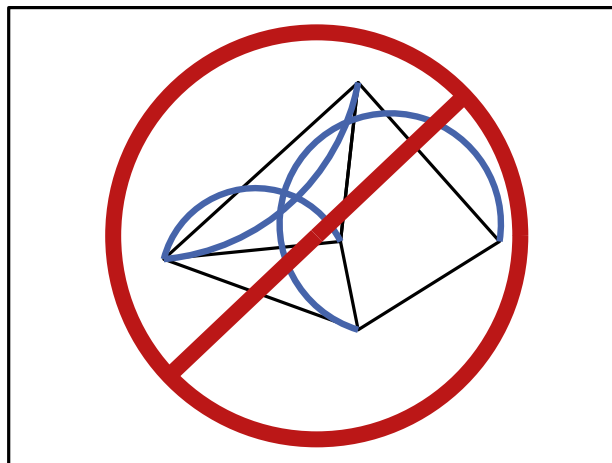
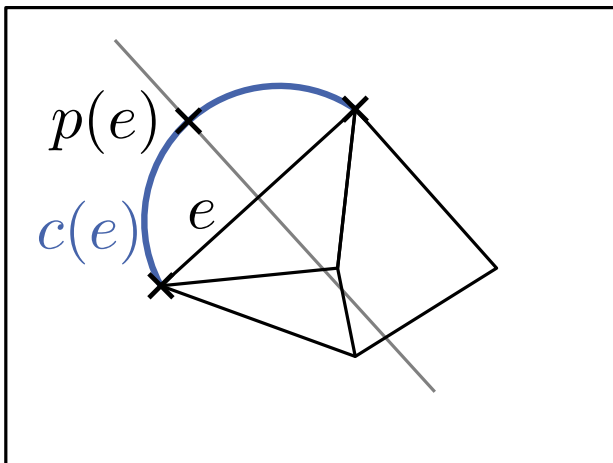
## **Problem:** CIRCULAR-ARC CARTOGRAM (CAC)

**in:** (simplified) polygonal subdivision of a rectangle with faces

$f_1, \dots, f_n$  of areas  $a_1, \dots, a_n$  and target areas  $t_1, \dots, t_n$

**out:** a point  $p(e)$  on the bisector of each polygon edge  $e$  s.t.

- $e$  is replaced by the unique circular arc  $c(e)$  through its endpoints and  $p(e) \rightarrow$  modified faces  $f'_1, \dots, f'_n$
- no two arcs  $c(e), c(e')$  cross
- the topology of the subdivision is preserved
- the area  $b_i$  of each face  $f'_i$  equals / is close to  $t_i$



# An Algorithmic Problem

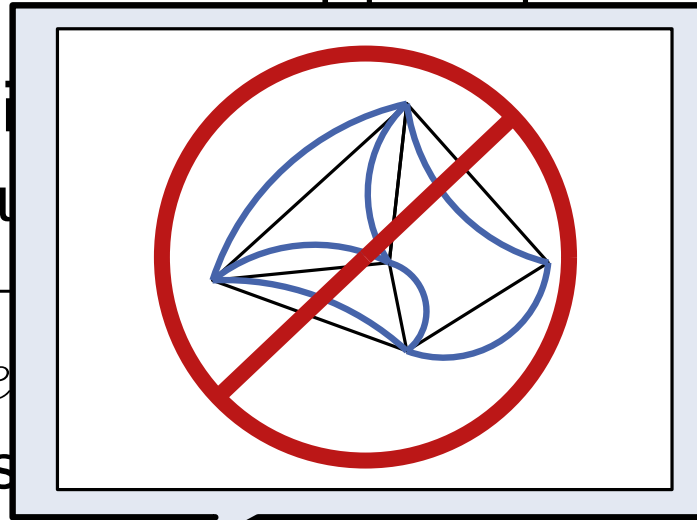
## Problem: CIRCULAR-ARC CARTOGRAM (CAC)

**in:** (simplified) polygonal subdivision of a rectangle with faces

$f_1, \dots, f_n$  of areas  $a_1, \dots, a_n$  and target areas  $t_1, \dots, t_n$

**out:** a point  $p(e)$  on the boundary of each edge  $e$  s.t.

- $e$  is replaced by the union of two arcs  $c(e)$  with endpoints  $p(e)$  and  $p(e')$
- no two arcs  $c(e), c(e')$  intersect
- the topology of the subdivision is preserved
- the area  $b_i$  of each face  $f'_i$  equals / is close to  $t_i$



## Variant: strong CAC

- if  $t_i - a_i \geq 0$  for a face  $f_i$  then no arc of  $f'_i$  is bent inward
  - if  $t_i - a_i \leq 0$  for a face  $f_i$  then no arc of  $f'_i$  is bent outward
- guarantees correct cloud and snowflake shapes

# An Algorithmic Problem

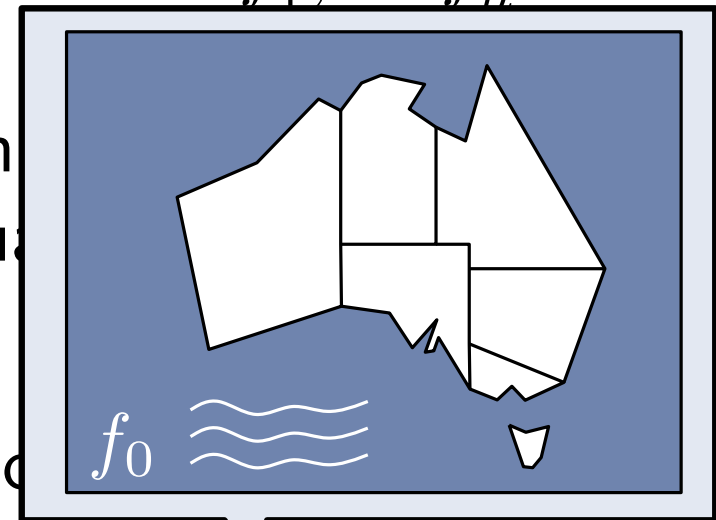
## **Problem:** CIRCULAR-ARC CARTOGRAM (CAC)

**in:** (simplified) polygonal subdivision of a rectangle with faces

$f_1, \dots, f_n$  of areas  $a_1, \dots, a_n$  and target areas  $t_1, \dots, t_n$

**out:** a point  $p(e)$  on the bisector of each polygon edge  $e$  s.t.

- $e$  is replaced by the unique circular arc  $c(e)$  through its endpoints and  $p(e) \rightarrow$  modified faces  $f'_1, \dots, f'_n$
- no two arcs  $c(e), c(e')$  cross
- the topology of the subdivision
- the area  $b_i$  of each face  $f'_i$  equals



## **Variant: strong CAC**

- if  $t_i - a_i \geq 0$  for a face  $f_i$  then no arc of  $f_i$  is bent inward
  - if  $t_i - a_i \leq 0$  for a face  $f_i$  then no arc of  $f_i$  is bent outward
- $\rightarrow$  guarantees correct cloud and snowflake shapes

**Sea face:** often there is a special unconstrained face  $f_0$

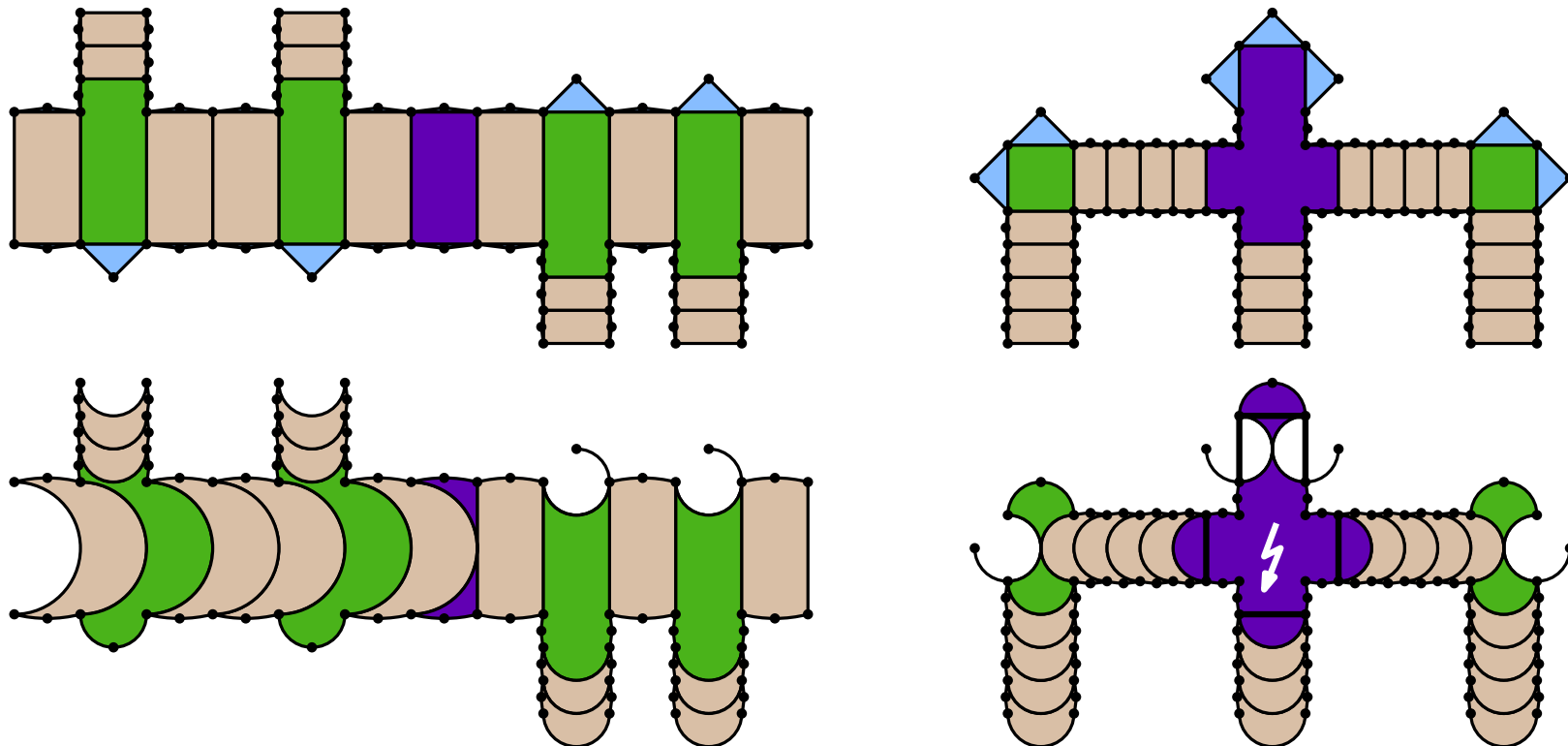


## Theorem

CIRCULAR-ARC CARTOGRAM is NP-hard, i.e., it is NP-hard to decide if an instance has an error-free circular-arc cartogram.

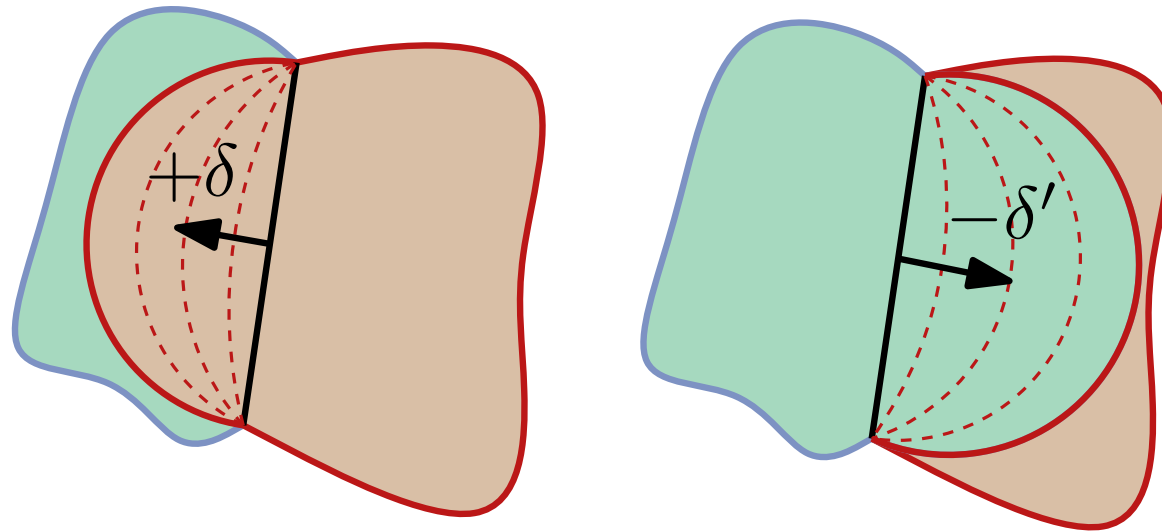
## Proof:

Reduction from PLANAR MONOTONE 3-SAT.



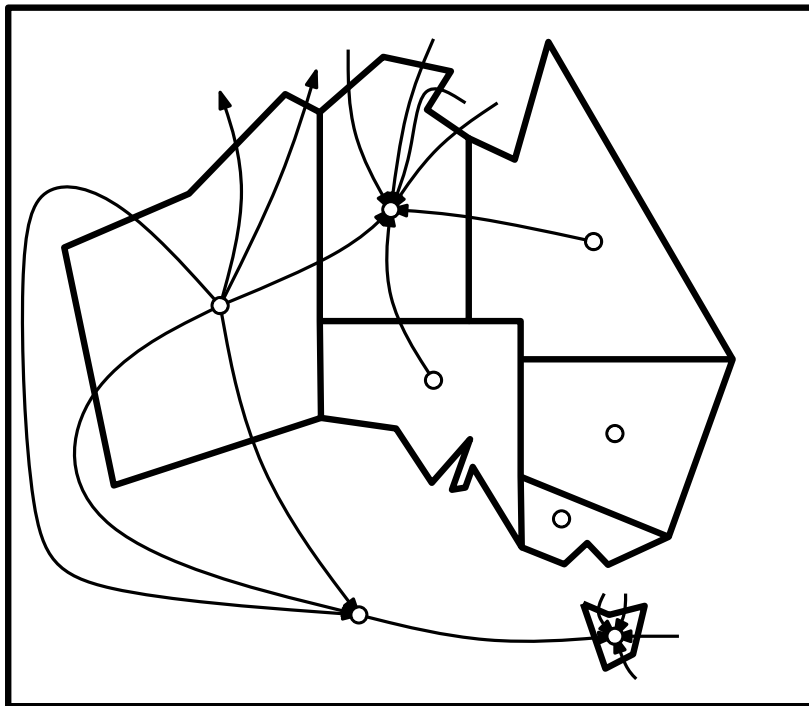
# Heuristic Algorithm

**Idea:** bending an edge transfers area from one face to another



# Heuristic Algorithm

**Idea:** bending an edge transfers area from one face to another  
→ define a **network flow model** s.t. valid maximum flow corresponds to circular-arc cartogram with small error

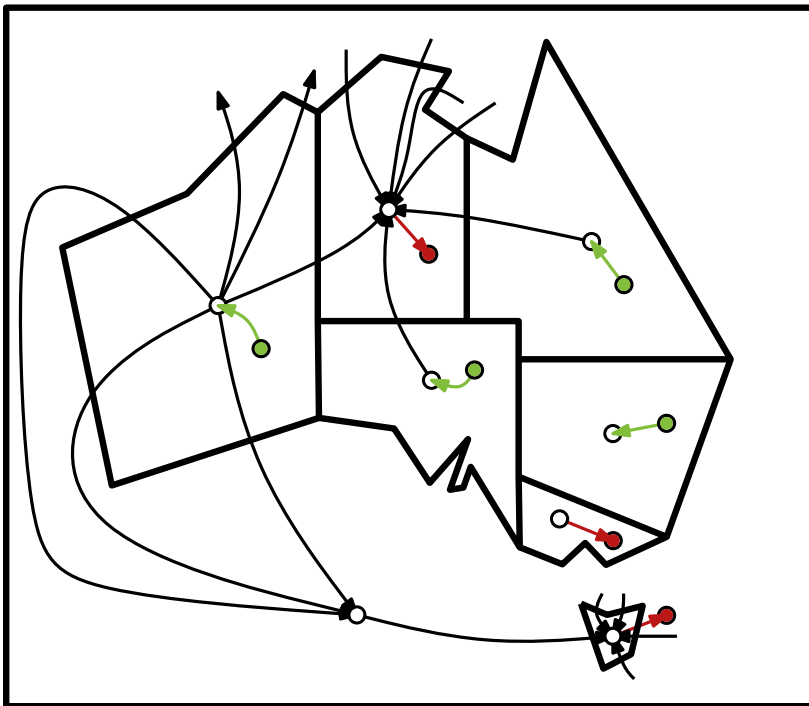


not all edges shown

- construct directed **dual graph**:  
one dual vertex  $v_i$  per face  $f_i$ ,  
one dual edge per polygon edge
- **strong CAC**: direct edges outward if  $|t_i - a_i| > 0$  & inward if  $|t_i - a_i| < 0$
- **weak CAC**: bidirected pairs of edges

# Heuristic Algorithm

**Idea:** bending an edge transfers area from one face to another  
→ define a **network flow model** s.t. valid maximum flow corresponds to circular-arc cartogram with small error

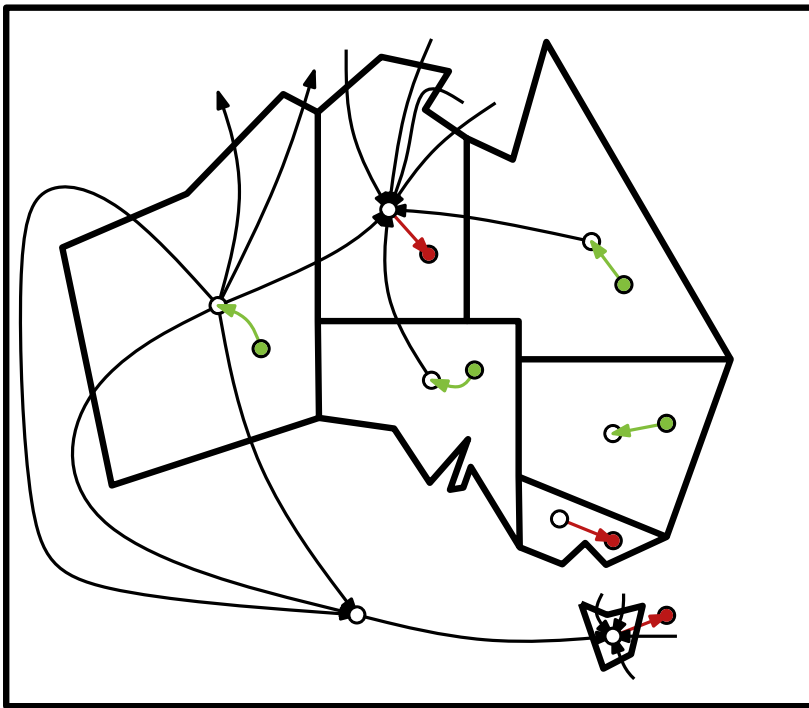


not all edges shown

- construct directed **dual graph**:  
one dual vertex  $v_i$  per face  $f_i$ ,  
one dual edge per polygon edge
- **strong CAC**: direct edges outward if  $|t_i - a_i| > 0$  & inward if  $|t_i - a_i| < 0$
- **weak CAC**: bidirected pairs of edges
- add another vertex  $v'_i$  for each  $v_i$
- if  $\Delta_i = t_i - a_i > 0$  make  $v'_i$  a source and add  $(v'_i, v_i)$  with capacity  $\Delta_i$
- if  $\Delta_i = t_i - a_i < 0$  make  $v'_i$  a sink and add  $(v_i, v'_i)$  with capacity  $-\Delta_i$

# Heuristic Algorithm

**Idea:** bending an edge transfers area from one face to another  
→ define a **network flow model** s.t. valid maximum flow corresponds to circular-arc cartogram with small error



not all edges shown

- construct directed **dual graph**:  
one dual vertex  $v_i$  per face  $f_i$ ,  
one dual edge per polygon edge
- **strong CAC**: direct edges outward if  $|t_i - a_i| > 0$  & inward if  $|t_i - a_i| < 0$
- **weak CAC**: bidirected pairs of edges
- add another vertex  $v'_i$  for each  $v_i$
- if  $\Delta_i = t_i - a_i > 0$  make  $v'_i$  a source and add  $(v'_i, v_i)$  with capacity  $\Delta_i$
- if  $\Delta_i = t_i - a_i < 0$  make  $v'_i$  a sink and add  $(v_i, v'_i)$  with capacity  $-\Delta_i$

How do we set the remaining edge capacities?

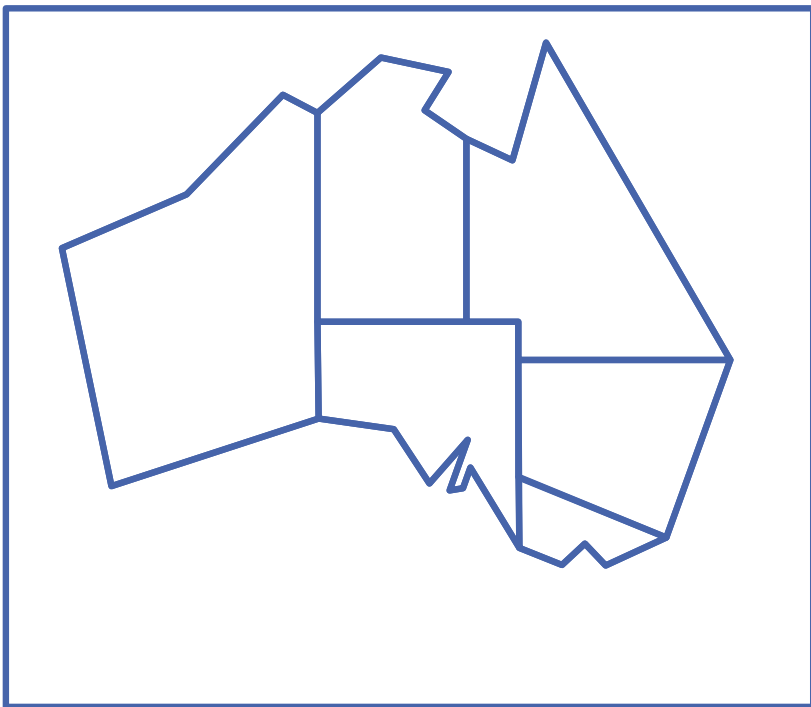
# Defining Edge Capacities

**Requirement:** regardless of flow value, corresponding circular arc is not allowed to intersect any other arc

# Defining Edge Capacities

**Requirement:** regardless of flow value, corresponding circular arc is not allowed to intersect any other arc

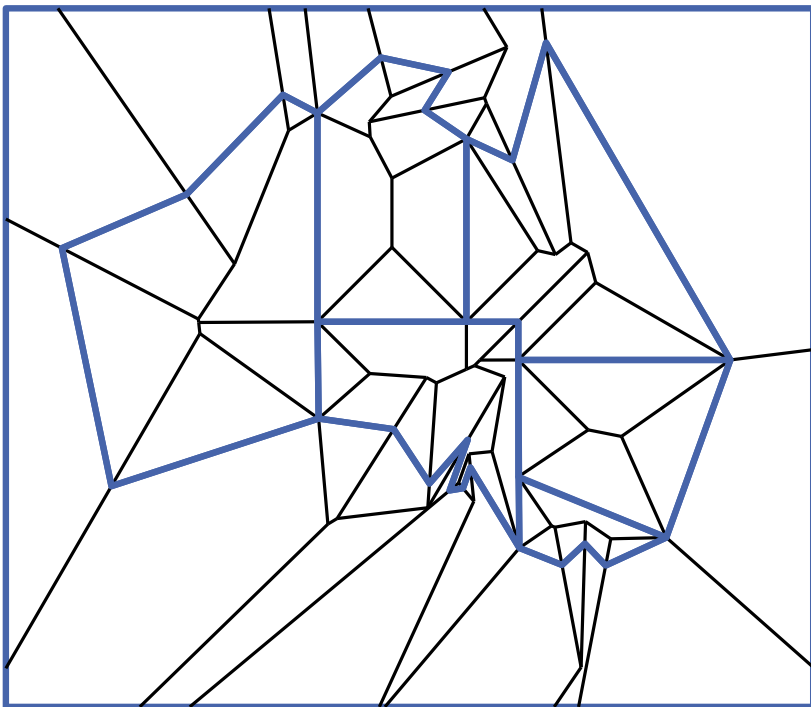
**Solution:** compute **straight skeleton** of the subdivision and confine every arc to stay within its skeleton cell



# Defining Edge Capacities

**Requirement:** regardless of flow value, corresponding circular arc is not allowed to intersect any other arc

**Solution:** compute **straight skeleton** of the subdivision and confine every arc to stay within its skeleton cell



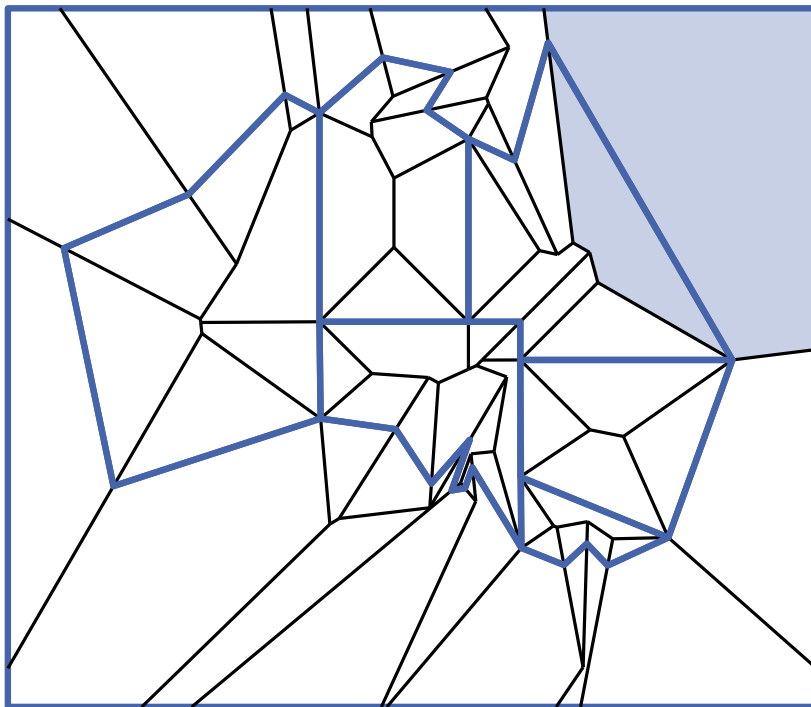
- straight skeleton can be computed in  $O(m \log^2 m)$  time [Cheng, Vigneron '07]
- divides each  $m$ -edge polygon into  $m$  polygonal cells
- compute maximal arcs to both sides of each edge that remain inside their cells  $\rightarrow$  no intersections
- max areas define edge capacities  $c(e)$
- each flow  $F(e) \leq c(e)$  can be realized as a valid circular arc with area transfer  $F(e)$



# Defining Edge Capacities

**Requirement:** regardless of flow value, corresponding circular arc is not allowed to intersect any other arc

**Solution:** compute **straight skeleton** of the subdivision and confine every arc to stay within its skeleton cell

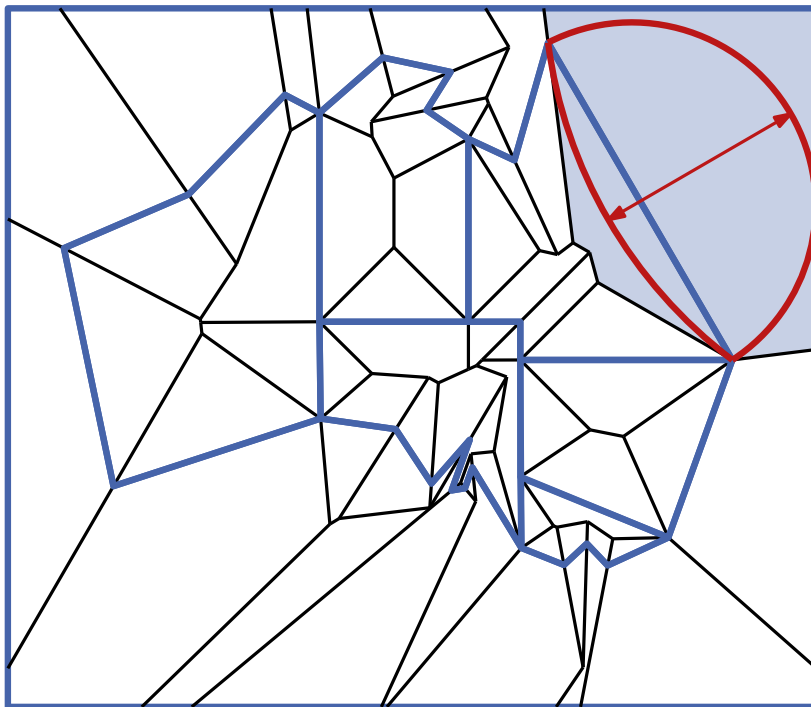


- straight skeleton can be computed in  $O(m \log^2 m)$  time [Cheng, Vigneron '07]
- divides each  $m$ -edge polygon into  $m$  polygonal cells
- compute maximal arcs to both sides of each edge that remain inside their cells  $\rightarrow$  no intersections
- max areas define edge capacities  $c(e)$
- each flow  $F(e) \leq c(e)$  can be realized as a valid circular arc with area transfer  $F(e)$

# Defining Edge Capacities

**Requirement:** regardless of flow value, corresponding circular arc is not allowed to intersect any other arc

**Solution:** compute **straight skeleton** of the subdivision and confine every arc to stay within its skeleton cell

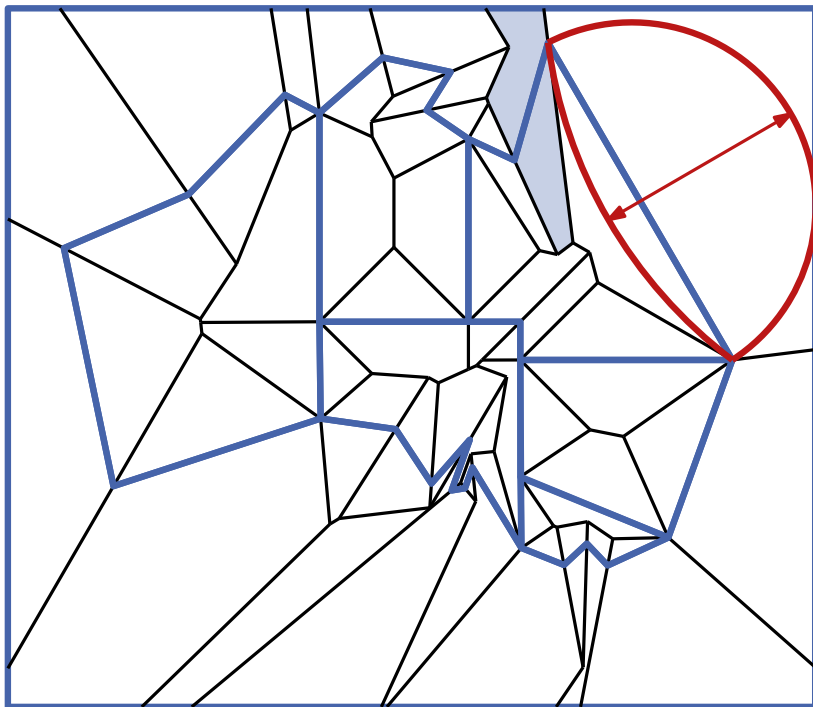


- straight skeleton can be computed in  $O(m \log^2 m)$  time [Cheng, Vigneron '07]
- divides each  $m$ -edge polygon into  $m$  polygonal cells
- compute maximal arcs to both sides of each edge that remain inside their cells  $\rightarrow$  no intersections
- max areas define edge capacities  $c(e)$
- each flow  $F(e) \leq c(e)$  can be realized as a valid circular arc with area transfer  $F(e)$

# Defining Edge Capacities

**Requirement:** regardless of flow value, corresponding circular arc is not allowed to intersect any other arc

**Solution:** compute **straight skeleton** of the subdivision and confine every arc to stay within its skeleton cell

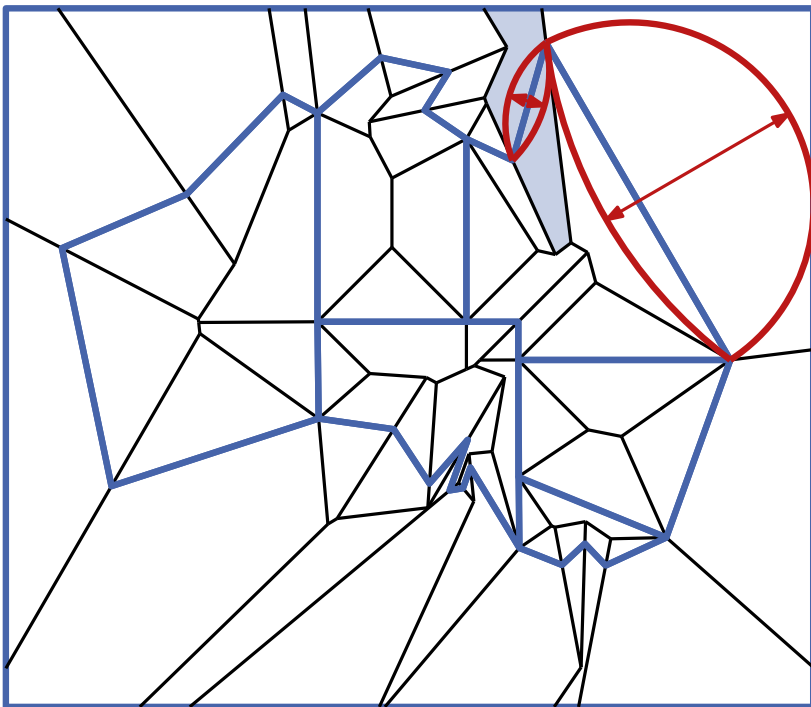


- straight skeleton can be computed in  $O(m \log^2 m)$  time [Cheng, Vigneron '07]
- divides each  $m$ -edge polygon into  $m$  polygonal cells
- compute maximal arcs to both sides of each edge that remain inside their cells  $\rightarrow$  no intersections
- max areas define edge capacities  $c(e)$
- each flow  $F(e) \leq c(e)$  can be realized as a valid circular arc with area transfer  $F(e)$

# Defining Edge Capacities

**Requirement:** regardless of flow value, corresponding circular arc is not allowed to intersect any other arc

**Solution:** compute **straight skeleton** of the subdivision and confine every arc to stay within its skeleton cell

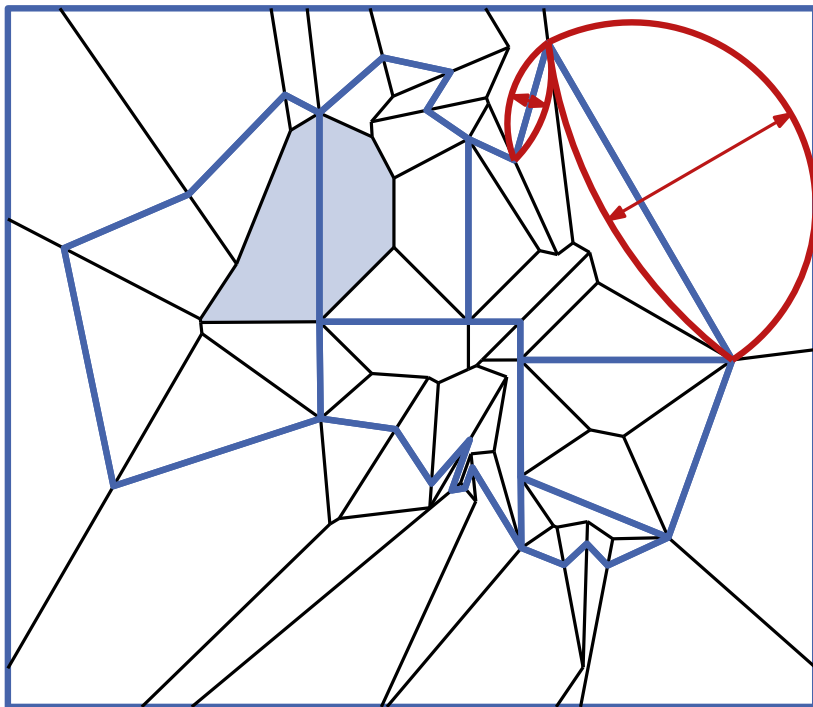


- straight skeleton can be computed in  $O(m \log^2 m)$  time [Cheng, Vigneron '07]
- divides each  $m$ -edge polygon into  $m$  polygonal cells
- compute maximal arcs to both sides of each edge that remain inside their cells  $\rightarrow$  no intersections
- max areas define edge capacities  $c(e)$
- each flow  $F(e) \leq c(e)$  can be realized as a valid circular arc with area transfer  $F(e)$

# Defining Edge Capacities

**Requirement:** regardless of flow value, corresponding circular arc is not allowed to intersect any other arc

**Solution:** compute **straight skeleton** of the subdivision and confine every arc to stay within its skeleton cell

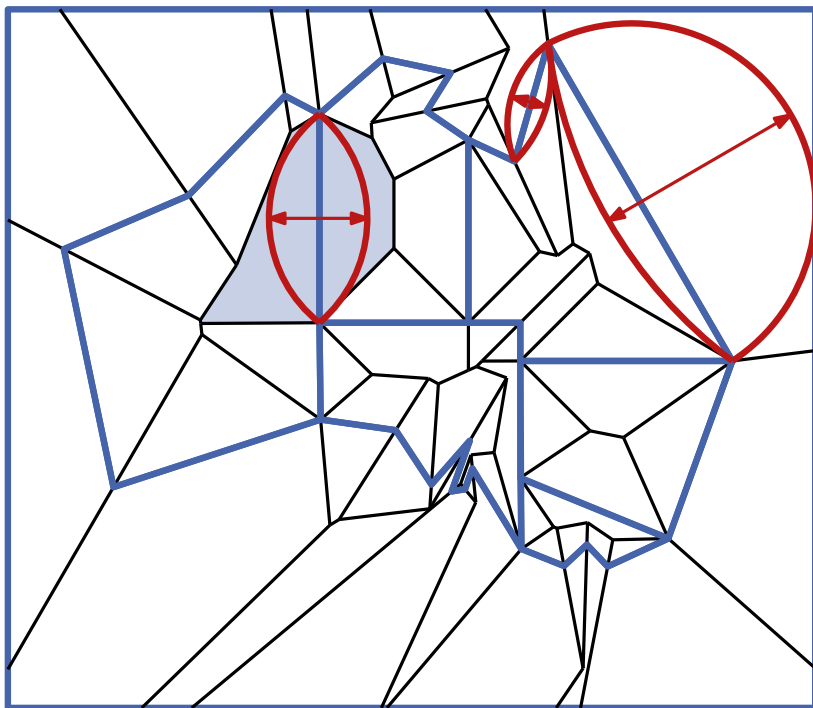


- straight skeleton can be computed in  $O(m \log^2 m)$  time [Cheng, Vigneron '07]
- divides each  $m$ -edge polygon into  $m$  polygonal cells
- compute maximal arcs to both sides of each edge that remain inside their cells  $\rightarrow$  no intersections
- max areas define edge capacities  $c(e)$
- each flow  $F(e) \leq c(e)$  can be realized as a valid circular arc with area transfer  $F(e)$

# Defining Edge Capacities

**Requirement:** regardless of flow value, corresponding circular arc is not allowed to intersect any other arc

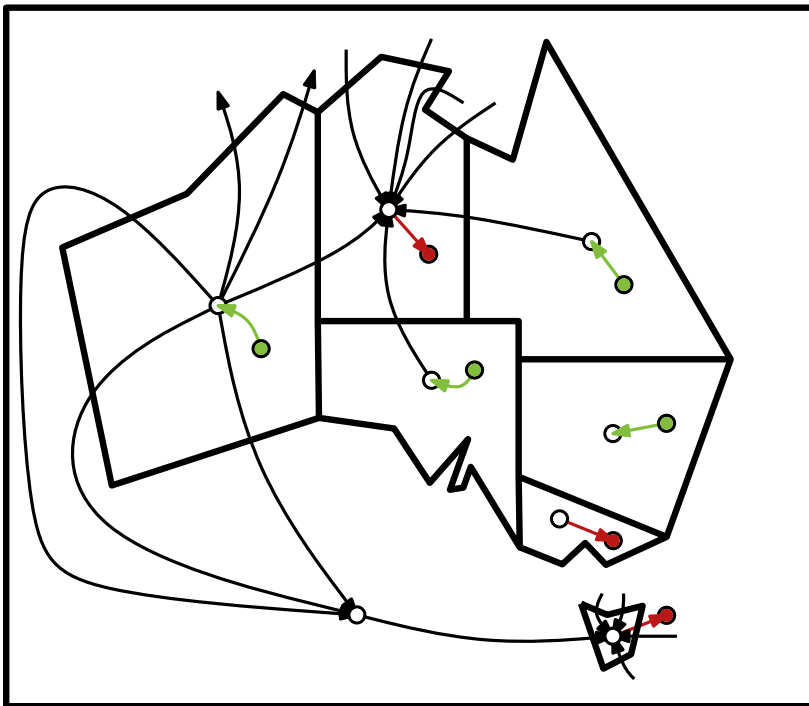
**Solution:** compute **straight skeleton** of the subdivision and confine every arc to stay within its skeleton cell



- straight skeleton can be computed in  $O(m \log^2 m)$  time [Cheng, Vigneron '07]
- divides each  $m$ -edge polygon into  $m$  polygonal cells
- compute maximal arcs to both sides of each edge that remain inside their cells  $\rightarrow$  no intersections
- max areas define edge capacities  $c(e)$
- each flow  $F(e) \leq c(e)$  can be realized as a valid circular arc with area transfer  $F(e)$

# Summary of the Algorithm

Via the dual graph  $G$  of the input subdivision and edge capacities  $c$  obtained from the straight skeleton we get a multiple-source multiple-sink flow network  $\mathcal{N} = (G, c, S, T)$ .



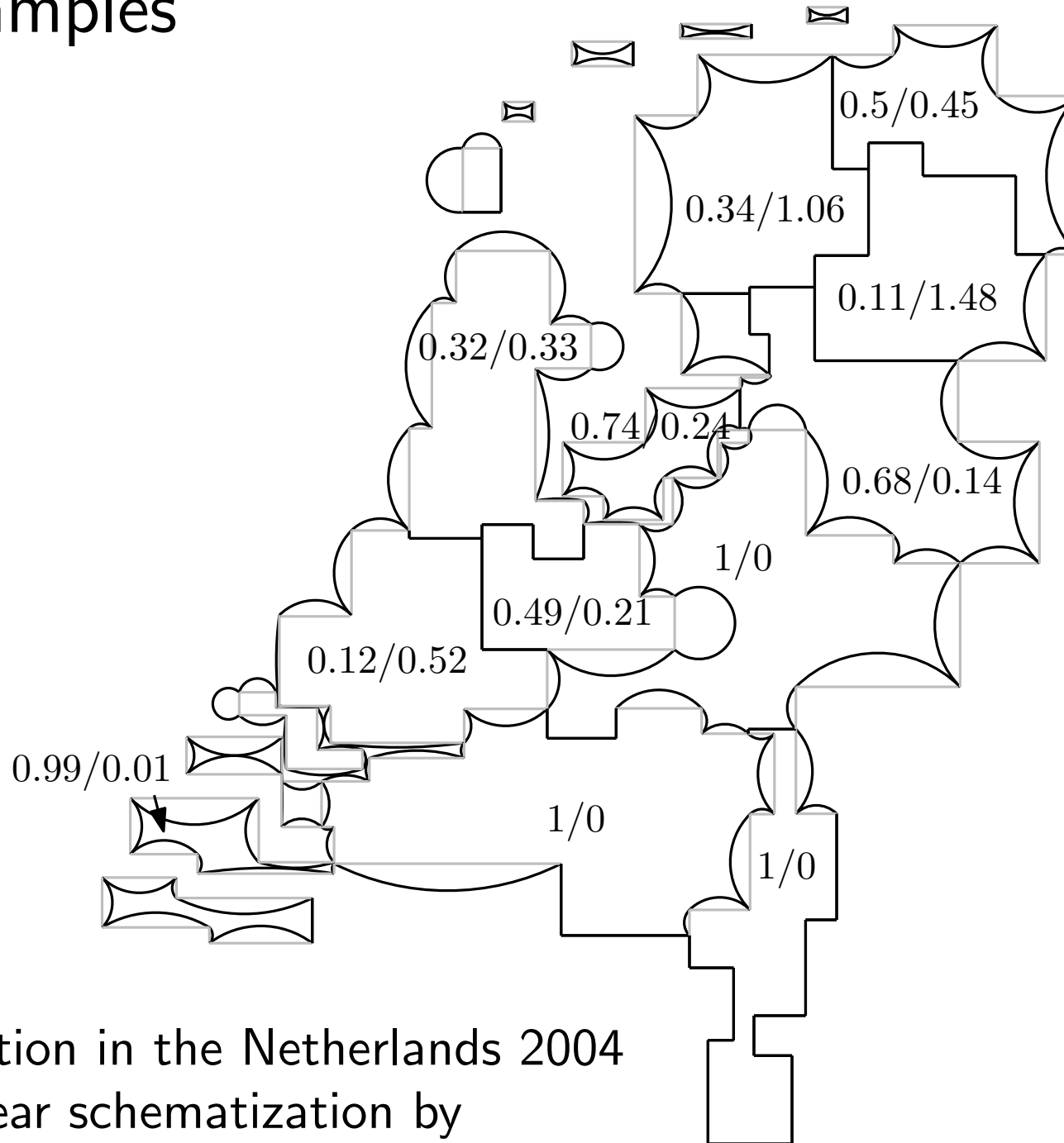
- $G$  is planar as the dual graph of a planar graph
- maximum flow in a planar flow network  $\mathcal{N}$  can be computed in  $O(n \log^3 n)$  time [Borradaile et al. '11]
- since  $\sum_i a_i = \sum_i t_i$  we get  $\sum_{\Delta_i > 0} \Delta_i = -\sum_{\Delta_i < 0} \Delta_i$
- a maximum flow in  $\mathcal{N}$  with value  $D = \sum_{\Delta_i > 0} \Delta_i$  corresponds to an accurate circular-arc cartogram
- otherwise the cartographic error is minimized within the given capacity constraints

- prototype implementation in C++ using CGAL and Boost
- currently supports only weak cartograms
- measure for each face  $f_i$ 
  - **success rate**  $(b_i - a_i) / \Delta_i$
  - **cartographic error**  $|b_i - t_i| / t_i$





# Some Examples

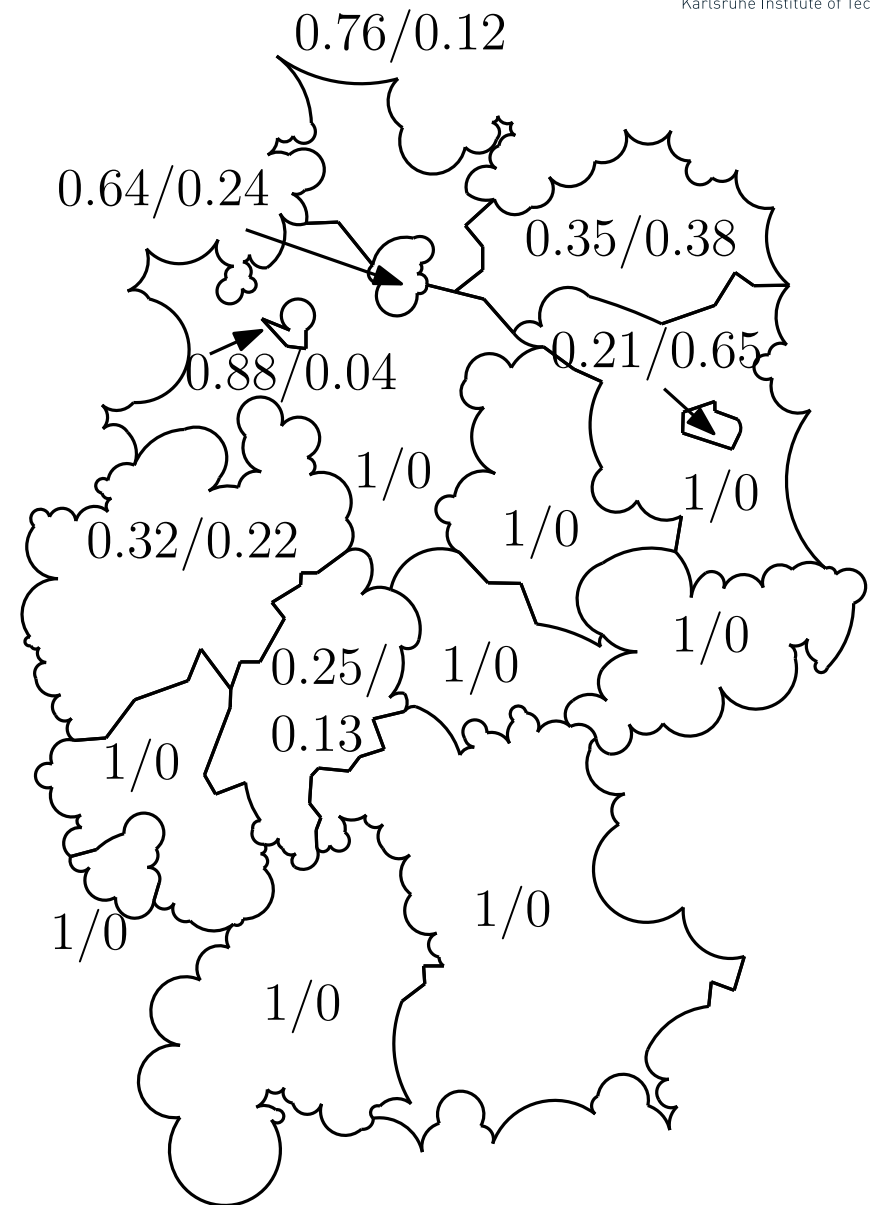
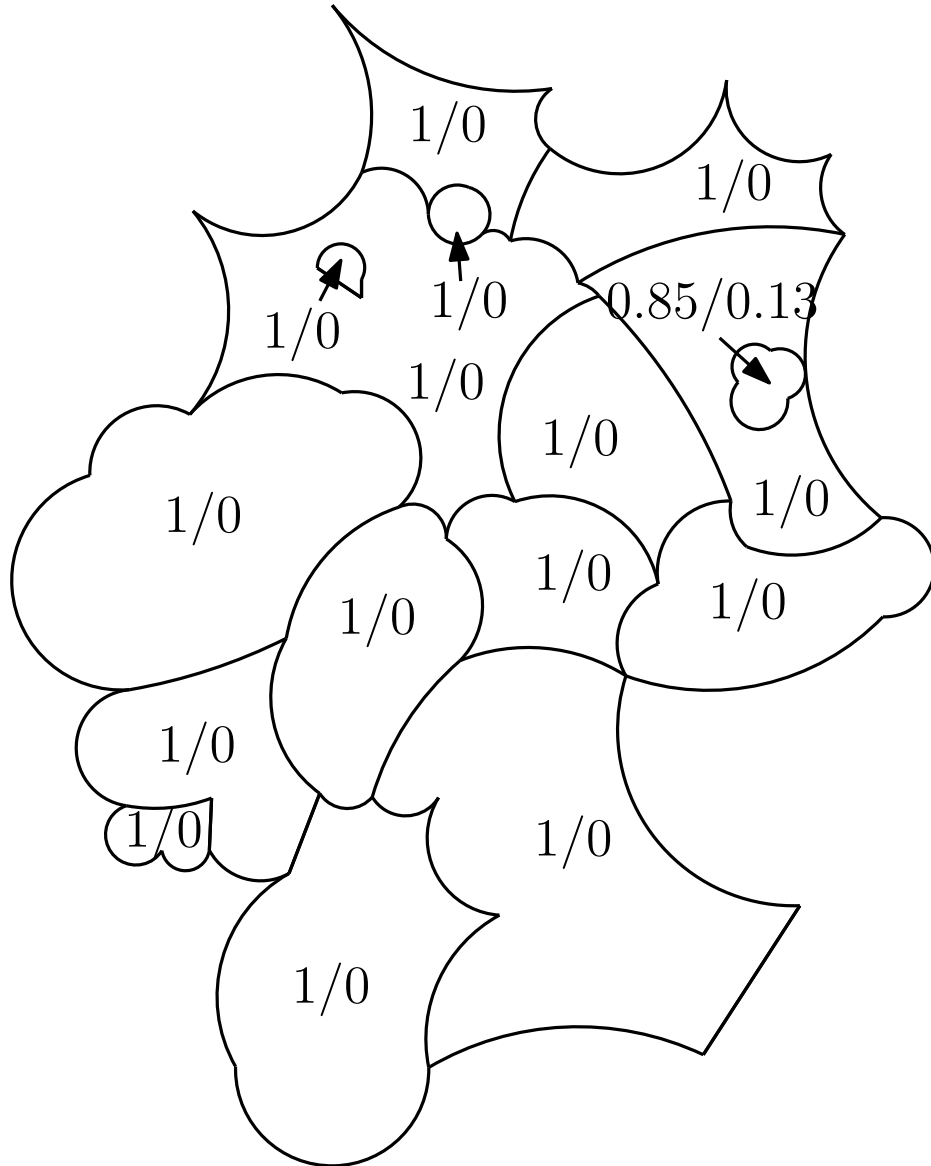


Data: population in the Netherlands 2004

Map: rectilinear schematization by

[Buchin et al. '11]

# Some Examples

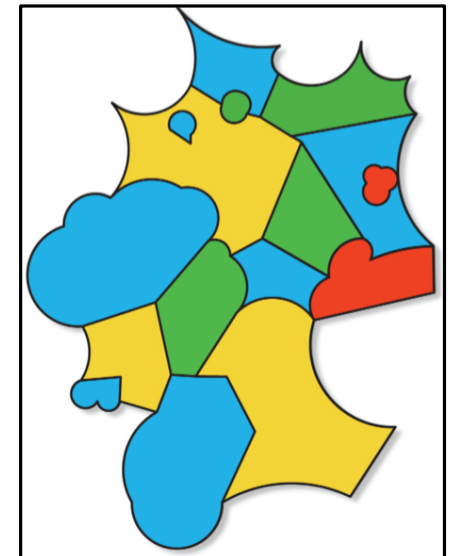


Data: railroad km in Germany 2010








Map: simplified manually (coarse and fine)

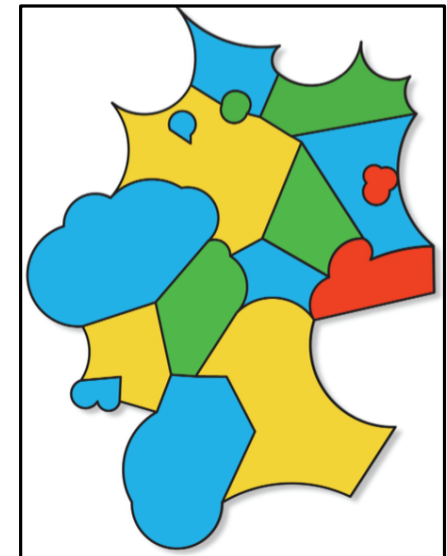
## Diskussion:

- Wiedererkennbarkeit der Form
- Flächenvergleichbarkeit
- Lage der Regionen
- korrekte Adjazenzen
- kleiner Flächenfehler
- geringe Komplexität
- Ablesen der Fläche



## Diskussion:

- Wiedererkennbarkeit der Form 
- Flächenvergleichbarkeit 
- Lage der Regionen 
- korrekte Adjazenzen 
- kleiner Flächenfehler 
- geringe Komplexität 
- Ablesen der Fläche 



## Diskussion:

- Wiedererkennbarkeit der Form
- Flächenvergleichbarkeit
- Lage der Regionen
- korrekte Adjazenzen
- kleiner Flächenfehler
- geringe Komplexität
- Ablesen der Fläche

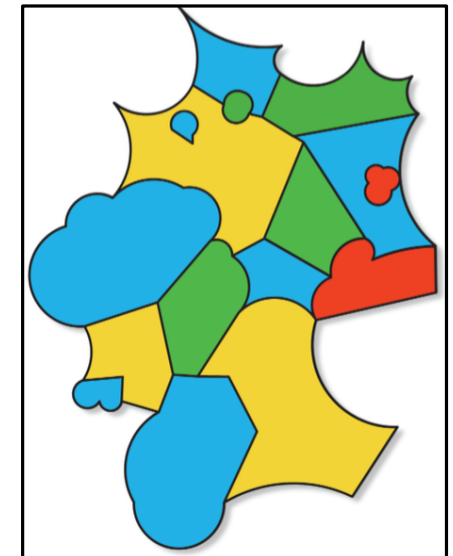
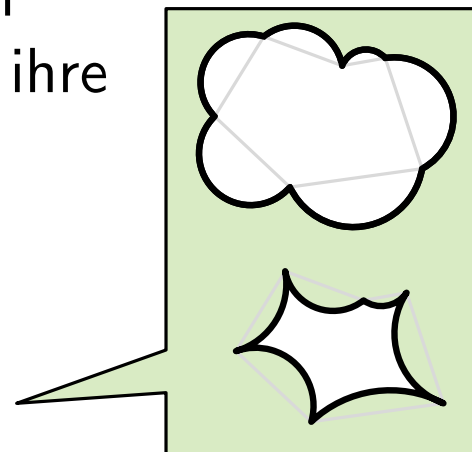


## Weiteres Problem:

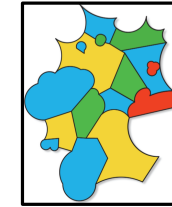
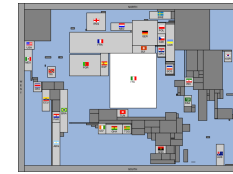
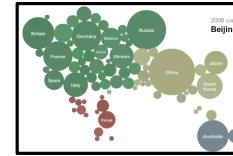
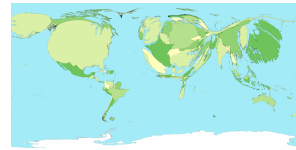
- umschlossene Regionen haben kaum oder gar kein Potential ihre Fläche zu ändern

## Weiterer Vorteil:

- Form der Region verdeutlicht Verhältnis Wert/Fläche



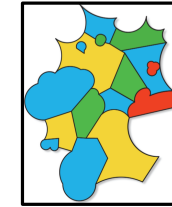
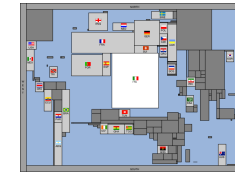
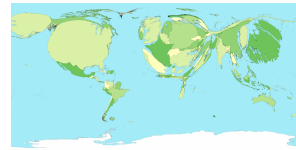
# Zusammenfassung Kartogramme



- Wiedererkennbarkeit
- Flächenvergleichbarkeit
- Lage der Regionen
- korrekte Adjazenzen
- kleiner Flächenfehler
- geringe Komplexität
- Ablesen der Fläche



# Zusammenfassung Kartogramme



Kriterium	World Map	Beijing Bubble Chart	Beijing City Map	Abstract Beijing Map
Wiedererkennbarkeit	○	⊖	⊖	○ ⊕
Flächenvergleichbarkeit	⊖	⊕	⊕ ○	⊖ ○
Lage der Regionen	⊕ ○	⊖ ○	○	⊕ ○
korrekte Adjazenzen	⊕	⊖ ○	⊕ / ○	⊕
kleiner Flächenfehler	⊕ ○	⊕	○ / ⊕	○
geringe Komplexität	⊖	⊕	⊕	○
AbleSEN der Fläche	⊖	⊕ ○	○	⊖ ○

Kein Kartogrammtyp ist perfekt, alle haben ihre Vor- und Nachteile. Auswahl sollte je nach Anwendungszweck erfolgen.



**Ein Ausflug in die Theorie:** Welche Polygonkomplexität braucht man, um jede Flächenzuweisung als rektilineares Kartogramm realisieren zu können?

**Ein Ausflug in die Theorie:** Welche Polygonkomplexität braucht man, um jede Flächenzuweisung als rektilineares Kartogramm realisieren zu können?

**Satz:** Es gibt planare triangulierte Graphen, die mindestens Komplexität 8 zur Kontaktrepräsentation mit rektilinearen Polygonen benötigen.

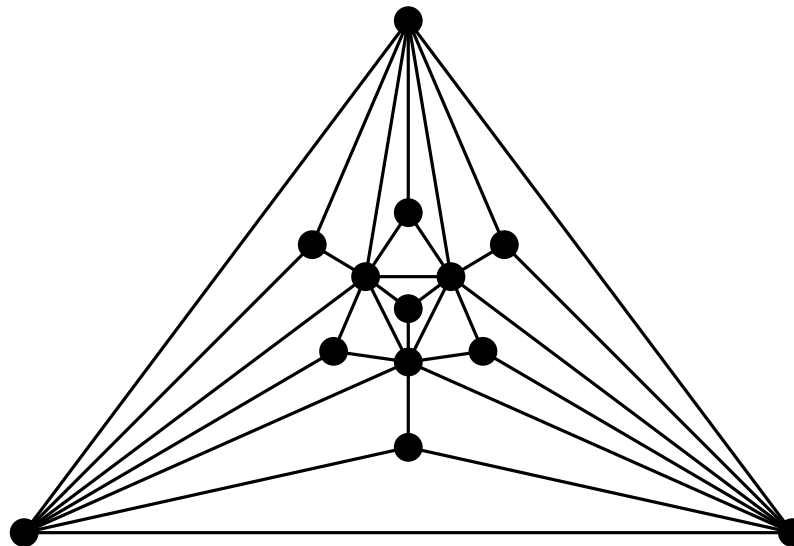
[Yeap, Sarrafzadeh '93]

**Ein Ausflug in die Theorie:** Welche Polygonkomplexität braucht man, um jede Flächenzuweisung als rektilineares Kartogramm realisieren zu können?

**Satz:** Es gibt planare triangulierte Graphen, die mindestens Komplexität 8 zur Kontaktrepräsentation mit rektilinearen Polygonen benötigen.

[Yeap, Sarrafzadeh '93]

**Beweis:**

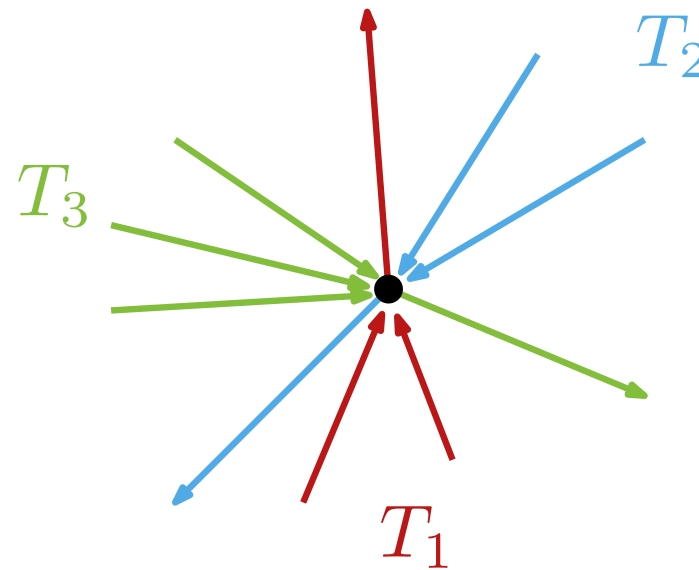




# Schnyder Realizer

Sei  $G$  ein triangulierter planarer Graph. Ein **Schnyder Realizer** partitioniert die internen Kanten in drei Mengen  $T_1$ ,  $T_2$ ,  $T_3$  von gerichteten Kanten, so dass

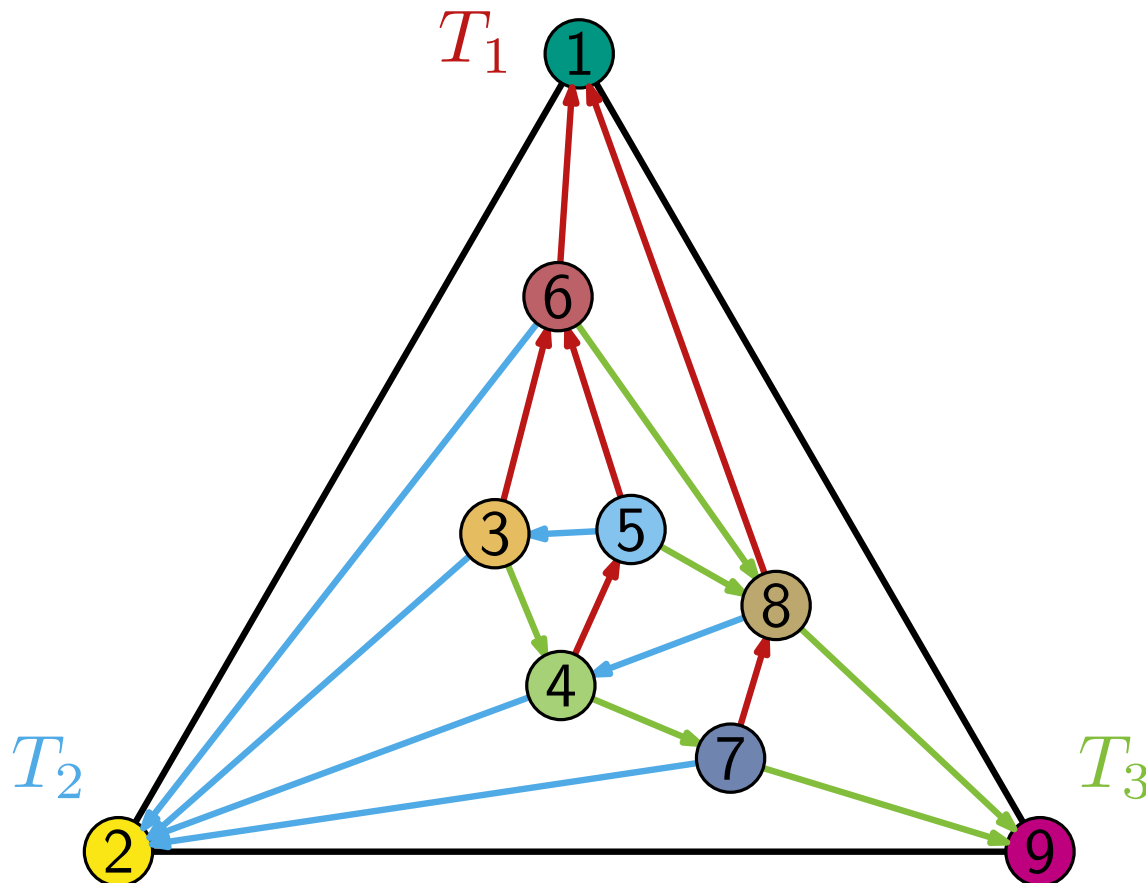
- jeder innere Knoten  $v$  hat genau eine Kante in jedem  $T_i^{\text{out}}$
- die Ordnung der Kanten um jeden Knoten  $v$  im GUZS ist  $T_1^{\text{in}}$ ,  $T_3^{\text{out}}$ ,  $T_2^{\text{in}}$ ,  $T_1^{\text{out}}$ ,  $T_3^{\text{in}}$ ,  $T_2^{\text{out}}$



# Schnyder Realizer

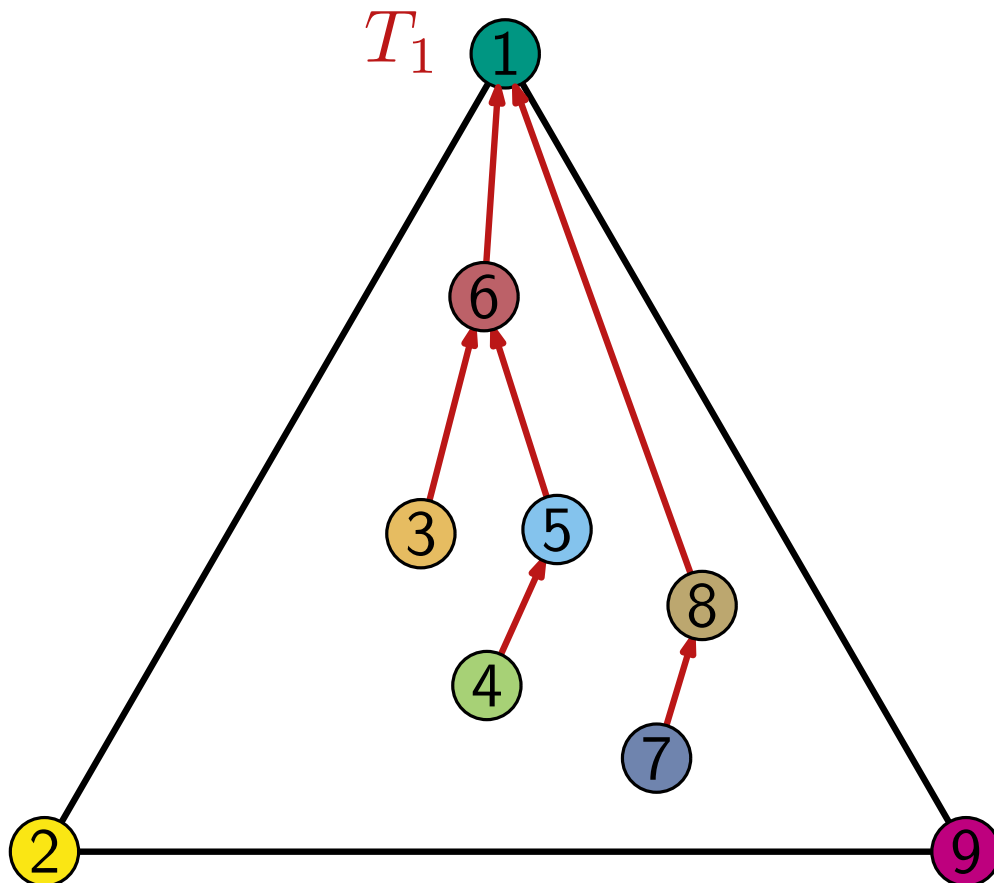
**Satz:** Jede Menge  $T_i$  ( $i = 1, 2, 3$ ) ist ein Spannbaum aller inneren Knoten und eines äußeren Knotens.

Jeder triangulierte Graph besitzt einen Schnyder Realizer und dieser kann in  $O(n)$  Zeit berechnet werden.



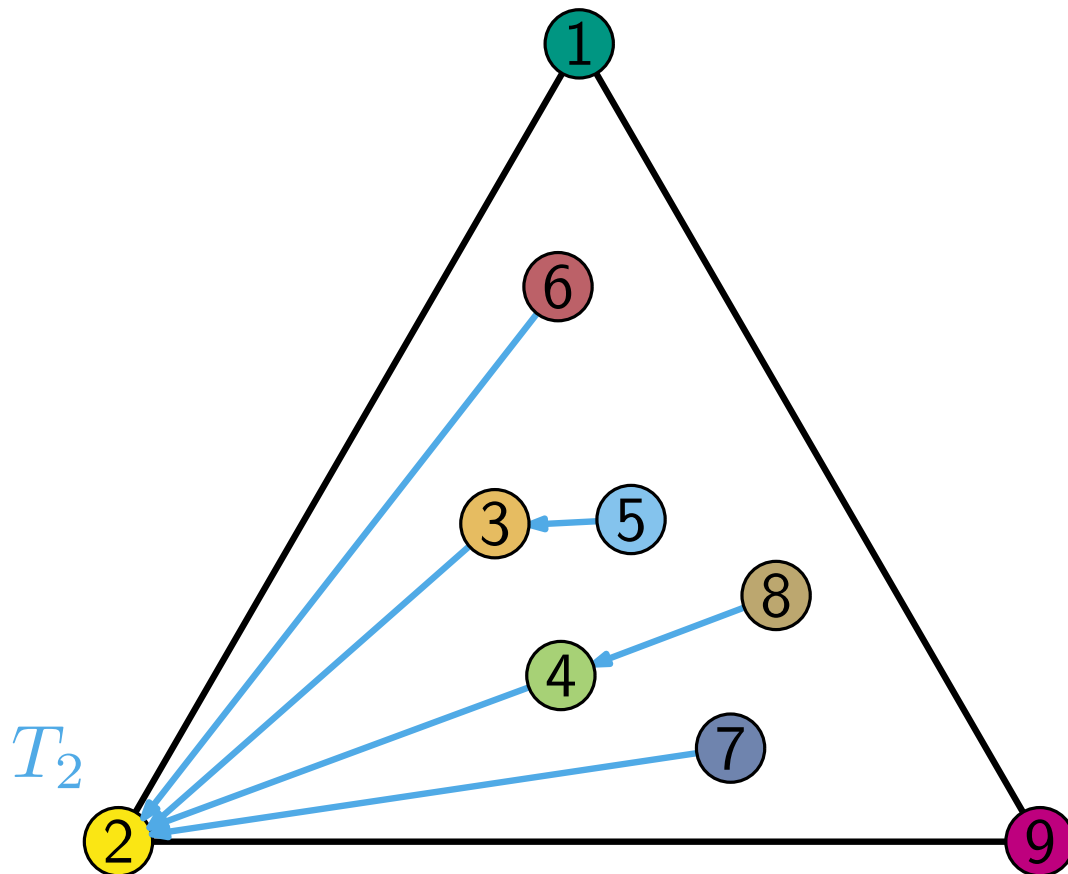
**Satz:** Jede Menge  $T_i$  ( $i = 1, 2, 3$ ) ist ein Spannbaum aller inneren Knoten und eines äußeren Knotens.

Jeder triangulierte Graph besitzt einen Schnyder Realizer und dieser kann in  $O(n)$  Zeit berechnet werden.



**Satz:** Jede Menge  $T_i$  ( $i = 1, 2, 3$ ) ist ein Spannbaum aller inneren Knoten und eines äußeren Knotens.

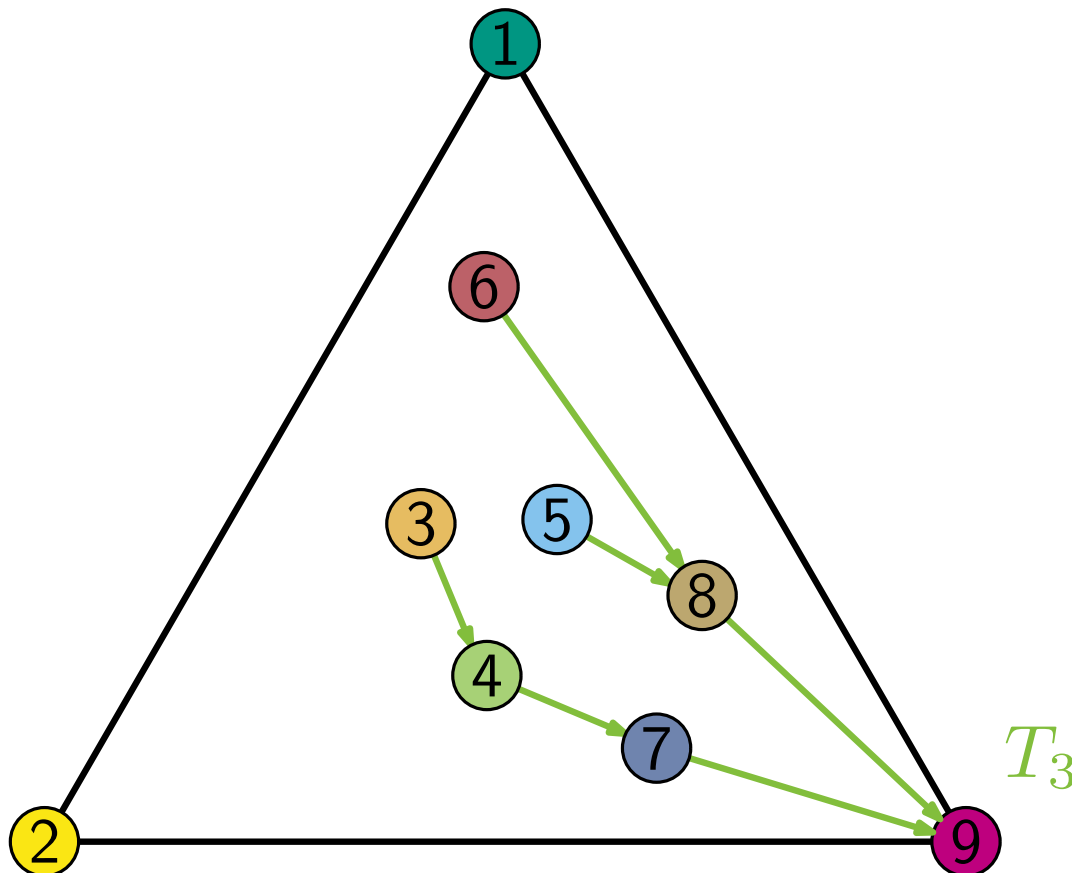
Jeder triangulierte Graph besitzt einen Schnyder Realizer und dieser kann in  $O(n)$  Zeit berechnet werden.





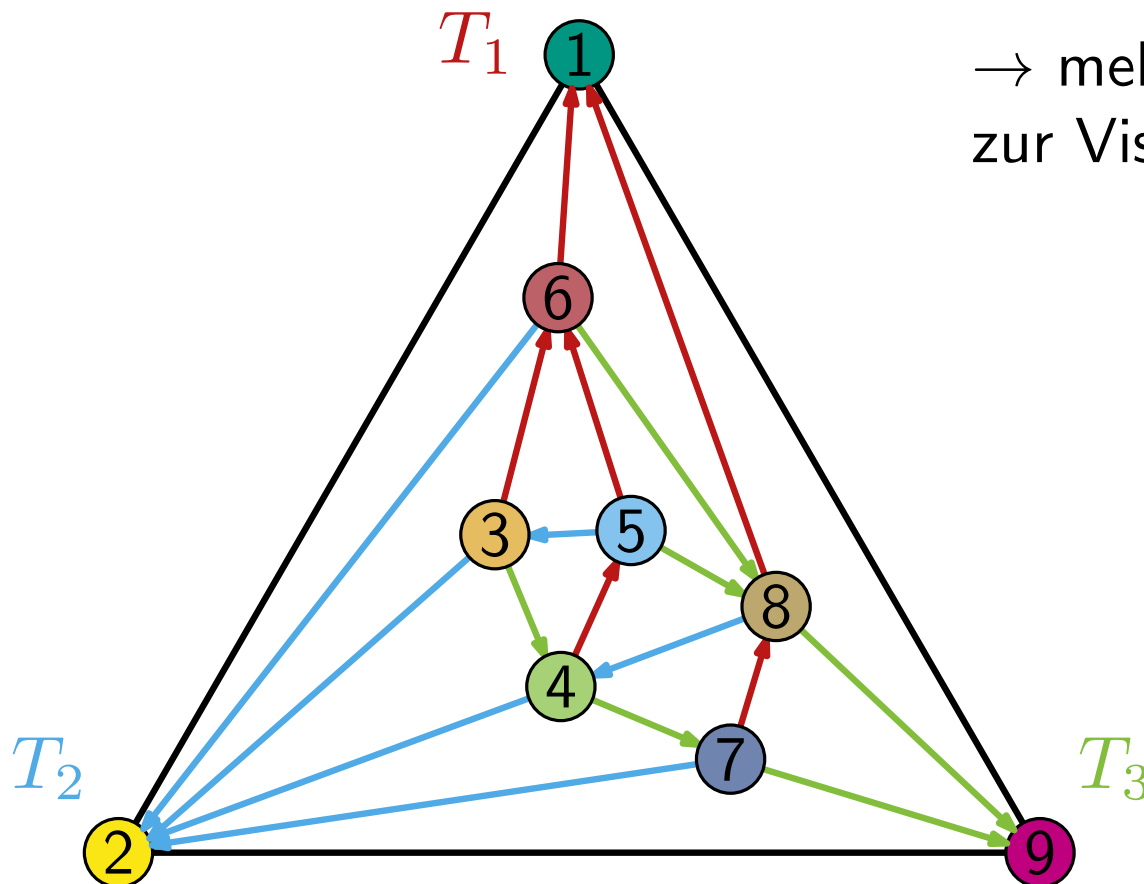
**Satz:** Jede Menge  $T_i$  ( $i = 1, 2, 3$ ) ist ein Spannbaum aller inneren Knoten und eines äußeren Knotens.

Jeder triangulierte Graph besitzt einen Schnyder Realizer und dieser kann in  $O(n)$  Zeit berechnet werden.



**Satz:** Jede Menge  $T_i$  ( $i = 1, 2, 3$ ) ist ein Spannbaum aller inneren Knoten und eines äußeren Knotens.

Jeder triangulierte Graph besitzt einen Schnyder Realizer und dieser kann in  $O(n)$  Zeit berechnet werden.



→ mehr dazu in der VL Algorithmen zur Visualisierung von Graphen

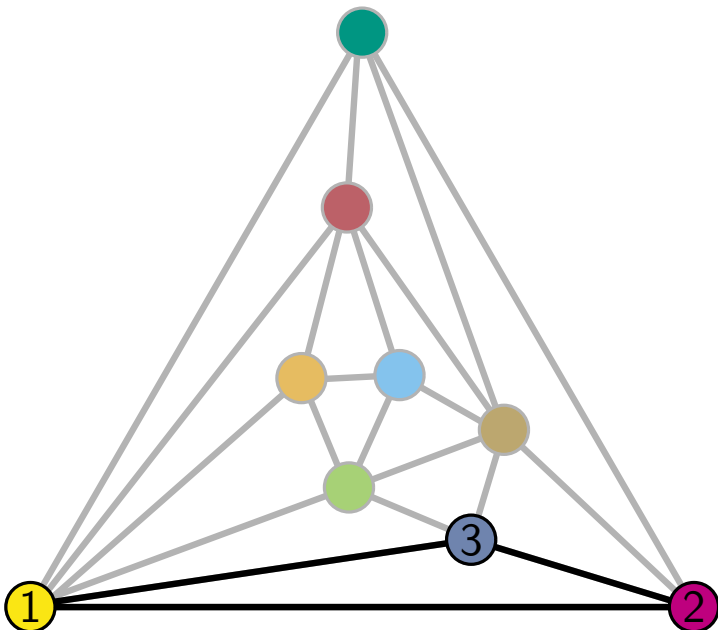
Die **kanonische Ordnung** der Knoten eines triangulierten planaren Graphen  $G$  mit den drei äußeren Knoten  $u, v, w$  im GUZS ist eine Ordnung  $v_1 = u, v_2 = v, v_3, \dots, v_n = w$ , so dass für jedes  $i$  ( $4 \leq i \leq n$ ) gilt:

- Graph  $G_{i-1} \subseteq G$  induziert durch  $v_1, \dots, v_{i-1}$  ist 2-fach zshgd. und äußere Facette ist begrenzt durch Kreis  $C_{i-1}$ , der  $v_1v_2$  enthält
- Knoten  $v_i$  liegt in der äußeren Facette von  $G_{i-1}$  und seine Nachbarn in  $G_{i-1}$  bilden zusammenhängendes Intervall im Pfad  $C_{i-1} \setminus v_1v_2$

# Kanonische Ordnung

Die **kanonische Ordnung** der Knoten eines triangulierten planaren Graphen  $G$  mit den drei äußeren Knoten  $u, v, w$  im GUZS ist eine Ordnung  $v_1 = u, v_2 = v, v_3, \dots, v_n = w$ , so dass für jedes  $i$  ( $4 \leq i \leq n$ ) gilt:

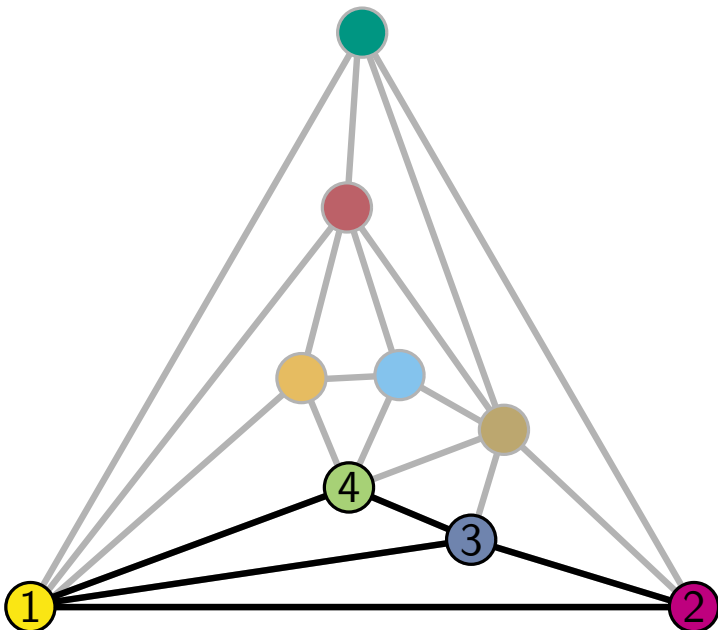
- Graph  $G_{i-1} \subseteq G$  induziert durch  $v_1, \dots, v_{i-1}$  ist 2-fach zshgd. und äußere Facette ist begrenzt durch Kreis  $C_{i-1}$ , der  $v_1v_2$  enthält
- Knoten  $v_i$  liegt in der äußeren Facette von  $G_{i-1}$  und seine Nachbarn in  $G_{i-1}$  bilden zusammenhängendes Intervall im Pfad  $C_{i-1} \setminus v_1v_2$



# Kanonische Ordnung

Die **kanonische Ordnung** der Knoten eines triangulierten planaren Graphen  $G$  mit den drei äußeren Knoten  $u, v, w$  im GUZS ist eine Ordnung  $v_1 = u, v_2 = v, v_3, \dots, v_n = w$ , so dass für jedes  $i$  ( $4 \leq i \leq n$ ) gilt:

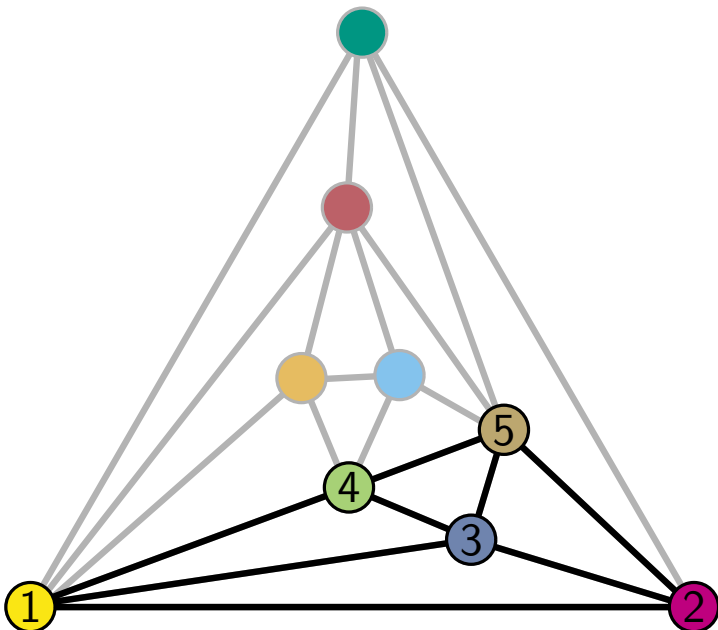
- Graph  $G_{i-1} \subseteq G$  induziert durch  $v_1, \dots, v_{i-1}$  ist 2-fach zshgd. und äußere Facette ist begrenzt durch Kreis  $C_{i-1}$ , der  $v_1v_2$  enthält
- Knoten  $v_i$  liegt in der äußeren Facette von  $G_{i-1}$  und seine Nachbarn in  $G_{i-1}$  bilden zusammenhängendes Intervall im Pfad  $C_{i-1} \setminus v_1v_2$



# Kanonische Ordnung

Die **kanonische Ordnung** der Knoten eines triangulierten planaren Graphen  $G$  mit den drei äußeren Knoten  $u, v, w$  im GUZS ist eine Ordnung  $v_1 = u, v_2 = v, v_3, \dots, v_n = w$ , so dass für jedes  $i$  ( $4 \leq i \leq n$ ) gilt:

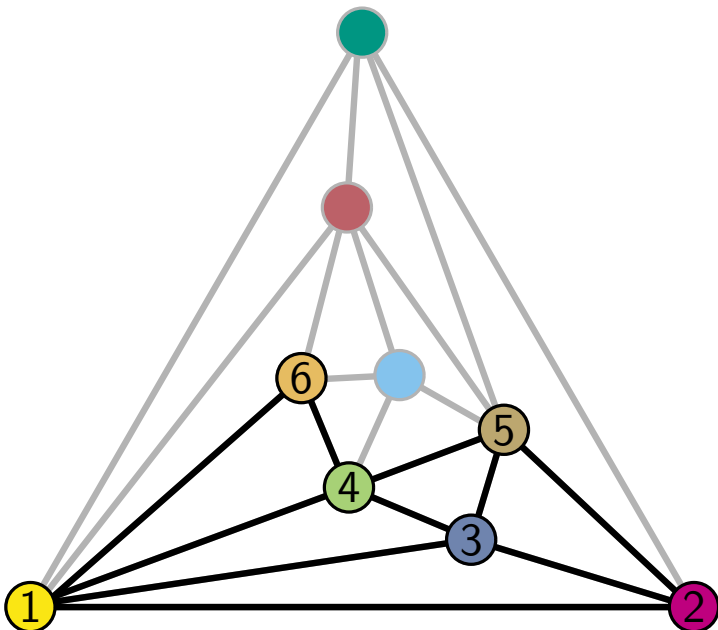
- Graph  $G_{i-1} \subseteq G$  induziert durch  $v_1, \dots, v_{i-1}$  ist 2-fach zshgd. und äußere Facette ist begrenzt durch Kreis  $C_{i-1}$ , der  $v_1v_2$  enthält
- Knoten  $v_i$  liegt in der äußeren Facette von  $G_{i-1}$  und seine Nachbarn in  $G_{i-1}$  bilden zusammenhängendes Intervall im Pfad  $C_{i-1} \setminus v_1v_2$



# Kanonische Ordnung

Die **kanonische Ordnung** der Knoten eines triangulierten planaren Graphen  $G$  mit den drei äußeren Knoten  $u, v, w$  im GUZS ist eine Ordnung  $v_1 = u, v_2 = v, v_3, \dots, v_n = w$ , so dass für jedes  $i$  ( $4 \leq i \leq n$ ) gilt:

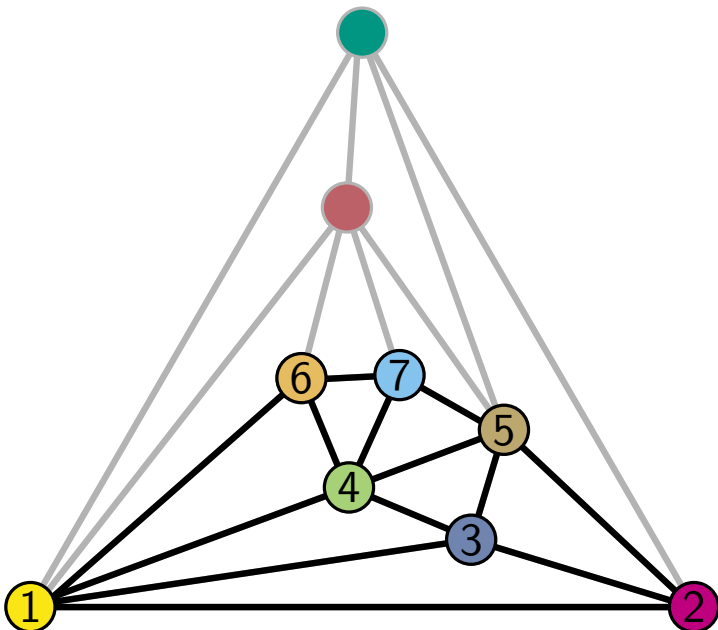
- Graph  $G_{i-1} \subseteq G$  induziert durch  $v_1, \dots, v_{i-1}$  ist 2-fach zshgd. und äußere Facette ist begrenzt durch Kreis  $C_{i-1}$ , der  $v_1v_2$  enthält
- Knoten  $v_i$  liegt in der äußeren Facette von  $G_{i-1}$  und seine Nachbarn in  $G_{i-1}$  bilden zusammenhängendes Intervall im Pfad  $C_{i-1} \setminus v_1v_2$



# Kanonische Ordnung

Die **kanonische Ordnung** der Knoten eines triangulierten planaren Graphen  $G$  mit den drei äußeren Knoten  $u, v, w$  im GUZS ist eine Ordnung  $v_1 = u, v_2 = v, v_3, \dots, v_n = w$ , so dass für jedes  $i$  ( $4 \leq i \leq n$ ) gilt:

- Graph  $G_{i-1} \subseteq G$  induziert durch  $v_1, \dots, v_{i-1}$  ist 2-fach zshgd. und äußere Facette ist begrenzt durch Kreis  $C_{i-1}$ , der  $v_1v_2$  enthält
- Knoten  $v_i$  liegt in der äußeren Facette von  $G_{i-1}$  und seine Nachbarn in  $G_{i-1}$  bilden zusammenhängendes Intervall im Pfad  $C_{i-1} \setminus v_1v_2$

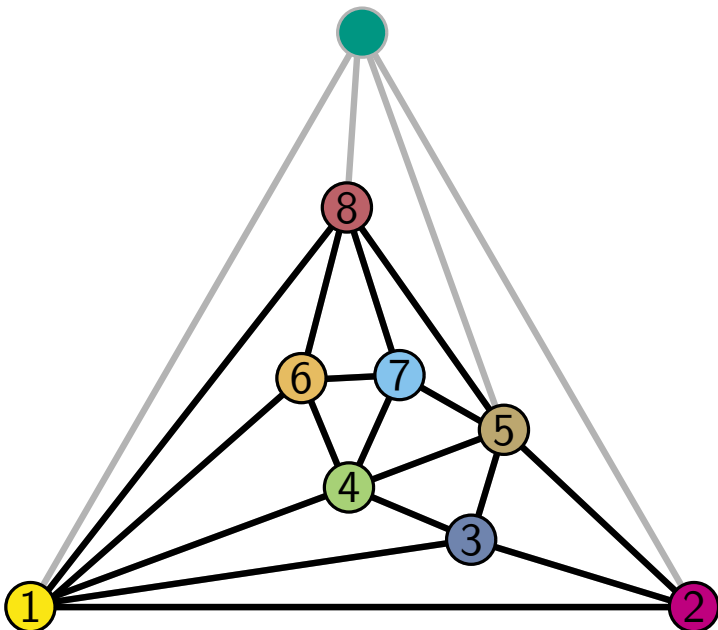




# Kanonische Ordnung

Die **kanonische Ordnung** der Knoten eines triangulierten planaren Graphen  $G$  mit den drei äußeren Knoten  $u, v, w$  im GUZS ist eine Ordnung  $v_1 = u, v_2 = v, v_3, \dots, v_n = w$ , so dass für jedes  $i$  ( $4 \leq i \leq n$ ) gilt:

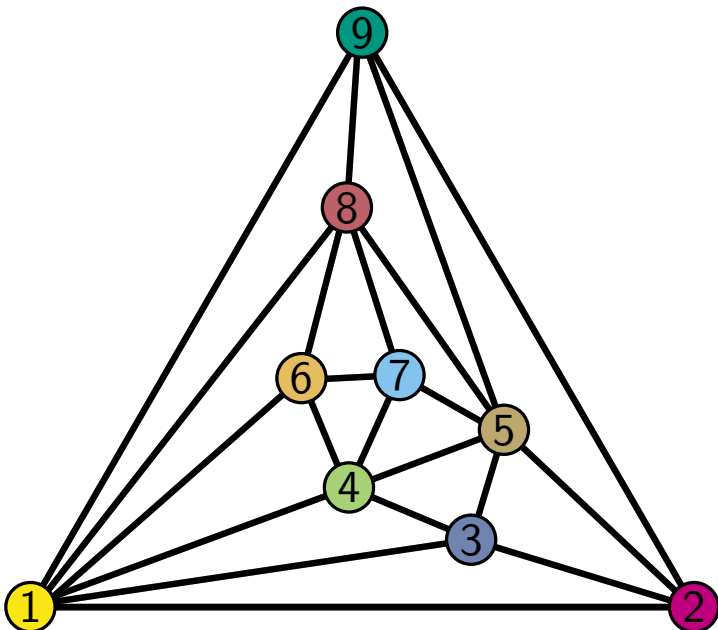
- Graph  $G_{i-1} \subseteq G$  induziert durch  $v_1, \dots, v_{i-1}$  ist 2-fach zshgd. und äußere Facette ist begrenzt durch Kreis  $C_{i-1}$ , der  $v_1v_2$  enthält
- Knoten  $v_i$  liegt in der äußeren Facette von  $G_{i-1}$  und seine Nachbarn in  $G_{i-1}$  bilden zusammenhängendes Intervall im Pfad  $C_{i-1} \setminus v_1v_2$



# Kanonische Ordnung

Die **kanonische Ordnung** der Knoten eines triangulierten planaren Graphen  $G$  mit den drei äußeren Knoten  $u, v, w$  im GUZS ist eine Ordnung  $v_1 = u, v_2 = v, v_3, \dots, v_n = w$ , so dass für jedes  $i$  ( $4 \leq i \leq n$ ) gilt:

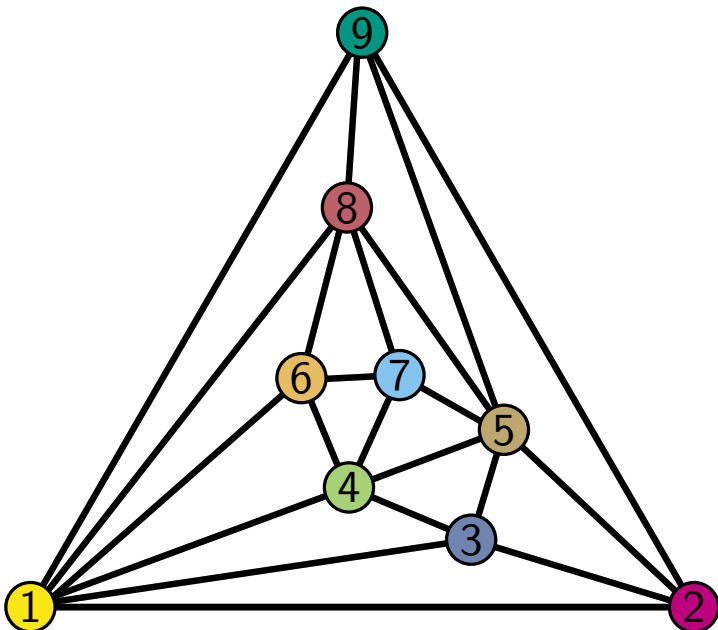
- Graph  $G_{i-1} \subseteq G$  induziert durch  $v_1, \dots, v_{i-1}$  ist 2-fach zshgd. und äußere Facette ist begrenzt durch Kreis  $C_{i-1}$ , der  $v_1v_2$  enthält
- Knoten  $v_i$  liegt in der äußeren Facette von  $G_{i-1}$  und seine Nachbarn in  $G_{i-1}$  bilden zusammenhängendes Intervall im Pfad  $C_{i-1} \setminus v_1v_2$



# Kanonische Ordnung

Die **kanonische Ordnung** der Knoten eines triangulierten planaren Graphen  $G$  mit den drei äußeren Knoten  $u, v, w$  im GUZS ist eine Ordnung  $v_1 = u, v_2 = v, v_3, \dots, v_n = w$ , so dass für jedes  $i$  ( $4 \leq i \leq n$ ) gilt:

- Graph  $G_{i-1} \subseteq G$  induziert durch  $v_1, \dots, v_{i-1}$  ist 2-fach zshgd. und äußere Facette ist begrenzt durch Kreis  $C_{i-1}$ , der  $v_1v_2$  enthält
- Knoten  $v_i$  liegt in der äußeren Facette von  $G_{i-1}$  und seine Nachbarn in  $G_{i-1}$  bilden zusammenhängendes Intervall im Pfad  $C_{i-1} \setminus v_1v_2$

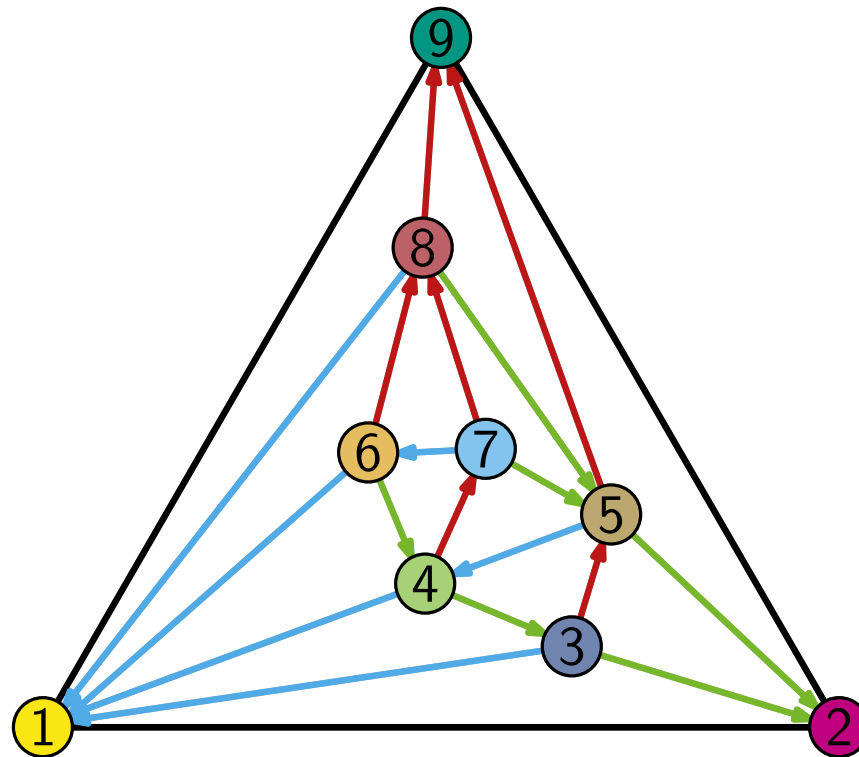


**Satz:** Jeder triangulierte Graph  $G$  besitzt eine kanonische Ordnung; sie kann in  $O(n)$  Zeit berechnet werden.

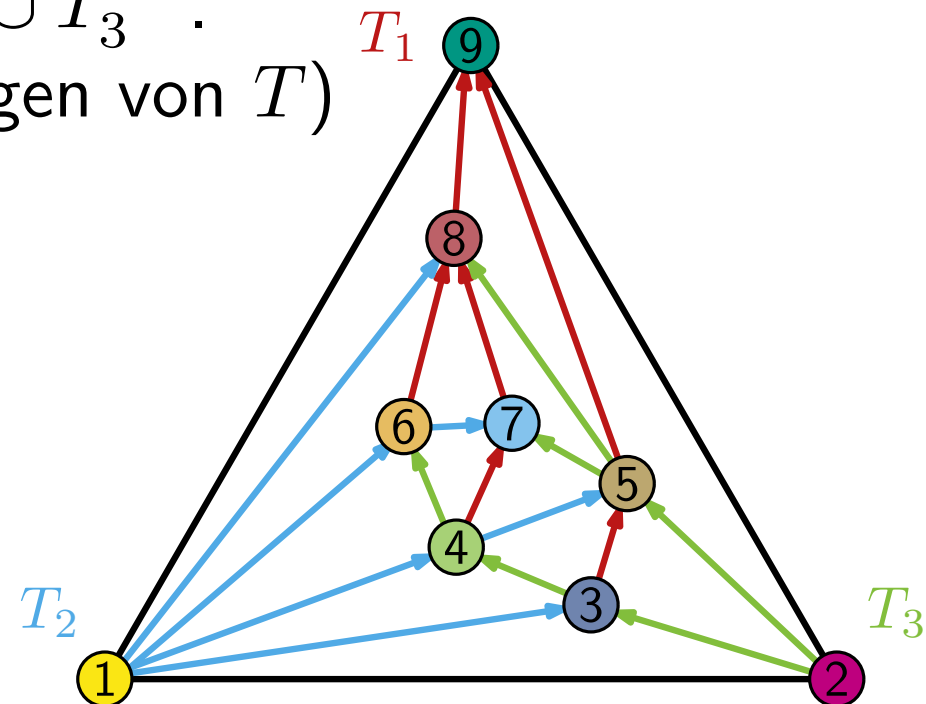
→ mehr dazu in der VL Algorithmen zur Visualisierung von Graphen

# Kanonische Ordnung & Schnyder Realizer

- Eine kanonische Ordnung der Knoten von  $G$  definiert einen Schnyder Realizer von  $G$ , indem jedem Knoten  $v_i$  drei ausgehende Kanten zum ersten und letzten Knoten in  $C_{i-1}$  und zum Nachfolger mit höchstem Index zugeordnet werden.



- Eine kanonische Ordnung der Knoten von  $G$  definiert einen Schnyder Realizer von  $G$ , indem jedem Knoten  $v_i$  drei ausgehende Kanten zum ersten und letzten Knoten in  $C_{i-1}$  und zum Nachfolger mit höchstem Index zugeordnet werden.
- Ein Schnyder Realizer mit Bäumen  $T_1, T_2, T_3$  definiert eine kanonische Ordnung als topologische Ordnung des azyklischen Graphen  $T_1 \cup T_2^{-1} \cup T_3^{-1}$ .  
( $T^{-1}$ : invertiere Kantenrichtungen von  $T$ )



# 8-seitige rektilineare Kartogramme [Alam et al. '11]

Algorithmus hat drei Phasen:

- erzeuge T-Kontaktrepräsentation
- wandle jedes T in T-förmiges Polygon um
- weise verbleibende Löcher den T-Polygonen zu

# 8-seitige rektilineare Kartogramme [Alam et al. '11]

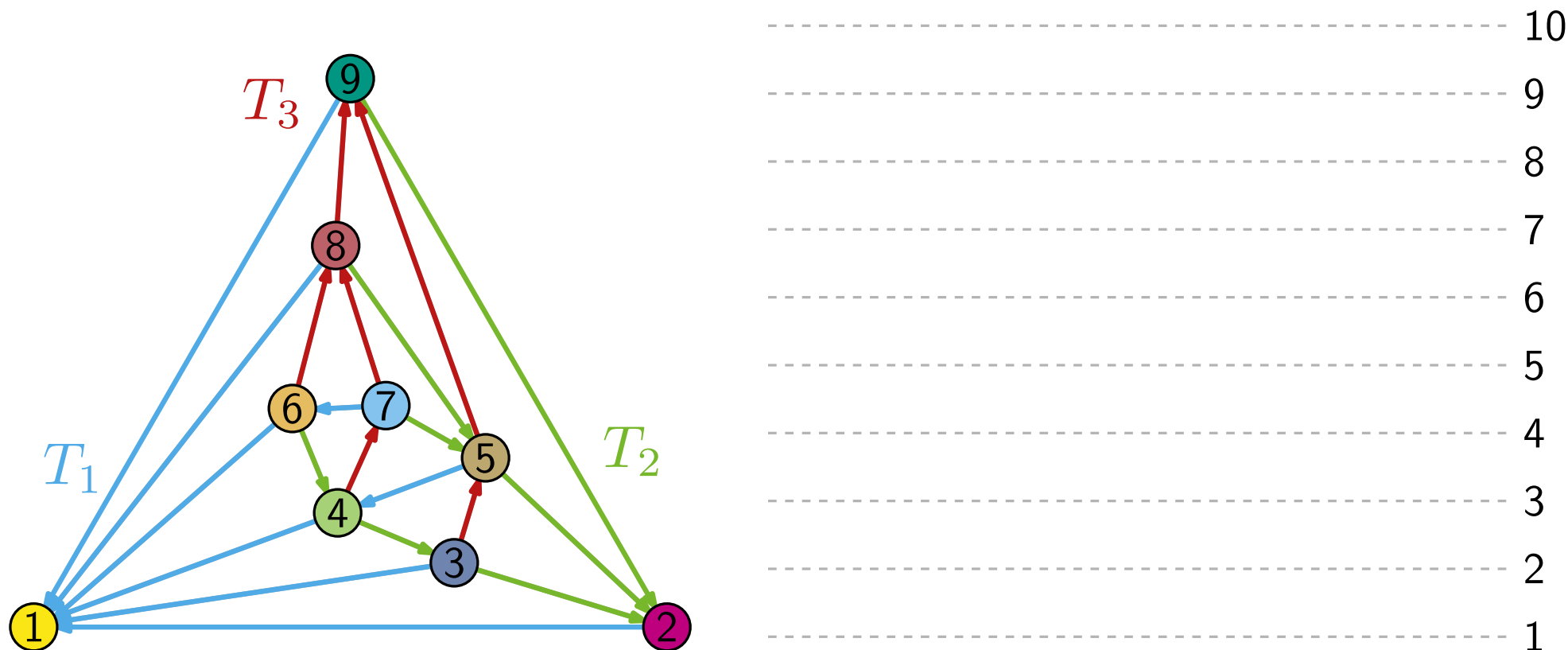
Algorithmus hat drei Phasen:

- erzeuge T-Kontaktrepräsentation
- wandle jedes T in T-förmiges Polygon um
- weise verbleibende Löcher den T-Polygonen zu

Wir zeigen:

Das entstandene rektilineare Layout ist flächenuniversell und somit existiert immer ein korrektes Kartogramm.

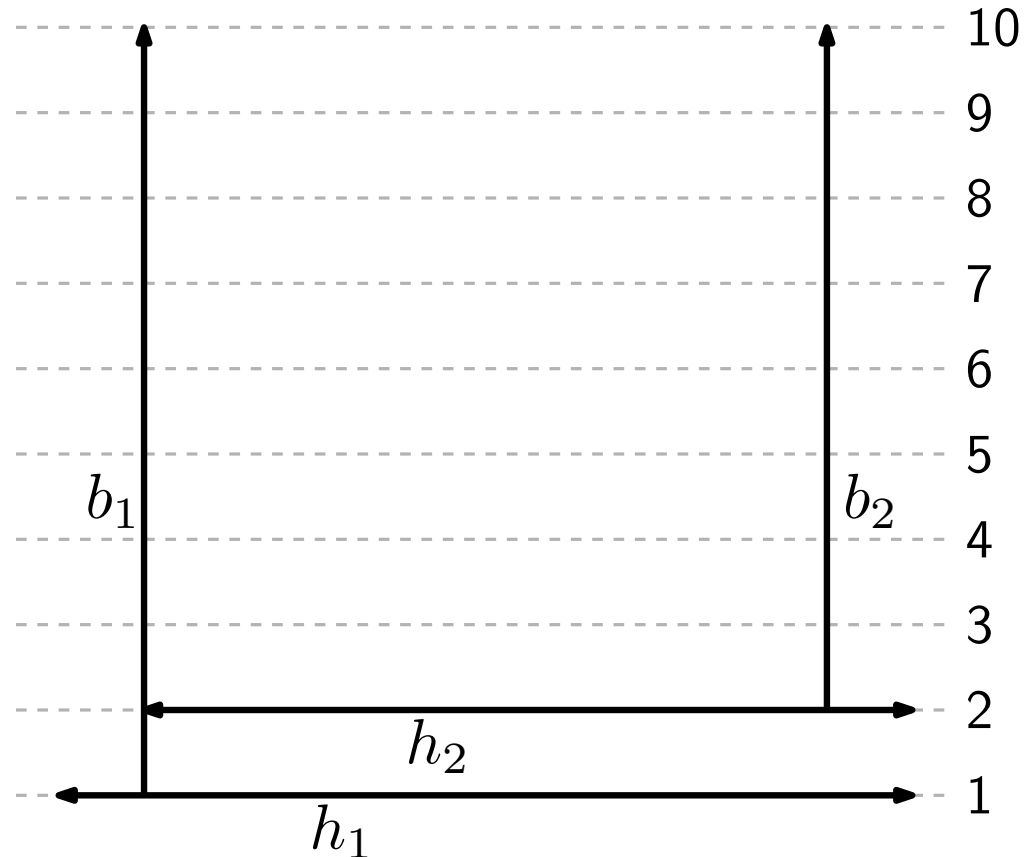
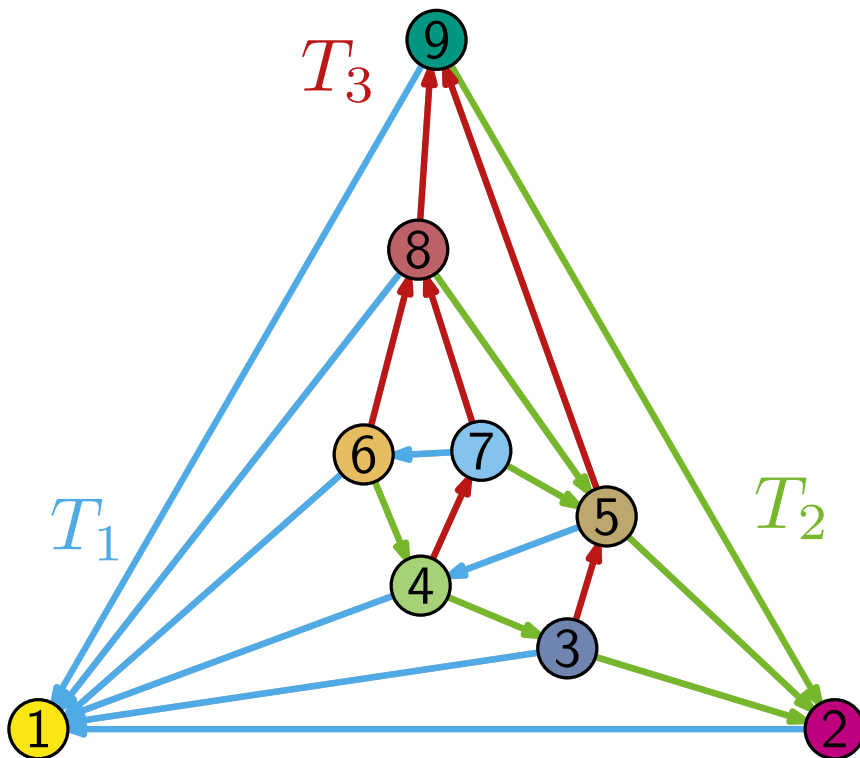
# Phase 1: T-Kontaktrepräsentation



- betrachte Knoten in kanonischer Ordnung und zug. Schnyder Realizer
- $\Phi_i(k)$  sei Vater in  $T_i$  des Knotens  $v_k$

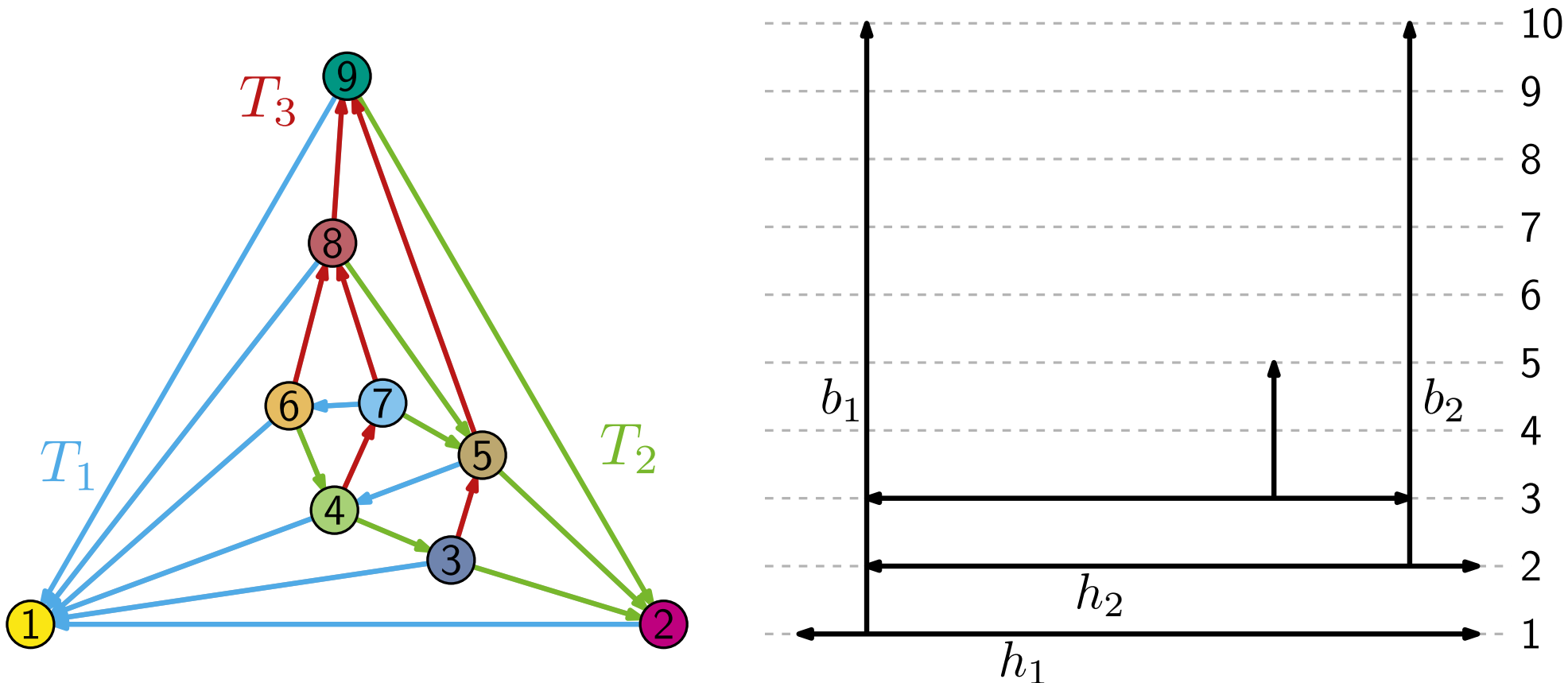


# Phase 1: T-Kontaktrepräsentation



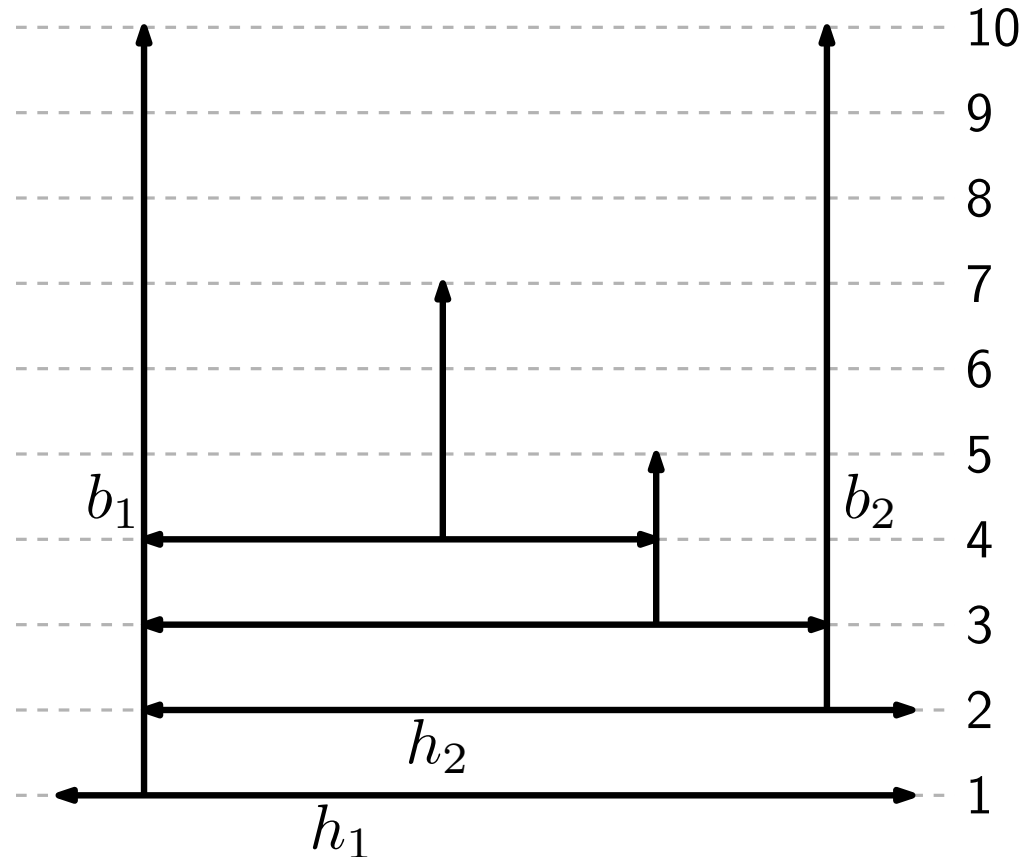
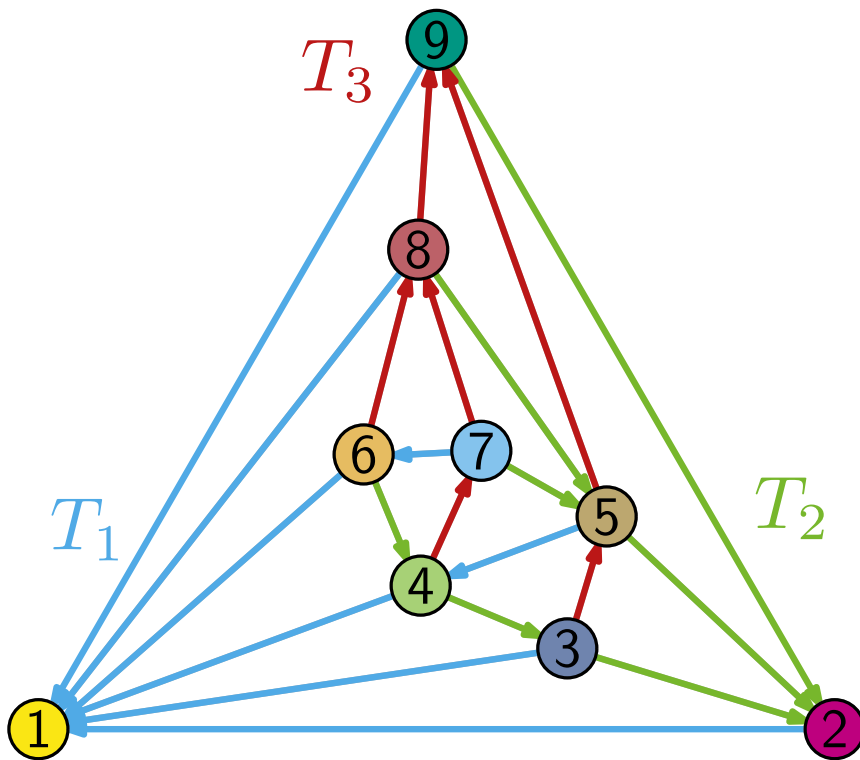
- betrachte Knoten in kanonischer Ordnung und zug. Schnyder Realizer
- $\Phi_i(k)$  sei Vater in  $T_i$  des Knotens  $v_k$
- setze T's für  $v_1$  und  $v_2$  auf  $y = 1$  und  $y = 2$

# Phase 1: T-Kontaktrepräsentation



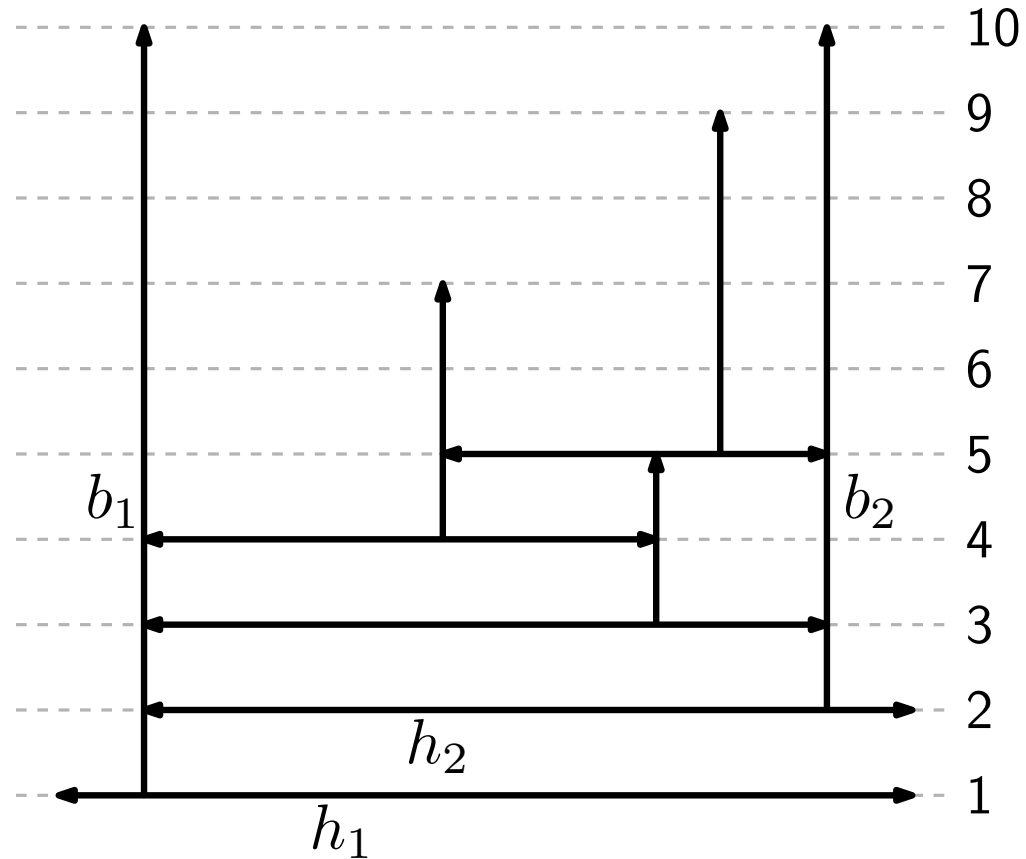
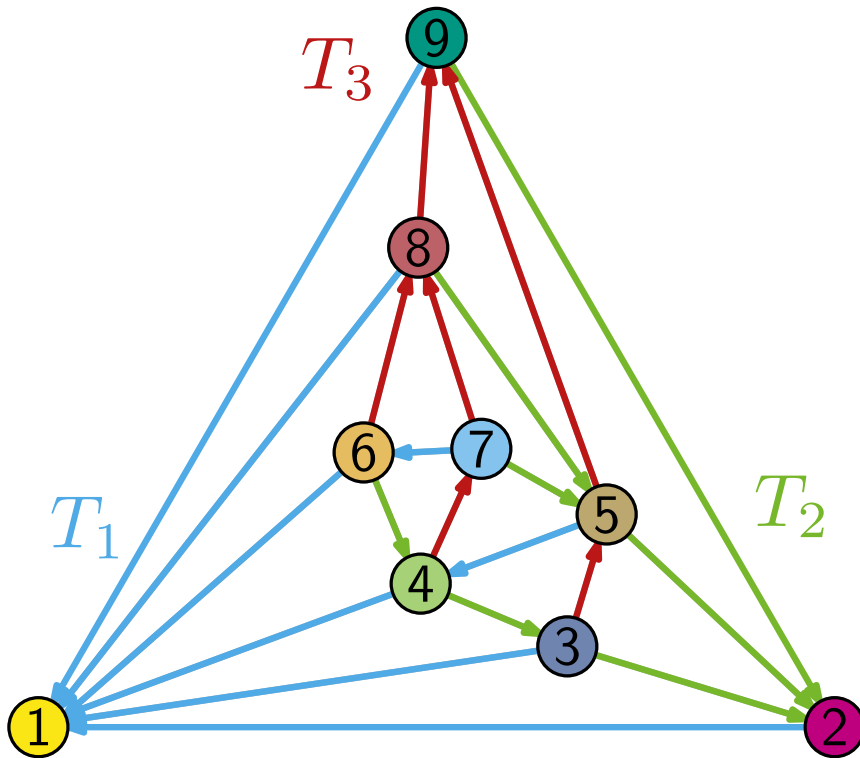
- betrachte Knoten in kanonischer Ordnung und zug. Schnyder Realizer
- $\Phi_i(k)$  sei Vater in  $T_i$  des Knotens  $v_k$
- setze  $T$ 's für  $v_1$  und  $v_2$  auf  $y = 1$  und  $y = 2$
- setze  $h_i$  auf  $y = i$  mit linker und rechter Position von  $\Phi_1(i)$  und  $\Phi_2(i)$  und  $b_i$  von  $y = i$  bis zum Index von  $\Phi_3(i)$

# Phase 1: T-Kontaktrepräsentation



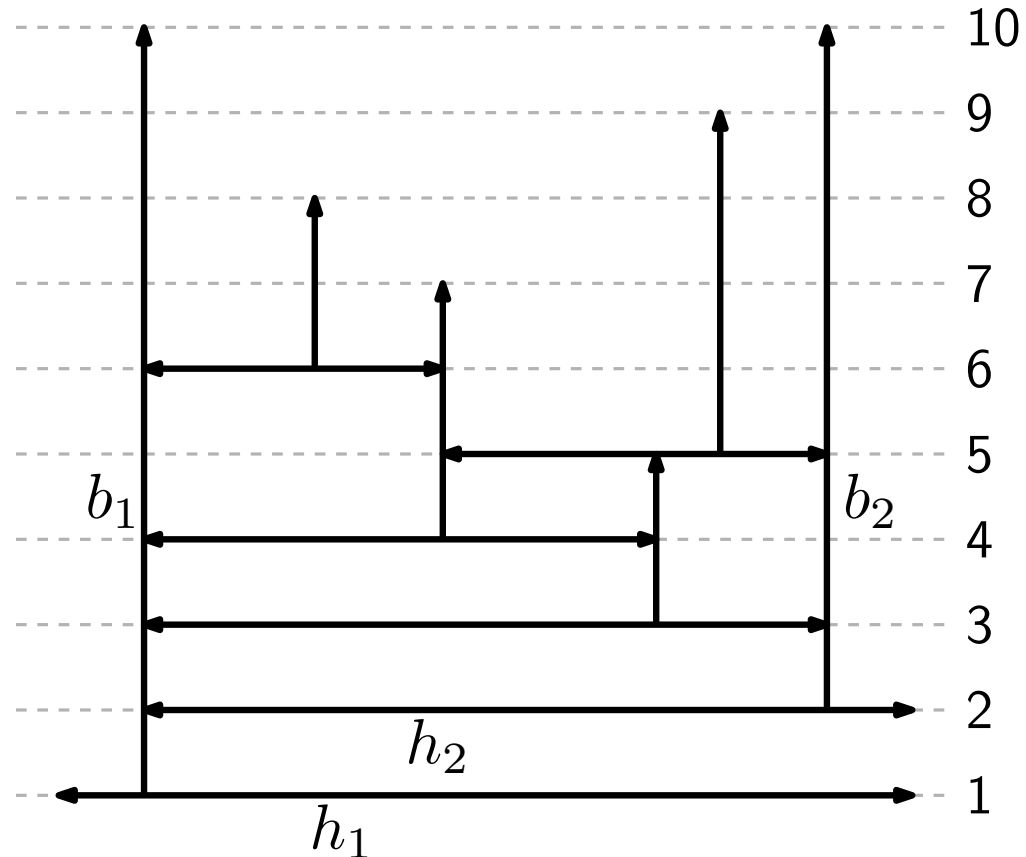
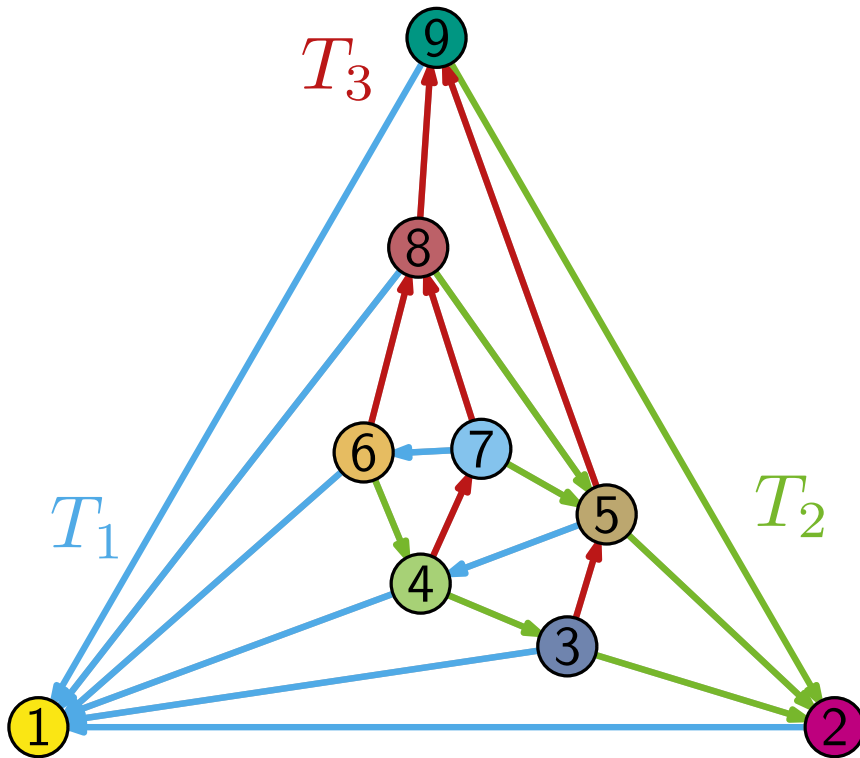
- betrachte Knoten in kanonischer Ordnung und zug. Schnyder Realizer
- $\Phi_i(k)$  sei Vater in  $T_i$  des Knotens  $v_k$
- setze  $T$ 's für  $v_1$  und  $v_2$  auf  $y = 1$  und  $y = 2$
- setze  $h_i$  auf  $y = i$  mit linker und rechter Position von  $\Phi_1(i)$  und  $\Phi_2(i)$  und  $b_i$  von  $y = i$  bis zum Index von  $\Phi_3(i)$

# Phase 1: T-Kontaktrepräsentation



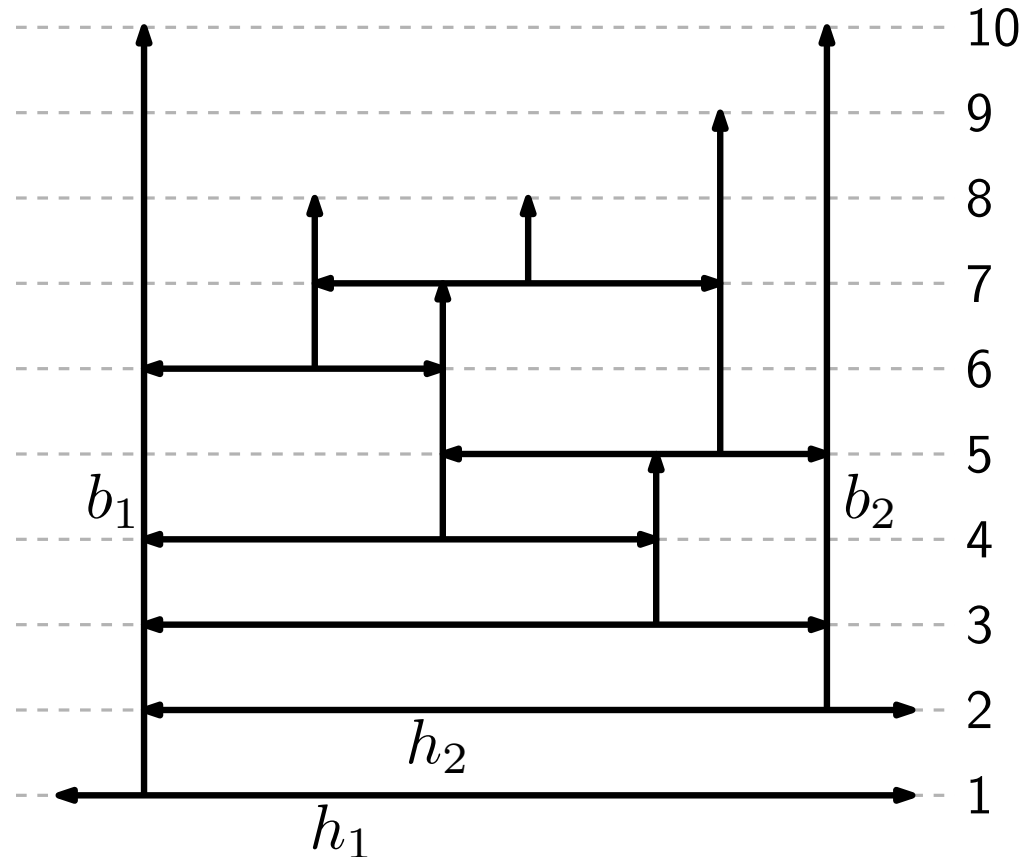
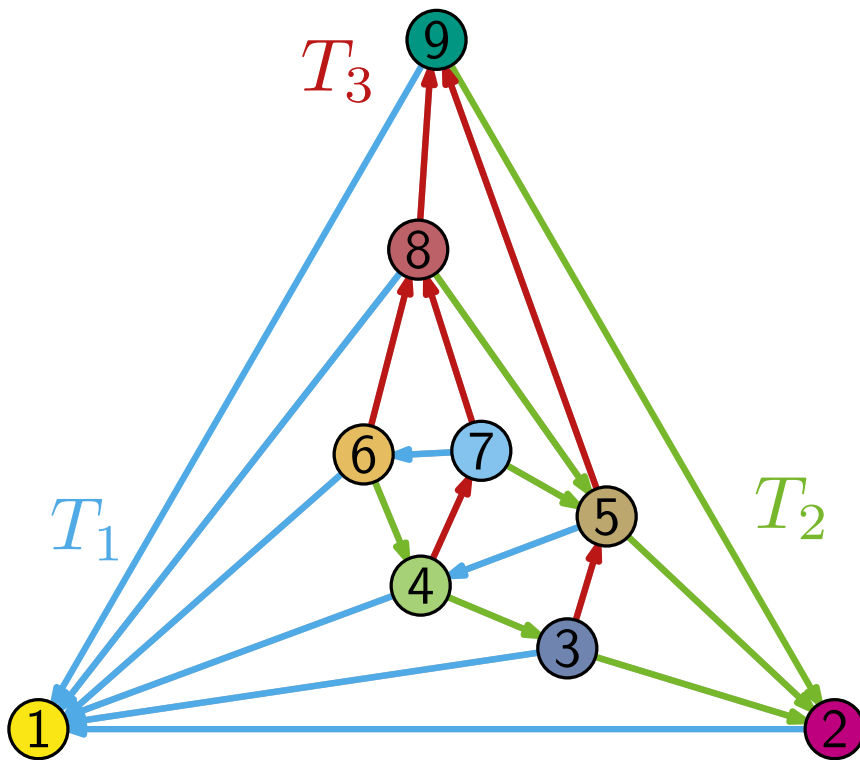
- betrachte Knoten in kanonischer Ordnung und zug. Schnyder Realizer
- $\Phi_i(k)$  sei Vater in  $T_i$  des Knotens  $v_k$
- setze  $T$ 's für  $v_1$  und  $v_2$  auf  $y = 1$  und  $y = 2$
- setze  $h_i$  auf  $y = i$  mit linker und rechter Position von  $\Phi_1(i)$  und  $\Phi_2(i)$  und  $b_i$  von  $y = i$  bis zum Index von  $\Phi_3(i)$

# Phase 1: T-Kontaktrepräsentation



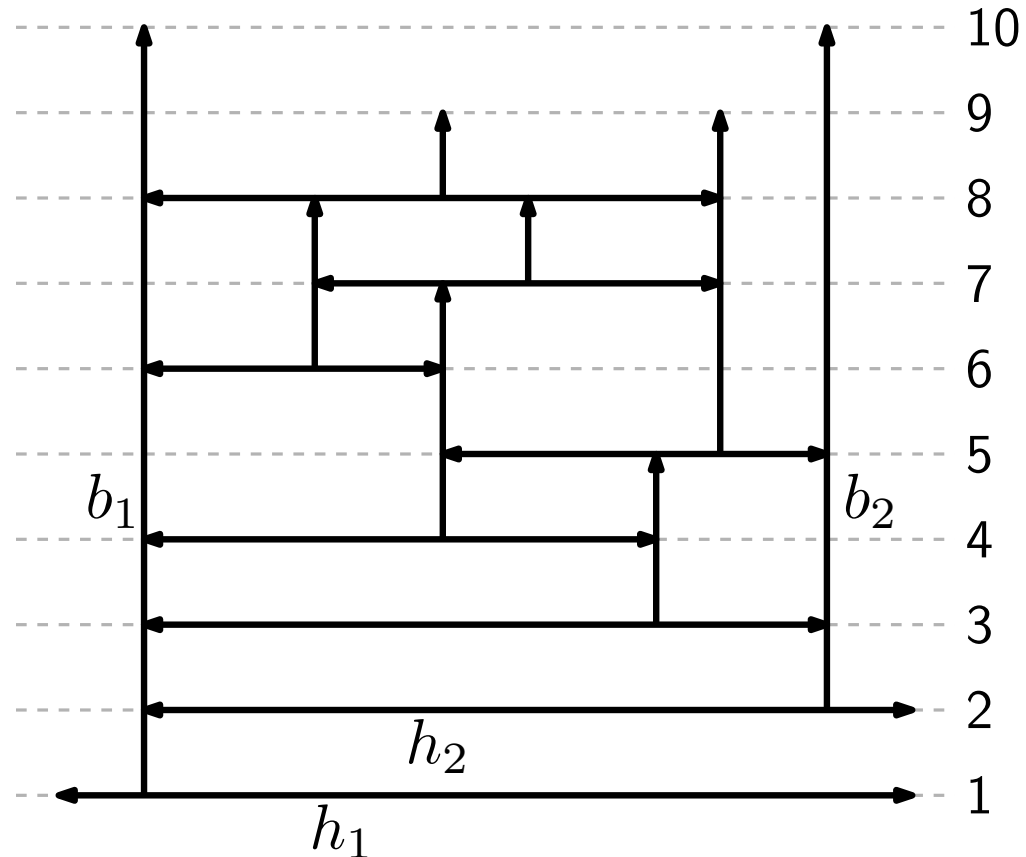
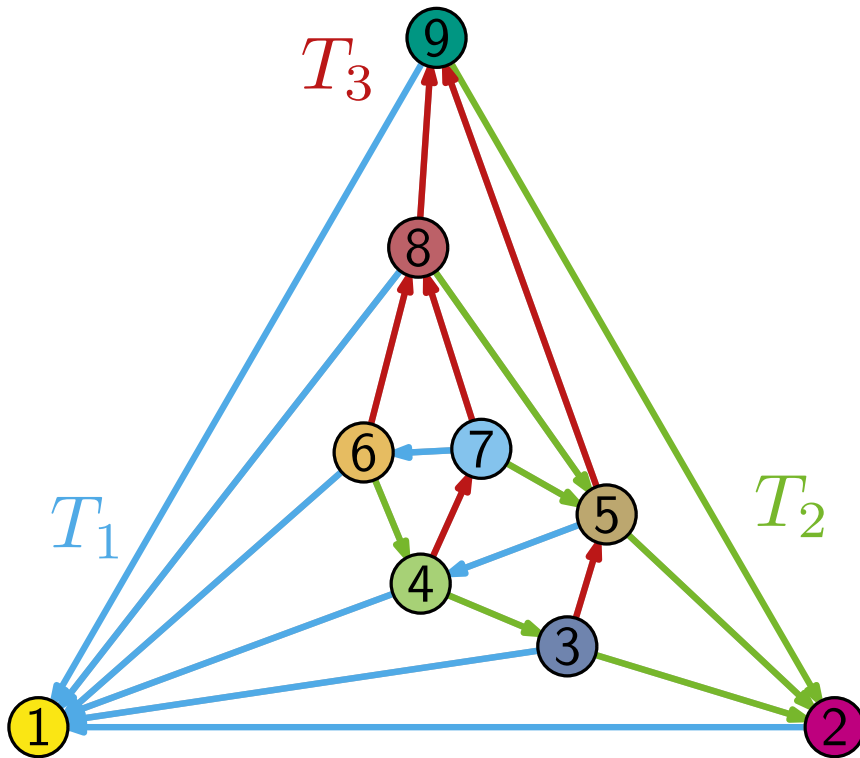
- betrachte Knoten in kanonischer Ordnung und zug. Schnyder Realizer
- $\Phi_i(k)$  sei Vater in  $T_i$  des Knotens  $v_k$
- setze  $T$ 's für  $v_1$  und  $v_2$  auf  $y = 1$  und  $y = 2$
- setze  $h_i$  auf  $y = i$  mit linker und rechter Position von  $\Phi_1(i)$  und  $\Phi_2(i)$  und  $b_i$  von  $y = i$  bis zum Index von  $\Phi_3(i)$

# Phase 1: T-Kontaktrepräsentation



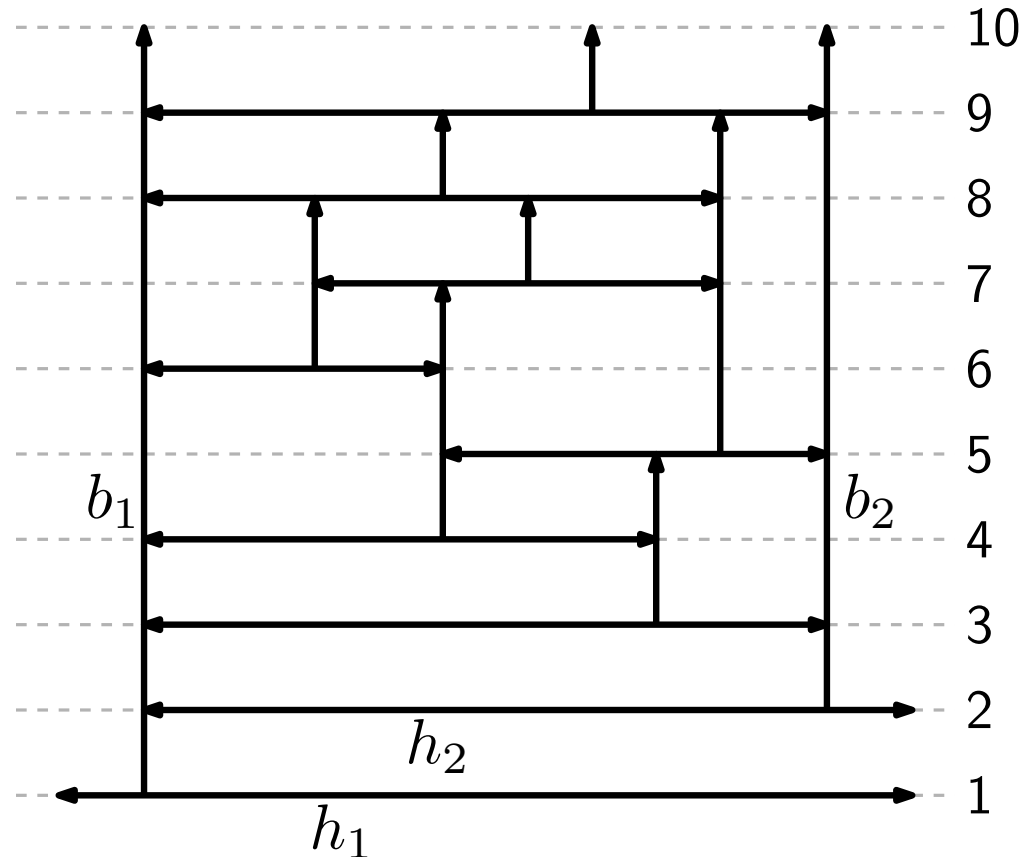
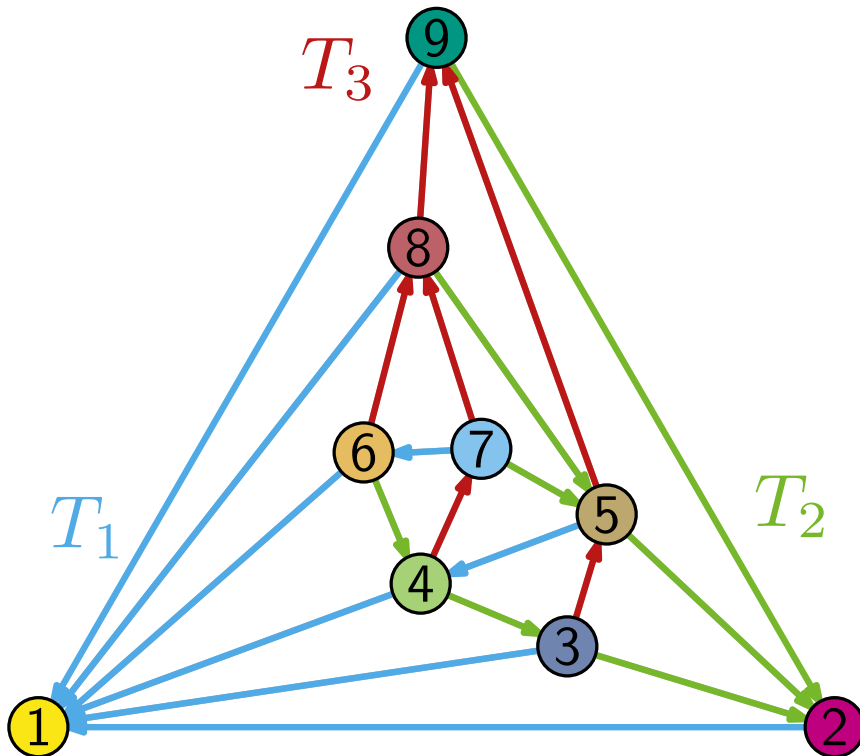
- betrachte Knoten in kanonischer Ordnung und zug. Schnyder Realizer
- $\Phi_i(k)$  sei Vater in  $T_i$  des Knotens  $v_k$
- setze  $T$ 's für  $v_1$  und  $v_2$  auf  $y = 1$  und  $y = 2$
- setze  $h_i$  auf  $y = i$  mit linker und rechter Position von  $\Phi_1(i)$  und  $\Phi_2(i)$  und  $b_i$  von  $y = i$  bis zum Index von  $\Phi_3(i)$

# Phase 1: T-Kontaktrepräsentation



- betrachte Knoten in kanonischer Ordnung und zug. Schnyder Realizer
- $\Phi_i(k)$  sei Vater in  $T_i$  des Knotens  $v_k$
- setze T's für  $v_1$  und  $v_2$  auf  $y = 1$  und  $y = 2$
- setze  $h_i$  auf  $y = i$  mit linker und rechter Position von  $\Phi_1(i)$  und  $\Phi_2(i)$  und  $b_i$  von  $y = i$  bis zum Index von  $\Phi_3(i)$

# Phase 1: T-Kontaktrepräsentation

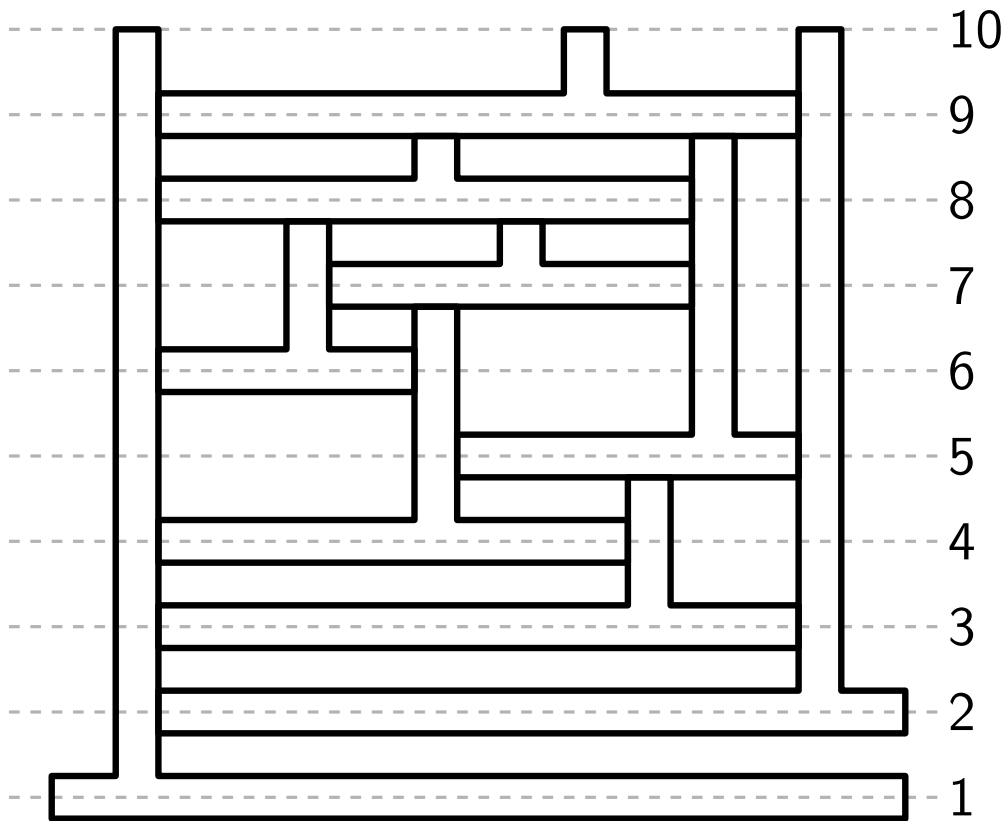


- betrachte Knoten in kanonischer Ordnung und zug. Schnyder Realizer
- $\Phi_i(k)$  sei Vater in  $T_i$  des Knotens  $v_k$
- setze T's für  $v_1$  und  $v_2$  auf  $y = 1$  und  $y = 2$
- setze  $h_i$  auf  $y = i$  mit linker und rechter Position von  $\Phi_1(i)$  und  $\Phi_2(i)$  und  $b_i$  von  $y = i$  bis zum Index von  $\Phi_3(i)$

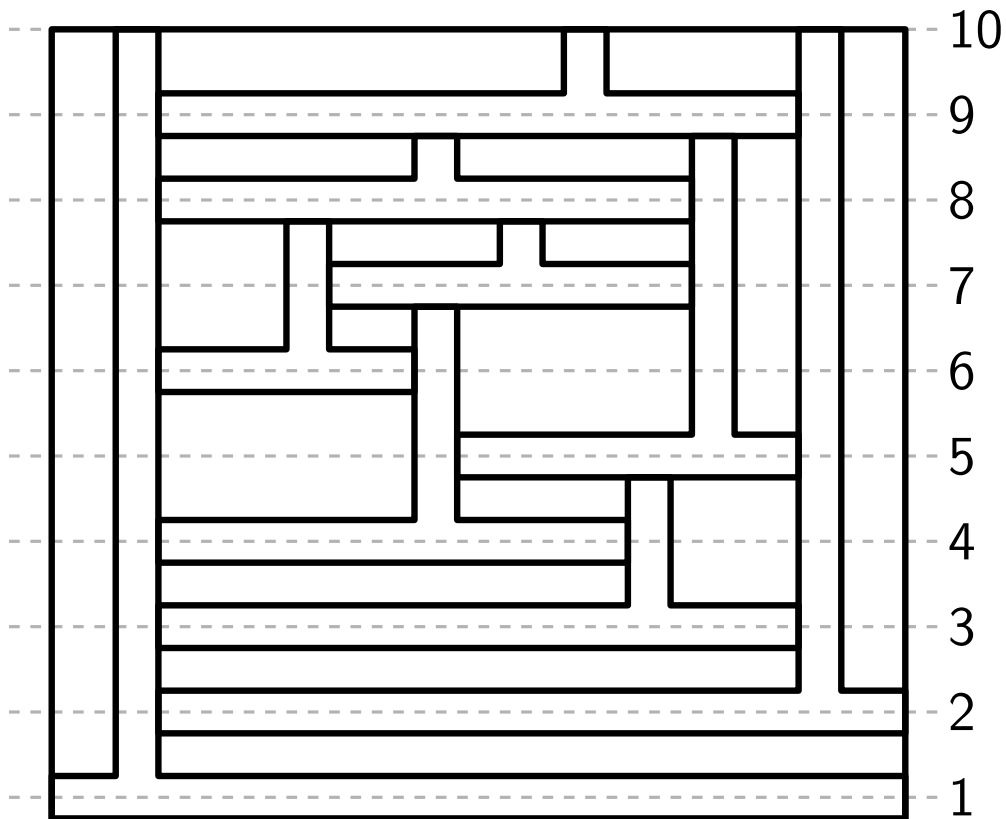




# Phase 3: Löcher entfernen

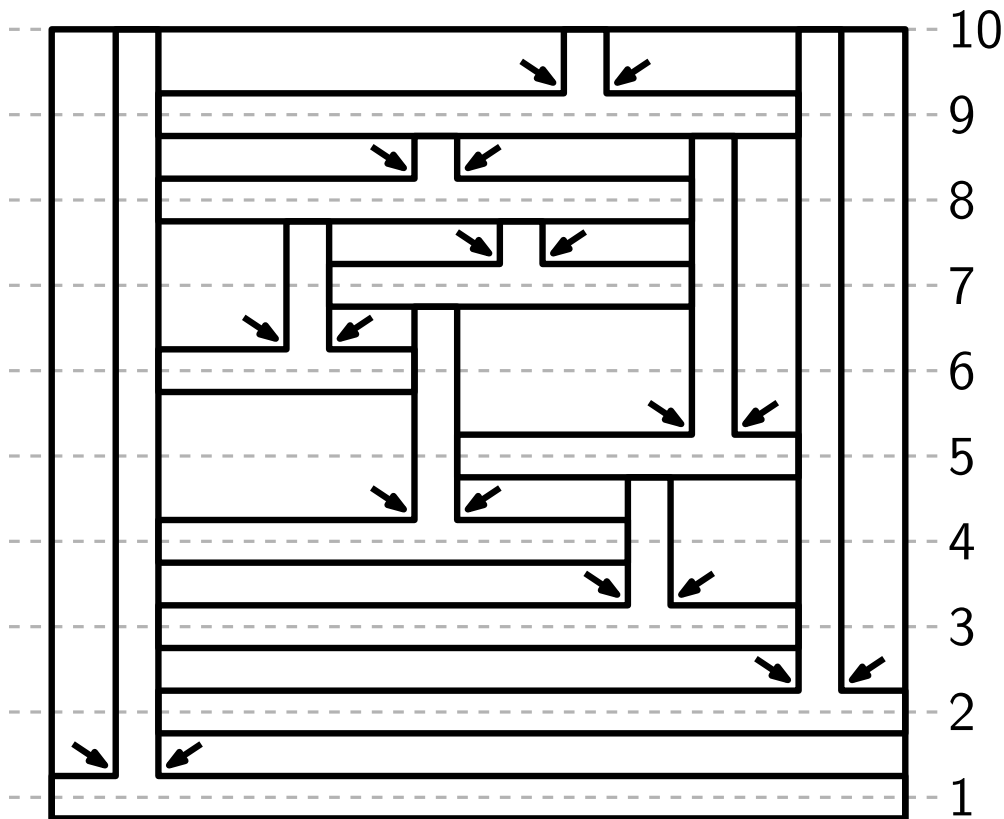


# Phase 3: Löcher entfernen



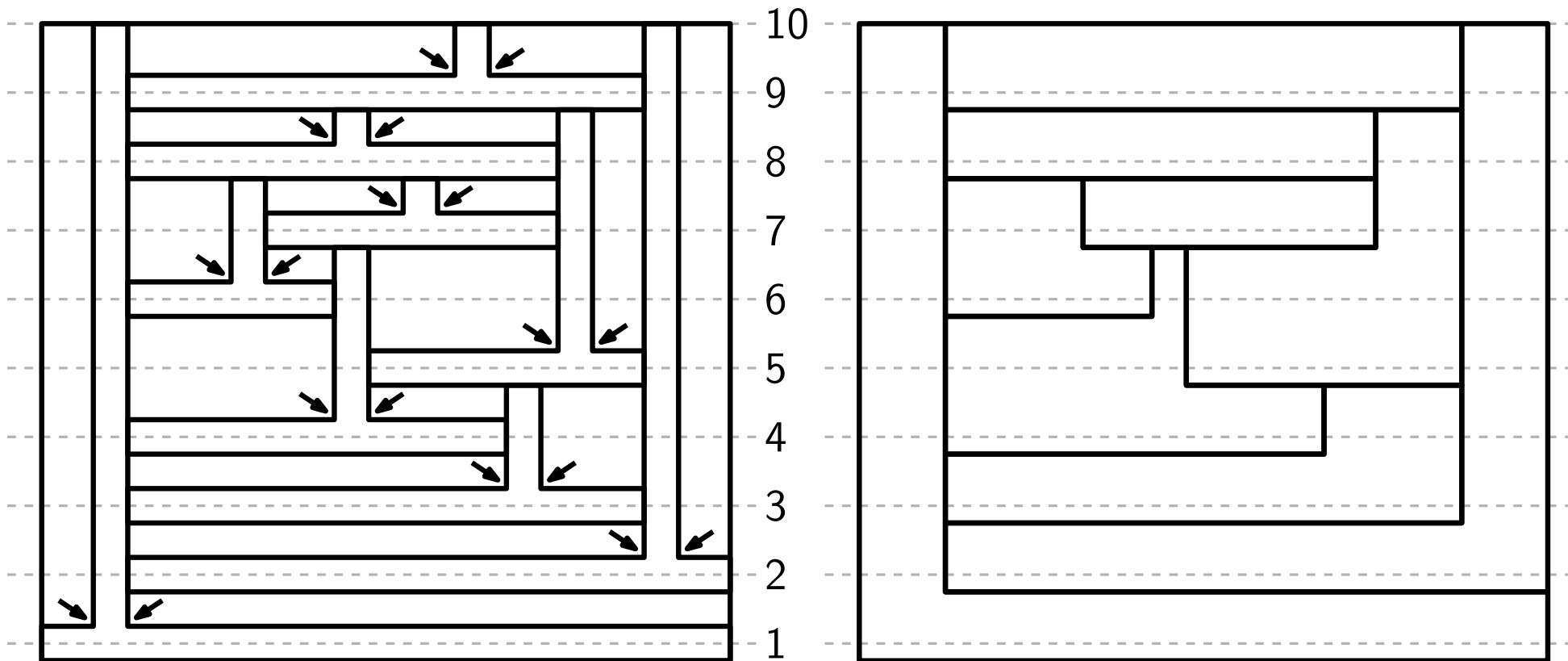
- setze Rahmen um die T-Polygone

# Phase 3: Löcher entfernen

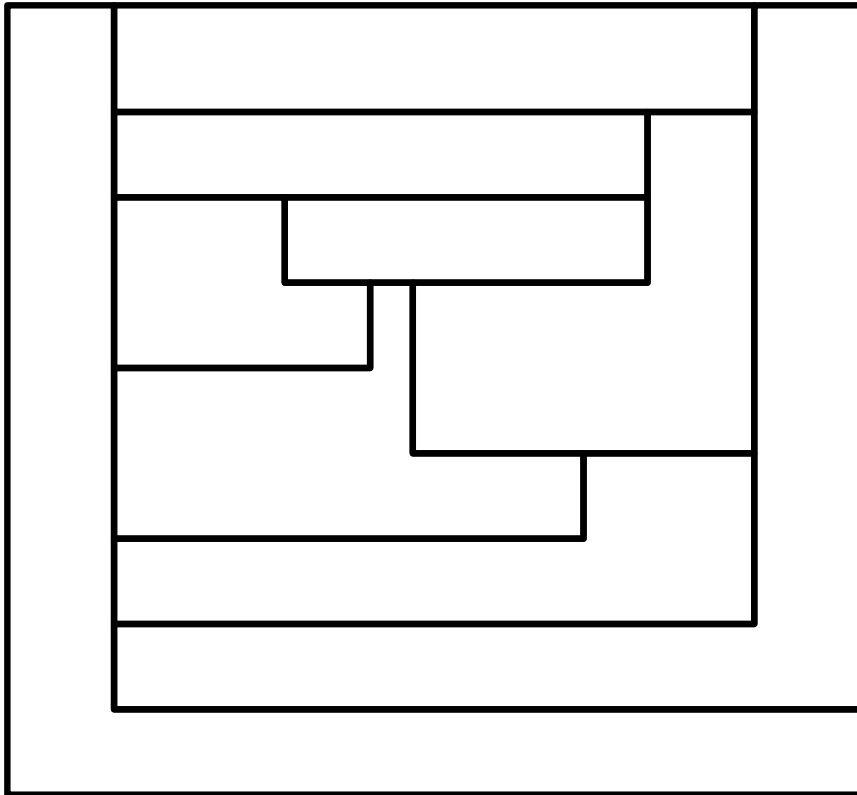


- setze Rahmen um die T-Polygone
- jedes (innere) Loch stammt von Dreiecks-Facette
- weise Löcher den eindeutigen konkaven Ecken zu

# Phase 3: Löcher entfernen

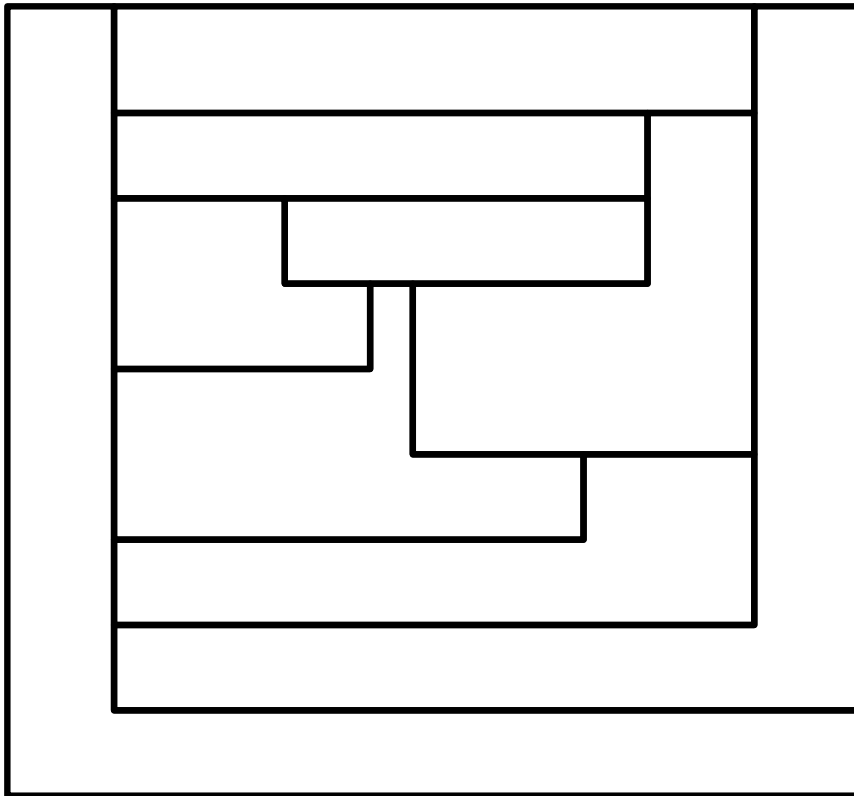


- setze Rahmen um die T-Polygone
- jedes (innere) Loch stammt von Dreiecks-Facette
- weise Löcher den eindeutigen konkaven Ecken zu
- es entsteht ein rektilineares Dual mit maximal 8-seitigen Polygonen



## Satz:

Das erhaltene Layout ist flächenuniversell und nutzt nur Polygone mit Komplexität  $\leq 8$ .

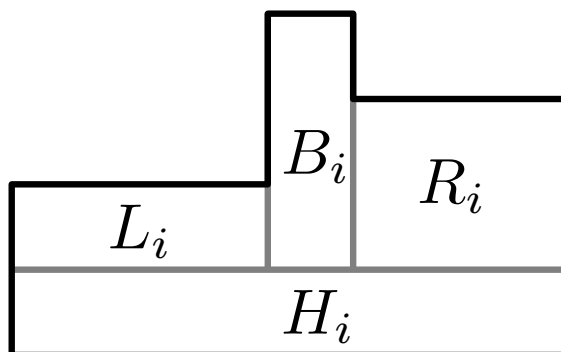


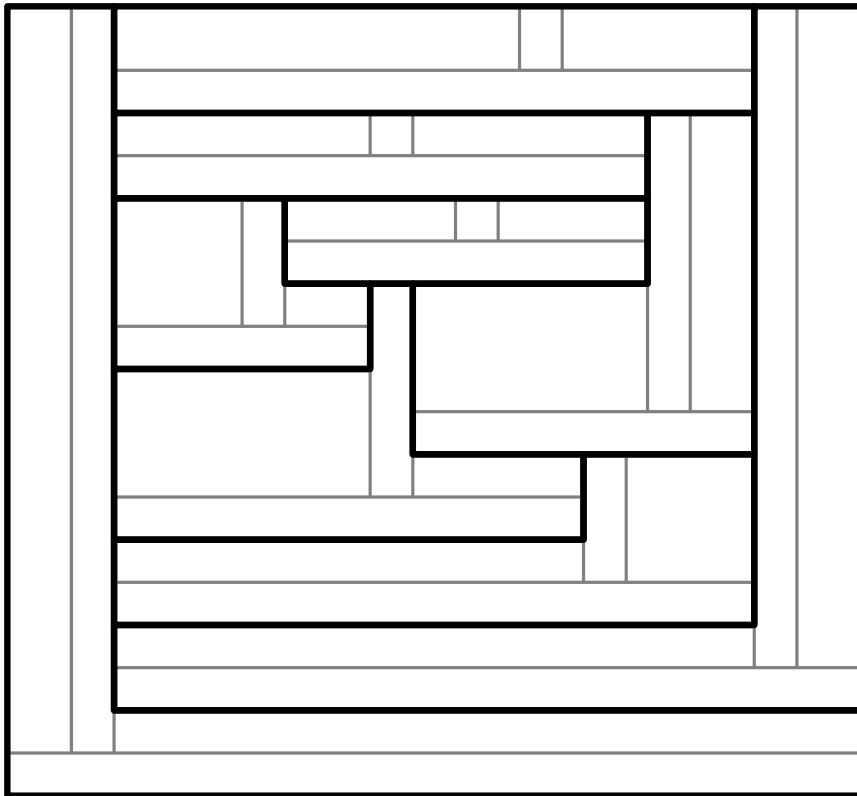
## Satz:

Das erhaltene Layout ist flächenuniversell und nutzt nur Polygone mit Komplexität  $\leq 8$ .

## Beweis:

- zerteile jedes T-förmige Polygon in vier Rechtecke
- Rechtecklayout ist einseitig  $\Rightarrow$  flächenuniversell
- teile Sollfläche für jede Region beliebig in vier Teile



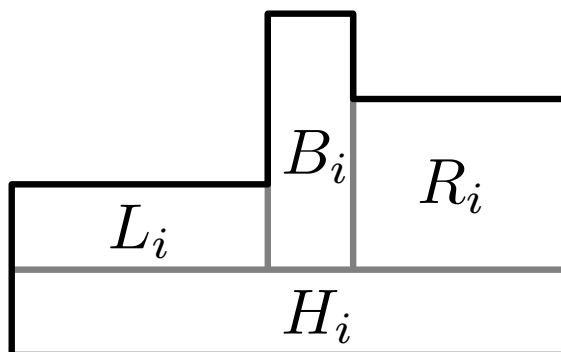


## Satz:

Das erhaltene Layout ist flächenuniversell und nutzt nur Polygone mit Komplexität  $\leq 8$ .

## Beweis:

- zerteile jedes T-förmige Polygon in vier Rechtecke
- Rechtecklayout ist einseitig  $\Rightarrow$  flächenuniversell
- teile Sollfläche für jede Region beliebig in vier Teile





# Algorithmische Kartografie in der Praxis

## Projekt zum Semesterabschluss (16.7.)

Welche Algorithmen werden in gängigen Kartografiesystemen tatsächlich verwendet?

Gruppe 1:  
Online-Systeme



Gruppe 2:  
Professionelle GIS Software



Gruppe 3:  
Kartografie-Software



## Projekt zum Semesterabschluss (16.7.)

Welche Algorithmen werden in gängigen Kartografiesystemen tatsächlich verwendet?

Gruppe 1:  
Online-Systeme



Gruppe 2:  
Professionelle GIS Software



Gruppe 3:  
Kartografie-Software



Finden Sie für Ihre Kategorie an Produkten heraus, welche Algorithmen für die in der Vorlesung behandelten Probleme z.B. zur Beschriftung, zur Linienvereinfachung, für Kartogramme implementiert sind.

Stellen Sie Ihre Ergebnisse in zwei Wochen in einer kurzen Präsentation von 10–15 Minuten vor.

# Ablauf konkret

## 1) Gruppeneinteilung

Gruppe 1:

Online-Systeme



Gruppe 2:

Professionelle GIS Software



Gruppe 3:

Kartografie-Software



2) Interne Aufgabenverteilung und erste Recherchen

3) Treffen mit Betreuer (Freitag, 5.7.)

4) Detaillierte Untersuchung der Fragen, Erstellung der Präsentation

5) Treffen mit Betreuer (Freitag 12.7.)

6) Abschlusspräsentation der Ergebnisse (Dienstag 16.7.)